

154690

İSTANBUL TEKNİK ÜNİVERSİTESİ ★ FEN BİLİMLERİ ENSTİTÜSÜ

**BATONARME BİR TAŞIYICI SİSTEMİN DOĞRUSAL
OLMAYAN DAVRANIŞININ İNCELENMESİ**

**YÜKSEK LİSANS TEZİ
İnşaat Müh. Murat PURUT
(501011124)**

**Tezin Enstitüye Verildiği Tarih : 5 Temmuz 2004
Tezin Savunulduğu Tarih : 18 Mayıs 2004**

**Tez Danışmanı : Prof. Dr. Zekai CELEP
Diğer Jüri Üyeleri Prof. Dr. Feridun ÇILI (İ.T.Ü.)
Doç. Dr. Turgut ÖZTÜRK (İ.T.Ü.)**



ÖNSÖZ

Bu tez çalışmasında, betonarme bir çerçeve sistemin farklı sargı donatısı ve malzeme durumlarında doğrusal olmayan statik itme çözümlemesi ve performans metodu ile değerlendirilmesi sunulmaktadır.

Beraber çalışma fırsatı bulduğum, tez çalışmam süresince bana sabır gösteren ve her konuda yardımını esirgemeyen danışmanım, Hocam Sayın Prof. Dr. Zekai Celep'e sonsuz teşekkürlerimi sunarım. Kendileri ile beraber yürüttüğümüz bitirme ve yüksek lisans tez çalışmaları, mesleki öğrenme ve kendimi geliştirme sürecimin en verimli kısımları olmuştur.

Yoğun iş temposuna rağmen, bana zaman ayırarak, tez çalışmama yön veren ve sonuçlandırılmasında emeği geçen İnş. Yük. Müh. Kağan Sayın'a da teşekkürlerimi sunarım.

Lisans ve yüksek lisans eğitimim boyunca sürekli yanında olan, en sıkıntılı anlarında desteğini ve yardımını esirgemeyen, tezimin son şeklini almasında büyük özveri gösteren, değerli dostum İnş. Yük. Müh. Volkan Koç'a özellikle teşekkür ederim.

Eğitim hayatım boyunca destek ve dualarını hiç bir zaman esirgemeyen, benim için ellerinden gelenin en iyisini yapan aileme; gösterdikleri sevgi, sabır ve hoşgörü için minnettarım.

Nisan 2004

Murat PURUT

İÇİNDEKİLER

Sayfa No:

KISALTMALAR	v
TABLO LİSTESİ.....	vi
ŞEKİL LİSTESİ.....	viii
SEMBOL LİSTESİ.....	x
ÖZET	xii
SUMMARY	xiii
1 GİRİŞ	1
2 BETONARME MALZEME	3
2.1 Beton ve Davranışı.....	3
2.2 Çelik ve Davranışı	3
2.3 İdeal Elastoplastik Kabul	4
3 SÜNEKLİK	5
3.1 Betonda Süneklik.....	5
3.2 Çelikte Süneklik.....	6
3.3 Yapı Elemanlarında Süneklik	6
3.3.1 Basit Eğilme Etkisi	6
3.3.2 Normal Kuvvet Etkisi	7
3.3.3 Sargı Etkisi.....	8
3.4 Yapı Sistemlerinde Süneklik	8
4 PLASTİK MAFSAL KABULÜ.....	10
5 ÇÖZÜMLEME	11
5.1 Doğrusal Olmayan Statik Çözümleme (Pushover).....	12
5.2 Boyutlamada Kapasite Kavramı	13
6 PERFORMANS METODU	14
6.1 Performans Amacı	14
6.1.1 Deprem Etki Seviyesi	14
6.1.2 Yapı Performans Seviyesi.....	15
6.1.3 Performans Amacı Belirlenmesi.....	19
6.2 Kapasite	21
6.2.1 Kapasite Eğrisinin Oluşturulması	21

6.2.2 Doğrusal Olmayan Statik Analiz (Pushover)	22
6.2.3 Kapasite Spektrumunun Oluşturulması	23
6.3 Talep	25
6.3.1 Talep Spektrumu.....	25
6.3.2 Doğrusal Davranış Spektrumu.....	25
6.4 Kapasite Spektrum Metodu (ATC40).....	28
6.5 Yerdeğiştirme Katsayıları Metodu (FEMA 273/356).....	34
6.6 Performans Noktası.....	36
6.6.1 Kapasite ve Talep Spektrumlarının Kesişmesi	36
6.6.2 Performans Noktasının Bulunması	37
7 GÜÇLENDİRMEDE PERFORMANS METODU UYGULANMASI	40
7.1 Veri Toplanması ve Eksikliklerin Belirlenmesi.....	40
7.2 Performans Amacı Belirlenmesi	44
7.3 Çözümleme	44
8 KABUL KRİTERLERİ.....	45
8.1 Genel Yapı Kabul Kriterleri	45
8.1.1 Düşey Yükler	45
8.1.2 Yatay Yükler.....	45
8.1.3 Yerdeğiştirmeler	45
8.2 Sistem ve Eleman Kabul Kriterleri	46
8.3 Betonarme Çerçeve Sistem Kabul Kriterleri	47
9 ÖRNEK UYGULAMALAR	53
9.1 Sistemin Tanımlanması.....	53
9.2 Mafsalların Tanımlanması	55
9.2.1 Moment-Dönme Bağıntıları.....	55
9.2.2 Sınır Değerler.....	59
9.3 Çözümleme Kombinasyonlarının Tanımlanması	60
9.3.1 Çözümleme	61
9.4 Üç Boyutlu Model	61
9.5 Uygulama 1	66
9.6 Uygulama 2.....	69
9.6 Uygulama 3	72
10 SONUÇLAR	76
KAYNAKLAR	78
ÖZGEÇMİŞ	79

KISALTMALAR

SE	: Serviceability Earthquake
DE	: Design Earthquake
ME	: Maximum Earthquake
TGD	: Temel Güvenlik Depremi
SP	: Structural Performance
NP	: Nonstructural Performance
ATC	: Applied Technology Council
ADRS	: Acceleration Displacement Response Spectra
FEMA	: Federal Emergency Management Agency
XTRACT	: Cross Sectional Structural Analysis of Components
SAP	: Structural Analysis Program
IO	: Immediate Occupancy
LS	: Life Safety
SS	: Structural Stability
EPA	: Effective Peak Acceleration

TABLO LİSTESİ

	<u>Sayfa No</u>
Tablo 6.1 Yapı performans seviyeleri.....	19
Tablo 6.2 Performans amacının belirlenmesi	20
Tablo 6.3 Temel güvenlik performans amacı	21
Tablo 6.4 Deprem katsayısı C_A	26
Tablo 6.5 Deprem katsayısı C_V	26
Tablo 6.6 Zemin profilleri tablosu.....	27
Tablo 6.7 Sismik bölge katsayısı, Z	27
Tablo 6.8 Deprem etki seviyesi katsayısı, E	27
Tablo 6.9 Deprem kaynağı yakınlık katsayısı, N	28
Tablo 6.10 Sismik kaynak tipi tablosu.....	28
Tablo 6.11 Sönüüm değiştirme katsayısı, κ	31
Tablo 6.12 Spektral azaltma katsayıları.....	32
Tablo 6.13 Spektral azaltma katsayıları.....	32
Tablo 6.14 Yapı davranış sınıfı tablosu.....	32
Tablo 6.15 C_0 katsayısı tablosu.....	35
Tablo 6.16 C_2 katsayısı tablosu.....	35
Tablo 7.1 Veri toplama matrisi	41
Tablo 7.2 Orijinal çizimler mevcut ise ön değerlendirme için gerekli bilgiler.....	42
Tablo 7.3 Orijinal çizimler mevcut değilse ön değerlendirme için gerekli bilgiler... ..	42
Tablo 7.4 Orijinal çizimler mevcut ise detaylı değerlendirme için gerekli bilgiler... ..	43
Tablo 7.5 Orijinal çizimler mevcut değil ise detaylı değerlendirme için gerekli bilgiler	43
Tablo 8.1 Şekil değiştirme sınır değerleri.....	46
Tablo 8.2 Kirişler için plastik mafsal dönümleri kabul kriteri tablosu (rad)	48
Tablo 8.3 Kolonlar için plastik mafsal dönümleri kabul kriteri tablosu	49
Tablo 8.4 Düğüm noktaları için toplam kayma açısı kabul kriteri tablosu (rad).....	50
Tablo 8.5 Dösemeler için plastik mafsal dönümleri kabul kriteri tablosu (rad)	51

Tablo 8.6 Perdeler için plastik mafsal dönmeleri kabul kriteri tablosu (rad)	51
Tablo 9.1 Uygulama detay tablosu	54
Tablo 9.2 Kirişler için modelleme parametreleri.....	57
Tablo 9.3 Kolonlar için modelleme parametreleri.....	58
Tablo 9.4 “cBS20” modeli çözümleme sonuçları.....	67
Tablo 9.5 “ucBS20” modeli çözümleme sonuçları.....	68
Tablo 9.6 “cBS25” modeli çözümleme sonuçları.....	70
Tablo 9.7 “cBS18” modeli çözümleme sonuçları.....	70
Tablo 9.8 “cBS14” modeli çözümleme sonuçları.....	71
Tablo 9.9 “cBS20StIII” çözümleme sonuçları	73
Tablo 9.10 “ucBS14StI” modeli çözümleme sonuçları	73

ŞEKİL LİSTESİ

	<u>Sayfa No</u>
Şekil 2.1 Betonun gerilme-şekil değiştirme ilişkisi	3
Şekil 2.2 Çeliğin gerilme-şekil değiştirme ilişkisi.....	4
Şekil 2.3 İdealleştirilmiş beton ve çelik gerilme-şekil değiştirme ilişkileri	4
Şekil 3.1 Farklı dayanımda betonların gerilme-şekil değiştirme ilişkileri.....	6
Şekil 3.2 Farklı donatı çelikleri için gerilme-şekil değiştirme ilişkileri	6
Şekil 3.3 Basit eğilme etkisindeki betonarme kesitte eğilme momenti-eğrilik ilişkisi	7
Şekil 3.4 Normal kuvvetin sünekliğe etkisi	7
Şekil 3.5 Sargı donatısının sünekliğe etkisi	8
Şekil 6.1 Performans amacı	14
Şekil 6.2 Yapı performans seviyesi	16
Şekil 6.3 Performans amacının belirlenmesi	20
Şekil 6.4 Kapasite eğrisi	22
Şekil 6.5 Kapasite eğrisinin kapasite spektrumuna dönüştürülmesi.....	23
Şekil 6.6 Doğrusal davranış spektrumu	25
Şekil 6.7 Doğrusal davranış spektrumunun ADRS formuna dönüştürülmesi	29
Şekil 6.8 Doğrusal davranış spektrumunun azaltılması.....	29
Şekil 6.9 Sönüümün belirlenmesi	30
Şekil 6.10 Sönüüm değiştirme katsayısının yapı türlerine göre değişimi.....	33
Şekil 6.11 Etkili sönüümün yapı türlerine göre değişimi	33
Şekil 6.12 Spektral azaltma katsayı , SR _V	33
Şekil 6.13 Spektral azaltma katsayı , SR _A	34
Şekil 6.14 Kapasite ve talep spektrumlarının kesişmesi.....	37
Şekil 6.15 Kapasite ve talep spektrumlarının üst üste çizilmesi.....	37
Şekil 6.16 Performans noktası için ilk tahmin.....	38
Şekil 6.17 Kapasite spektrumunun çift doğrusal duruma getirilmesi	38
Şekil 6.18 Kapasite spektrumunun ve talep spektrumunun üst üste çizilmesi	38
Şekil 9.1 Uygulamalarda kullanılan sistemin plan ve kesiti.....	54

Şekil 9.2 Kolon ve kiriş mesnet kesitleri	54
Şekil 9.3 Sargılı ve sargasız beton Mander modeli	56
Şekil 9.4 ATC40 Moment-Dönme ilişkisi.....	59
Şekil 9.5 ATC40 ve SAP2000 Moment-Dönme ilişkileri	59
Şekil 9.6 ATC40 sınır koşulları	60
Şekil 9.7 Üç boyutlu model	61
Şekil 9.8 Üç boyutlu model	62
Şekil 9.9 Kirişler için M3 mafsalının tanımlanması	62
Şekil 9.10 Kolonlar için PMM mafsalının tanımlanması	63
Şekil 9.11 PUSH1 yüklemesinin tanımlanması	63
Şekil 9.12 PUSH2 yüklemesinin tanımlanması.....	64
Şekil 9.13 PUSH3 yüklemesinin tanımlanması	64
Şekil 9.14 Kapasite eğrisi	65
Şekil 9.15 Performans noktası	65
Şekil 9.16 Performans noktası mafsal durumları	66
Şekil 9.17 Kolon ve kiriş kesitleri, etriye durumları.....	66
Şekil 9.18 Her iki modelin performans noktası mafsal durumları.....	68
Şekil 9.19 Kapasite eğrilerinin üst üste çizilmesi	69
Şekil 9.20 Tüm modeller performans noktası mafsal durumları	71
Şekil 9.21 Kapasite eğrilerinin üst üste çizilmesi	72
Şekil 9.22 Performans noktası mafsallaşma durumları	74
Şekil 9.23 Kapasite eğrilerinin üst üste çizilmesi	74

SEMBOL LİSTESİ

a, b, c	: Modelleme katsayıları
A, B, C	: Yapı davranış sınıfı
A_g	: Brüt kesit alanı
A_s	: Çekme donatısı alanı
A_s'	: Basınç donatısı alanı
α	: Birinci modun modal kütle katsayısı
b_w	: Kesit basınç bölgesi genişliği
β_{eff}	: Eşdeğer viskoz sönümlü
β_0	: Çevrimsel sönümlü
C_0, C_1, C_2, C_3	: Yerdeğiştirme katsayıları
C_A, C_V	: Deprem katsayıları
d	: Etkili kesit derinliği
E	: Deprem etki seviyesi katsayısı
E_c	: Beton için elastisite modülü
E_{sec}	: Beton için sekant rijitliği
ϵ	: Şekil değiştirme
ϵ_c	: Betonun şekil değiştirmesi
ϵ_{cc}	: Sargılı beton şekil değiştirmesi
ϵ_{su}	: Çelik kopma şekil değiştirmesi
ϵ_y	: Çelik akma şekil değiştirmesi
f_c	: Beton basınç gerilmesi
f_{cc}	: Sargılı beton basınç gerilmesi
f_{cu}	: Beton ezilme gerilmesi
f'_t	: Etkili yanal sargı basıncı
f_{st}	: Çeliğin kopma gerilmesi
f_y	: Çeliğin akma gerilmesi
ϕ	: Dönme
ϕ_u	: Sınır dönme değeri
ϕ_y	: Akma dönme değeri
g	: Yer ivmesi
K_e	: Etkili rijitlik
K_i	: Başlangıç rijitliği
κ	: Sönümlü değiştirme katsayısı
l_p	: Plastik mafsal boyu
l_w	: Perde uzunluğu
M_u	: Sınır durum momenti
M_w	: Moment büyüklüğü
N	: Standart penetrasyon deneyi darbe sayısı deneyi
N_A, N_V	: Deprem kaynağı yakınlık katsayısı
P	: Tasarım normal kuvveti
PF	: Modal katılım katsayısı

R	: Doğrusal dayanımın akma dayanımına oranı
R_a	: Deprem yükü azaltma katsayısı
P	: Çekme donatısı oranı
P'	: Basınç donatısı oranı
P_{bal}	: Dengeli donatı oranı
S_a	: Spektral ivme
S_d	: Spektral yerdeğiştirme
SR_A, SR_V	: Azaltma katsayıları
S_u	: Drenajsız kayma mukavemeti
σ	: Gerilme
t_w	: Perde genişliği
T	: Periyot
T_A, T_S	: Kontrol periyotları
T_i	: Başlangıç periyodu
V	: Taban kesme kuvveti
w	: Kat ağırlığı
Z	: Sismik bölge katsayısı

BETONARME BİR TAŞIYICI SİSTEMİN DOĞRUSAL OLMAYAN DAVRANIŞININ İNCELENMESİ

ÖZET

Deprem etkileri altında oluşan yatay kuvvetler, yapı sistemlerinin sürekli karşı karşıya oldukları düşey yüklerden farklıdır. Deprem etkisinden oluşan yatay kuvvetler tersinir ve tekrarlı yüklemelerdir. Çerçeve sistemler bu tür etkilerde, özellikle mesnet kesitlerinde, alışık olmadıkları yön ve şiddette iç kuvvetler ile karşılaşırlar.

Yapı sistemlerinin yatay kuvvetler altında çözümleme yöntemlerinde genelde doğrusal çözümleme yöntemleri kullanılır. Bu yöntemlerde doğrusal olmayan kapasite belirli katsayılarla gözönünde bulundurulur ve doğrusal etki bu katsayılar ile azaltılarak çözümleme yapılır. Boyutlamada kapasite kavramının ve doğrusal olmayan çözümleme yöntemlerinin gelişmesi ile çözümleme yöntemleri de yerdeğiştirme kontrollü doğrusal olmayan çözümlemelere doğru gelişmekte ve değişmektedir. Doğrusal olmayan çözümleme yöntemleri sayesinde doğrusal sınır ötesindeki kapasiteden daha etkin yararlanılmakta ve daha ekonomik kesitler üretilebilmektedir. Doğrusal olmayan statik itme analizi ve performans metodu da yapı sistemlerinin boyutlandırılmasında kullanılan yöntemlerdendir. Bu yöntemler kullanılarak yapı sistemlerinin göçme şekilleri de belirlenebilir ve göçmeye karşı sabit bir güvenlik elde edilir.

Doğrusal olmayan çözümleme yöntemlerinin uygulanabilmesi, yapı elemanlarının ve sistemlerinin süneklik özelliğine bağlıdır. Bu aşamada süneklik, doğrusal olmayan şekil değiştirme ve yerdeğiştirme yapabilme özelliği olarak tanımlanabilir. Sünek kesit ve sistemler sayesinde kapasite dayalı boyutlandırma ve doğrusal olmayan çözümlemeler kullanılabilir duruma gelir.

Bu çalışmada doğrusal olmayan statik itme çözümlemesinin tipik bir betonarme çerçeve sistem üzerinde, değişik malzeme ve sargı durumlarına göre incelenmesi verilmiştir. Sargı donatısı artırıldıkça ve malzeme kaliteleri yükseldikçe sistemin daha sünek davranışlığı, daha az plastikleşme bölgeleri ile sistemde daha fazla yatay kuvvet kapasitesi bulunduğu görülmüştür.

Anahtar Kelimeler: Performansa Dayalı Tasarım, Doğrusal Olmayan Statik İtme Çözümlemesi, Kapasite Eğrisi, Süneklik.

NONLINEAR BEHAVIOUR OF A REINFORCED CONCRETE FRAME SYSTEM

SUMMARY

The earthquake forces are lateral forces that are applied to a structural system different from the vertical service loads. Earthquake forces are cyclic loads and structural systems are not used to resist these forces.

Generally, linear analysis methods are used in design and analysis of structural systems subjected to earthquake forces. Nonlinear capacity of the structural system is represented by some factors and linear forces are reduced by these factors. With the development of capacity based design and nonlinear analysis procedures, the analysis methods progress towards nonlinear analysis controlled by displacements. Nonlinear capacity of a structural system can be determined by nonlinear analysis procedures and economical sections can be achieved. Nonlinear static analysis and performance based design are the optimum procedures to design a structural system. According to these procedures, a uniform factor of safety for structural failure can be determined. Also the collapse form of the structural system can be determined.

Nonlinear procedures need ductility in members and the structural system. Ductility can be defined as the ability to perform nonlinear deformations and displacements. In ductile members and systems nonlinear analysis procedures can be applied.

The presented thesis explains a nonlinear static procedure of a structural system subjected to earthquake loading in addition to vertical load and gives three examples consisting of reinforced concrete structural system having various degrees of confinement and material qualities. The numerical results show that the performance of the structural system increases as the confinement ratio and the material quality get better.

Key Words: Performance Based Design, Nonlinear Static Analysis, Pushover Analysis, Pushover Curve, Capacity Curve, Ductility.

1 GİRİŞ

Türkiye topraklarının büyük kısmı deprem tehlikesi ile karşı karşıyadır. Nüfusun ve sanayinin yoğun olduğu bölgelerde deprem riski daha da fazladır. Marmara Bölgesi sanayinin ve nüfusun en yoğun olduğu bölgedir ve aktif olan Kuzey Anadolu Fayı'nın etkisi altındadır. Deprem raporlarının açıklanması ile bölgede beklenen deprem ortalama 7.5 (M_w) büyüklüğündedir. Beklenen bu depremler sonucunda bölgede oluşabilecek can ve mal kaybı konusunda ise verilen rakamlar, günümüze kadar olan depremlerden daha fazladır.

Depremin tehlike oluşturması ve afete dönüşmesi, yapıların güvenlik derecesine bağlıdır. Malesef ülkemizdeki genel yapı stoğu depremin afete dönüşmesine neden olabilir. Genel olarak betonarme taşıyıcı sistemlerin tercih edildiği yapılar, çoğu zaman mühendislik bilgisinden yoksun ve bilinçsizce inşa edilmiştir. Kullanılan yapı malzemelerinin kalite düşüklüğü ve betonarme kesitlerin düzenlenmesi mevcut yapıların başlıca problemidir. 1998 yılında yürürlüğe giren Afet Bölgelerinde Yapılacak Yapılar Hakkında Yönetmelik ve 2000 yılında yenilenen TS500 ile birlikte bir takım standartlar sağlansa da, bu yönetmeliklerden önce yapılan yapıların durumları belirsizliğini korumaktadır.

Deprem kuvvetleri, yapı sistemlerinin sürekli karşı koydukları düşey yüklerden farklı olan, tekrarlı ve yön değiştiren yatay kuvvetlerdir. Dolayısıyla bu kuvvetlerin belirlenmesi ve betonarme çerçeve sistemlerin yatay kuvvetlere göre boyutlandırılması, düşey kuvvetlere oranla daha karmaşıktır. Bunun sonucu olarak yatay deprem kuvvetlerinin belirlenmesinden kesitlerin boyutlandırmasına kadar birçok noktada kabuller yapmak gereklidir.

Yatay kuvvetler altında betonarme taşıyıcı sistemlerin çözümlenmesinde birçok yöntem kullanılmaktadır. Genel olarak çözümleme yöntemlerinde yapının doğrusal olmayan kapasitesi bir katsayı ile belirlenir ve bu katsayı ile doğrusal çözümleme yapılır. 1998 yönetmeliği de bina ve bina türü yapıların deprem hesabında üç adet hesap yöntemi belirtilmektedir. Bunlar Eşdeğer Deprem Yükü Yöntemi, Mod Birleştirme Yöntemi ve Zaman Tanım Alanında Hesap Yöntemleri'dir. Eşdeğer

deprem yükü ve mod birleştirme yöntemleri de, yapının doğrusal olmayan kapasitesini Deprem Yükü Azaltma Katsayı (R_a) ile tanımlar. Kuvvetler bu katsayı ile azaltılarak doğrusal çözümleme yapılır. Ancak, yapının doğrusal olmayan kapasitesinin belirlenmesi ve bu kapasiteden yararlanması için doğrusal olmayan çözümleme daha etkilidir.

Doğrusal olmayan statik itme çözümlemesi de (Pushover) yapıların yatay kuvvetler altında incelenmesinde kullanılan yöntemlerdir. Boyutlamada kapasite kavramının gelişmesi ile bu yöntemin uygulamaları da artmıştır. Gerek malzemenin (beton ve çelik) gerekse taşıyıcı sistemin doğrusal sınır ötesi kapasitesini daha etkin kullanması, taşıyıcı sistemin güç tükenmesinde durumunu da tespit ve kontrol etmesi yanında uygulama kolaylığı da yöntemin kullanılmasını cazip hale getirmiştir.

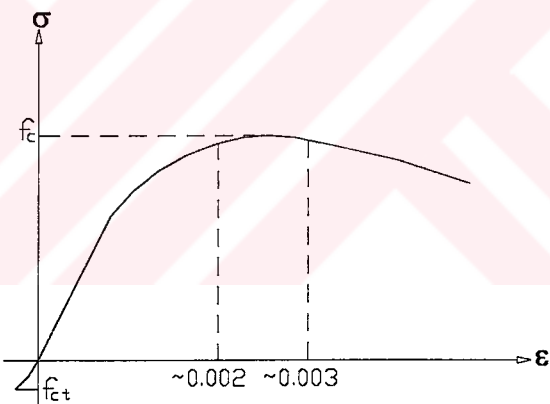
Genel olarak bu çalışmada, doğrusal sınır ötesi kapasitenin kullanımında Doğrusal Olmayan Statik İtme Analizi'nden (Pushover), ilgili yönetmeliklerden ve bir betonarme taşıyıcı sistem için uygulanmasından bahsedilecektir. Seçilen tipik bir betonarme taşıyıcı sistem üzerinde sargı donatısı ve malzeme kalitesi etkisi incelenmiştir.

2 BETONARME MALZEME

Betonarme; agregat, su ve çimentodan oluşan beton malzemesi içine çelik çubukların yerleştirilmesi ile oluşturulur. Bu sayede basınç dayanımı yüksek, çekme dayanımı düşük olan beton; çekme dayanımı yüksek olan çeliklerle tamamlanır. Aynı zamanda gevrek bir yapı malzemesi olan betonun bu eksikliği sünek bir yapı malzemesi olan çelikle giderilmektedir.

2.1 Beton ve Davranışı

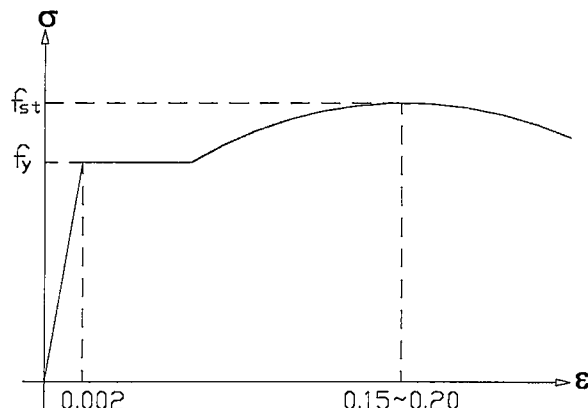
Beton belirli oranlarda karıştırılan agregat, çimento ve sudan oluşmaktadır. Gevrek bir yapı malzemesi olan beton için gerilme-şekil değiştirmeye ilişkisi Şekil 2.1'de verilmiştir. Betonun doğrusal davranış bölgesi $0.60 \sim 0.70 f_c$ gerilmesine kadardır.



Şekil 2.1 Betonun gerilme-şekil değiştirmeye ilişkisi

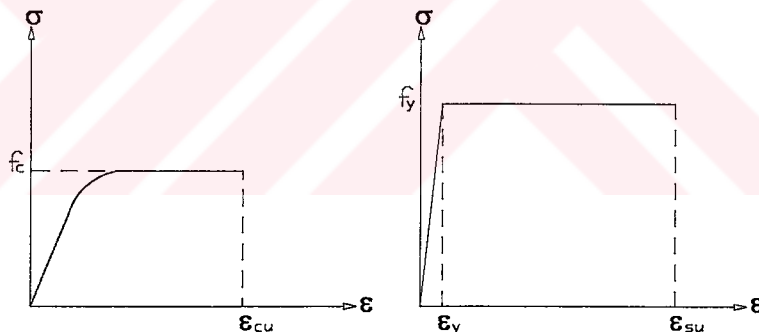
2.2 Çelik ve Davranışı

Yüksek çekme dayanımı sahip çelik için eksenel gerilme-şekil değiştirmeye ilişkisi Şekil 2.2'de verilmiştir. Çeliğin gerilme-şekil değiştirmeye ilişkisi üç parçadan oluşur. Birinci parça doğrusal davranışın bulunduğu bölümüdür. Bu bölüm akma sahanlığının bulunduğu ikinci bölüm takip eder ve pekleşmeyi içeren üçüncü bölüm ile son bulur. Şekil 2.2'den de anlaşılabileceği gibi, çelikte de elastik sınır ötesi kapasite ihmal edilemeyecek kadar fazladır.



2.3 İdeal Elastoplastik Kabul

Yapı sistemlerinin hesap aşamasında mevcut malzemelerin (beton ve çelik) gerilme-şekil değiştirme eğrileri, ideal elastoplastik gerilme-şekil değiştirme eğrisine dönüştürülür. Beton ve çelik malzeme için elastik sınır ve taşıma gücü sınır değerleri belirlenerek, ideal elastoplastik davranış eğrileri çizilir.



Şekil 2.3 beton ve çelik için kabul edilebilir elastoplastik gerilme-şekil değiştirme ilişkilerini göstermektedir. Malzemelerde doğrusal elastik bölgeyi plastikleşme bölgesi takip etmektedir. Malzemelerin plastikleşme bölgelerindeki kapasitelerinin daha iyi kullanılması için doğrusal olmayan çözümleme yöntemleri daha etkili sonuçlar vermektedir.

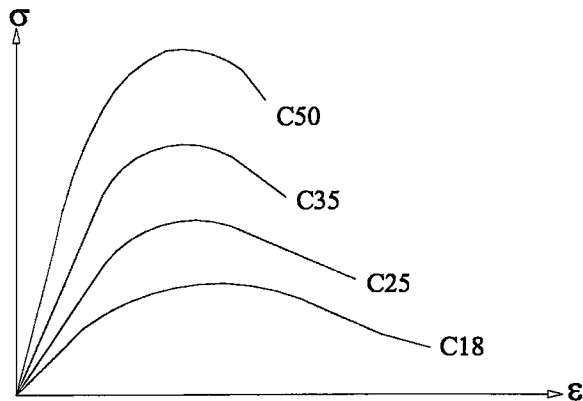
3 SÜNEKLİK

Süneklik; bir elemanın, bir kesitin ya da bir yapısal sistemin doğrusal sınır ötesinde şekil değiştirme veya yerdeğiştirme yapabilme yeteneği olarak tanımlanabilir. Sünek bir eleman, kesit ya da yapısal sistemde, ileri yük kademelerinde dayanım neredeyse sabit kalırken önemli ölçüde şekil değiştirmeler meydana gelir. Sünek davranış gösteren yapılarda, ileri yük kademelerinde, plastik şekil değiştirmeler sayesinde göçme olmadan yük taşınmaya devam edecektir. Önemli olan yapının karşılaşduğu dinamik etkiyi, süneklik sayesinde kazandığı şekil değiştirme kapasitesini kullanarak sönümlemesidir. Süneklik, doğrusal sınır sonrasında ani göçme olmadan şekil değiştirme yeteneğidir [1].

Sünek bir taşıyıcı sistem ancak ve ancak sünek kesitlere sahip elemanlardan oluşturulur. Betonarme kesitlerde doğrusal sınır geçilince beton ve çeliğin doğrusal olmayan davranışları betonarme malzemenin doğrusal olmayan davranışında etkili olur. Bir betonarme elemanda yeterli sünekliğin sağlanması için, elemanı oluşturan beton ve çeliğin de kabul edilebilir sünekliğe sahip olması gereklidir [2]. Beton ve çelik malzemeleri için süneklik, şekil değiştirebilme yeteneği olarak tanımlanabilir.

3.1 Betonda Süneklik

Beton, gevrek davranış gösteren bir yapı malzemesidir. Şekil 3.1 farklı kalitelerdeki betonların gerilme-şekil değiştirme ilişkilerini göstermektedir.

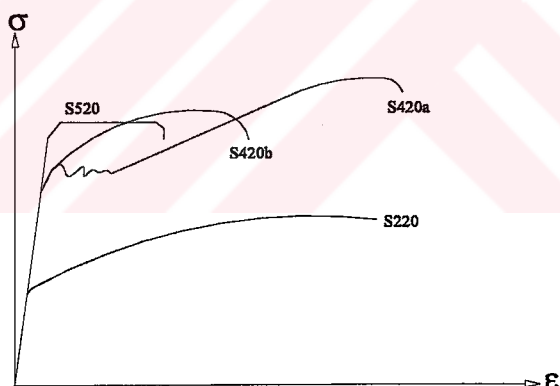


Şekil 3.1 Farklı dayanımda betonların gerilme-şekil değiştirmeye ilişkileri

Şekil 3.1'den de anlaşılacağı gibi, beton basınç dayanımı arttıkça şekil değiştirme kapasitesi azalmaktadır. Yani düşük dayanımlı betonlar, kendilerinden daha yüksek dayanımlı betonlara oranla daha sünектir.

3.2 Çelikte Süneklik

Çelik, sünek davranışlı bir yapı malzemesidir. Şekil 3.2 farklı kalitelerdeki çeliklerin gerilme-şekil değiştirmeye ilişkilerini göstermektedir.

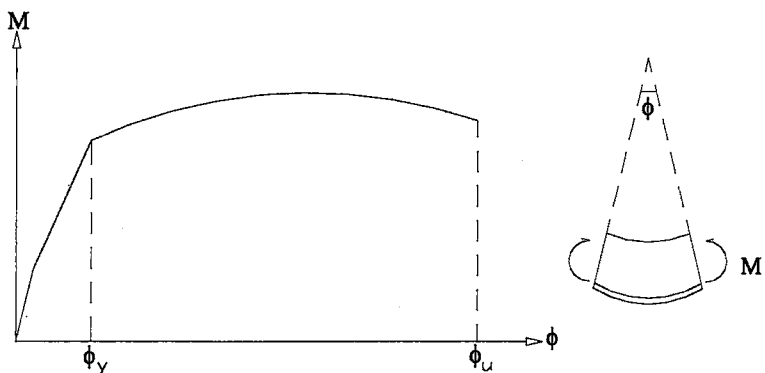


Şekil 3.2 Farklı donatı çelikleri için gerilme-şekil değiştirmeye ilişkileri

3.3 Yapı Elemanlarında Süneklik

3.3.1 Basit Eğilme Etkisi

Betonarme çerçeveli yapı sistemlerinde kırışlar eğilme momentinin normal kuvvete göre daha etkin olduğu elemanlardır. Eğilme momenti etkisindeki kırış kesitleri döner.



Şekil 3.3 Basit eğilme etkisindeki betonarme kesitte eğilme momenti-eğrilik ilişkisi

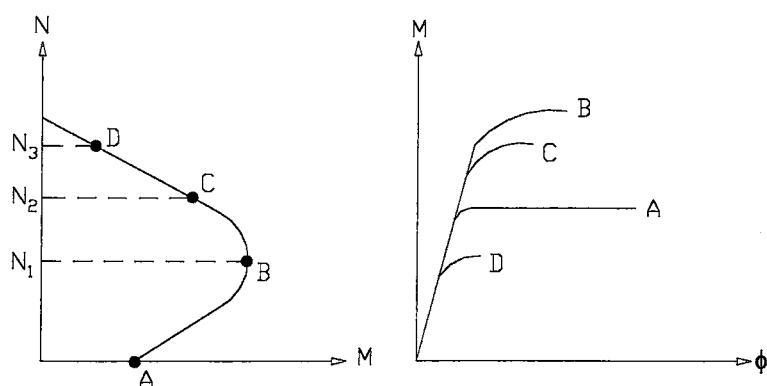
Şekil 3.3 sünek bir kiriş kesitinin moment-dönme eğrisini göstermektedir. Eğilme etkilerinin ön plana çıktığı kiriş kesitleri için süneklik, kesit dayanımında önemli bir değişim olmadan dönebilme yeteneği olarak tanımlanabilir. Buna göre kiriş kesiti için süneklik bağıntısı;

$$\mu = \frac{\Phi_u}{\Phi_y} \quad (3.1)$$

olarak tanımlanabilir. Kiriş kesitlerinin sünekliği çeşitli parametrelere bağlıdır. Süneklik çekme donatısı oranı ve donatı kalitesi ile ters, basınç donatısı oranı ve beton kalitesi ile doğru orantılıdır.

3.3.2 Normal Kuvvet Etkisi

Betonarme çerçeveli yapı sistemlerinde kolonlar normal kuvvetin ve eğilme momentinin etkin olduğu elemanlardır. Eğilme momenti ve normal kuvvet etkisindeki bir kolon kesitinin moment-dönme eğrisi Şekil 3.4'te gösterilmiştir.

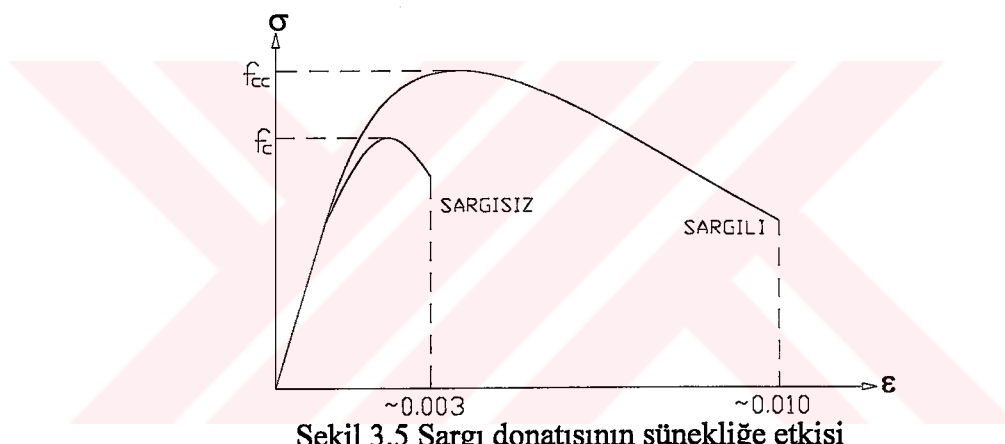


Şekil 3.4 Normal kuvvetin sünekliğe etkisi

Şekil 3.4'ten de anlaşılacağı gibi A durumu basit eğilme durumunu temsil etmektedir. Normal kuvvetin artması ile beraber, erişilen sınır durum eğrilik değerleri (ϕ_u) azalmaktadır. Süneklik sınır durum eğrilik değerinin (ϕ_u) akma eğriliğine (ϕ_y) oranı olarak düşünülürse, artan normal kuvvet etkilerinde genel olarak süneklik azalmaktadır.

3.3.3 Sargı Etkisi

Betonarme kesitlerde sargı donatısı, beton basınç dayanımını artırır ve şekil değiştirmeleri sınırlar. Bu sayede artan etkiler altında kesit moment dayanımında önemli bir azalma olmadan şekil değiştirme yapabilmesi amaçlanır. Yanal şekil değiştirmelerin önlenmesi sünekliği artırır. Sargı donatısı, betonarme kesitlerde sünekliği artıran en önemli etkendir.



Şekil 3.5 Sargı donatısının süneklige etkisi

Şekil 3.5'te de görüldüğü gibi sargılı durumdaki beton sargsız durumdaki betona göre çok daha fazla şekil değiştirme yapabilmektedir. Eğrilerin altında kalan alan tüketilen enerjinin dolayısıyla sünekliğin ifadesidir. Sargılı durum sünekliği, sargsız duruma göre fazladır.

3.4 Yapı Sistemlerinde Süneklik

Yapı sistemlerinde süneklik, yapının enerji tüketebilme yeteneğidir. Sünek yapılarda deprem etkilerinin meydana getirdiği enerji, büyük genlikli titreşimlerle yutulur. Sünek yapılarda bu büyük genlikli titreşimler yapının toplam dayanımında önemli bir kayıp oluşturmaz. Süneklik sayesinde kesitler arası yardımlaşma meydana gelecek ve yüklemenin ilerleyen kademelerinde doğrusal sınırı geçen kesitler plastik şekil değiştirmeler ile enerji sönümlerken, iç kuvvetler daha az zorlanan kesitlere aktarılacaktır. Sünekliğin gereği olan plastikleşme bölgelerinin meydana gelmesi

icin sistemin yüksek mertebeden hiperstatik olması gereklidir [3]. Bu özellik yapının göçme şeklinin belirlenmesine de yardımcı olur. Ayrıca patlama gibi yükleme durumlarında enerjinin yutulması için süneklik gereklidir [4].

Sünek yapılar için sünek malzemeler, sünek kesitler ve sünek taşıyıcı sistemler gereklidir. Betonarme taşıyıcı sistemlerin sahip oldukları sönum yeteneklerinin süneklik özelliği ile birleştirilmesi sonucu depreme dayanıklı betonarme yapı sistemleri oluşturulabilir. Süneklik düzeyi yüksek olmayan betonarme yapılarda, bir çok kesit kapasitesine ulaşmadan kat mekanizması gibi durumların oluşması sonucu yapı stabilitesini yitirmektedir. Oysa süneklik düzeyi yüksek olarak tasarlanan yapılarda süneklik, kesitlerin yardımlaşmasına imkan verebilecek şekil değiştirme ve yerdeğiştirme yeteneği sağlar.

4 PLASTİK MAFSAL KABULÜ

Betonarme kesitlerde moment etkisi altında dönme meydana gelir. Momentin düşük değerlerinde betonarme kesitlerin moment-eğrilik bağıntıları doğrusal elastik olarak kabul edilebilir. Momentin artan değerlerinde sırasıyla betonarme kesitte çatlama ve donatıda akma meydana gelir. Bu noktadan itibaren betonarme kesiti oluşturan betonun ve çeliğin doğrusal olmayan davranışları kesitte hakim olur. Kesitin moment-eğrilik bağıntısı da doğrusal davranıştan uzaklaşır. Plastik davranışın hakim olduğu bu aşamalarda kesitin taşıyabileceği moment çok az artarken, kesit dönmeleri hızlı bir şekilde artar. Bu iki bölgenin ayrimı, çekme donatısının akmaya başladığı nokta olarak kabul edilebilir.

Meydana gelen plastik şekil değiştirmelerin belirli bir bölgede yoğunlaştığı ve bu bölgede kesit dönmelerinin en büyük kesit dönmesine (ϕ_u) eşit olduğu kabul edilir. Plastik dönmelerin bu şekilde belirli bir bölgede toplanması “Plastik Mafsal Kabulü” olarak adlandırılır. Plastik mafsallarda kesit dönmeleri, eğilme momentinin en büyük değerine (M_u) ulaşması ile ortaya çıkar. Bu, plastik mafsalın normal mafsalдан ayrılan en önemli özelliğidir. Plastik mafsal bölgelerinde kesit, moment artışı olmadan dönmeye devam eder.

Plastik mafsal bölgelerinin sünek sistemlerde oluşabilmesi, sistemin yüksek dereceden hiperstatik olmasına bağlıdır. Plastik mafsal bölgesi boyu, moment-eğrilik diyagramına, eleman boyunca eğilme momentinin değişimine, kesit yüksekliğine ve kesitteki normal kuvvette bağlıdır [3]. Kiriş kesitleri için $d/2$, kolon kesitleri için d plastik mafsal boyu olarak kabul edilebilir. Diğer bir yaklaşımla deney sonuçlarına göre kirişlerde plastik mafsal boyu aşağıdaki gibi tanımlanabilir:

$$l_p = 0.25d + 0.075z \quad (4.1)$$

$$l_p = 0.50d + 0.050z \quad (4.2)$$

Denklem 4.1 ve 4.2'de verilen l_p plastik mafsal boyu, z kesitin moment sıfır kesitinden uzaklığını, d kiriş yüksekliğidir.

5 ÇÖZÜMLEME

Yapı analizi metotları kuvvet kontrollü davranış yerine yerdeğiştirme kontrollü davranışın tercih edilmesi yönünde gelişmektedir [5]. Yapı sistemlerinde hasar seviyesi, yerdeğiştirme kontrolü ile daha kolay tanımlanabilmektedir.

Yapıların yatay kuvvet etkisindeki analizlerinde, genel olarak basitleştirilmiş statik yatay yük yöntemleri kullanılmaktadır. Bu yöntemler kullanılarak yapılan yatay yük hesaplarında yapının, meydana gelebilecek deprem etkilerini elastik sınırlar içerisinde karşılaması öngörlür. Ancak düşünülen deprem etkilerinin elastik sınırlar içinde yaşanması, yapıda ekonomik olmayan çözümleri doğurmaktadır. Yapının ömrü boyunca karşılaşma olasılığı düşük olan bu etkilerin, sürekli karşılaşacağı düşey yükler gibi, elastik davranış sınırları içerisinde hesaplanması makul değildir. Seyrek olarak meydana gelen bu tür etkilerde, yapının elastik ötesi “yedek gücünün” [6] de devreye sokulması gereklidir. Ancak yapının elastik ötesi davranışından kaynaklanan kapasitesinin hesaplanması, doğrusal olmayan analizi gerektirir.

Yapı sistemlerinde doğrusal olmayan davranışın iki nedeni vardır:

- Malzemenin doğrusal elastik olmaması
- Geometri değişimi

Malzemenin doğrusal elastik olmadığı durumlarda elastoplastik teori geçerlidir. Geometri değişimleri bulunan sistemlerde ise ikinci mertebe teorisi uygulanır. Bu iki durumun, malzemenin doğrusal elastik davranışının ve geometri değişimi, bulunduğu sistemlerde ikinci mertebe elastoplastik teori uygulanır.

Yapı sistemlerinin doğrusal olmayan hesabında; elastik ötesi şekil değiştirmeler süneklik amacını sağlarken, ikinci mertebe etkilerinin artmasına neden olabilir. İkinci mertebe etkilerinin sebep olabileceği göçmeye, bu sistemlerde dikkat edilmelidir.

5.1 Doğrusal Olmayan Statik Çözümleme (Pushover)

Yapıların doğrusal hesap metotları ile analizlerinde yapı malzemesinin doğrusal elastik davranışının ve yerdeğiştirmelerin çok küçük olduğu (I. Mertebe Teorisi) kabulleri yapılır. Süperpozisyon kuralları geçerlidir. İşletme yükleri altındaki gerilmeler seçilen güvenlik katsayılarına bölünerek, doğrusal elastik sınır gerilmesinden küçük olması hedeflenir. Doğrusal analiz sonucu göçmeye karşı sabit güvenlik sağlanamazken, doğrusal elastik sınır ötesindeki taşıma gücünden yararlanılamaz. Doğrusal analiz, yapıların elastik kapasiteleri ve ilk akma bölgesi hakkında iyi sonuçlar vermektedir. Ancak, yapının göçme mekanizması bu metodla belirlenemez. Ayrıca ilk plastik mafsaldan sonra takip eden akmalar sonucu kuvvetlerin yeniden dağılımı belirlenemez.

Yapıların doğrusal olmayan hesap metotları ile analizlerinde; yapı malzemesinin lineer elastik davranışmaması ve büyük yerdeğiştirmelerin meydana gelmesi durumları göz önüne alınır. Süperpozisyon geçerli değildir. Yatay yükler uygulanırken yapıda düşey yükleme bulunur. Yatay yükler, aralarındaki oran sabit kalacak şekilde artırlır. Genel olarak düzgün yapılarda birinci mod etkileri önemli olduğundan, uygulanan yatay yük dağılımı bu mod şekline benzer bir dağılım olarak seçilebilir. Yükler artarken kesitlerden biri veya birkaçı taşıma gücüne erişir ve bu kesitlerde plastik mafsallar oluşur. Plastik mafsal oluşan kesitler, taşıma güçlerinde değişme olmaksızın, dönmeye devam ederler. Plastik mafsallar arasında sistem lineer elastik davranışır. Her adımda değişen rijitlik matrisleri ile lineer hesap yapılır. Takip eden seviyelerde sistem mekanizma durumuna gelir ve göçme yüküne ulaşılır. Göçme yükü (Limit Yük), sistemin bir bölümünü veya tamamını mekanizma durumuna getiren yüktür. Göçme yükü tayin edilerek işletme yüklerine bölünür ve güvenlik katsayısi elde edilir. İşletme yükleri altında; yapının elastik sınırı aşmaması ve zararlı olabilecek yerdeğiştirmelerin, şekil değiştirmelerin ve çatlakların oluşmaması istenir. Doğrusal olmayan analiz sonucu göçmeye karşı sabit güvenlik sağlanırken, lineer sınır ötesindeki taşıma gücünden de yararlanılmış olunur. Diğer taraftan, yapının tanımlanan göçme modlarında nasıl davranışının belirlenmesine yardımcı olur.

Doğrusal olmayan çözümlemeler belirli sınırlar içerisinde kullanılır. Doğrusal olmayan statik çözümlemede aşağıdaki hususlara dikkat edilmelidir:

- Yüksek modların etkili olduğu durumlarda statik çözümleme yeterli olmaz. Eğer %90 kütle katılım oranı ile modal çözümleme yapıldığında bulunan kat

kesme kuvveti, bir mod göz önüne alınarak yapılan çözümlemeden bulunan kesme kuvvetinin %130unu geçiyorsa, yüksek modların etkili olduğuna karar verilir.

- Taşıyıcı sistem hakkında ayrıntılı bilgi olmadığı durumlarda doğrusal olmayan statik çözümleme kullanılmamalıdır.

Doğrusal olmayan dinamik çözümlemede aşağıdaki hususlara dikkat edilmelidir:

- Taşıyıcı sistem hakkında ayrıntılı bilgi olmadığı durumlarda doğrusal olmayan dinamik çözümleme kullanılmamalıdır.
- Çözümleme ve sonuçlar deneyimli bir üçüncü taraf tarafından gözden geçirilmelidir [7].

5.2 Boyutlamada Kapasite Kavramı

Yapıların yatay kuvvetler altında hesaplarında malzeme özelliklerinden yatay kuvvetin belirlenmesine kadar bir çok kabul yapılır. Bunun sonucu olarak, meydana gelecek depremlerde, yapı öngörlüenden daha çok veya daha az zorlanabilir. Yapı karşılaşabileceği öngörlüenden fazla kuvvetler altında hasar görebilir ancak ayakta kalabilmelidir. Bu durum hasarın sistemde yayılı olarak meydana gelmesi ile sağlanır.

Hasarın taşıyıcı sistemde yayılı olarak meydana gelmesi kesitler arası yardımlaşmaya bağlıdır. Bu sayede kapasitesine ulaşan kesite diğer kesitler yardımcı olacak ve sistemdeki toplam hasar kesitler arasında paylaşılacaktır. Ancak kesitler arası yardımlaşmanın olabilmesi sünekliğe bağlıdır. Kapasitesine ulaşan kesit, diğer kesitlere kuvvetler aktarılırken, şekil değiştirmeye devam etmelidir (Plastik Mafsal Kabülü). Bu sayede yerel büyük hasar yerine, yayılı olarak küçük hasarlarla öngörlüenden daha büyük kuvvetler karşılaşır. Ayrıca yönetmeliklerce istenen sünek güç tükenmesi koşulları da sağlanmış olur. Kesitler arası yardımlaşma sünekliğe, hiperstatiklik derecesine, sistem geometrisine ve kesitler arası kapasite oranlarına bağlıdır.

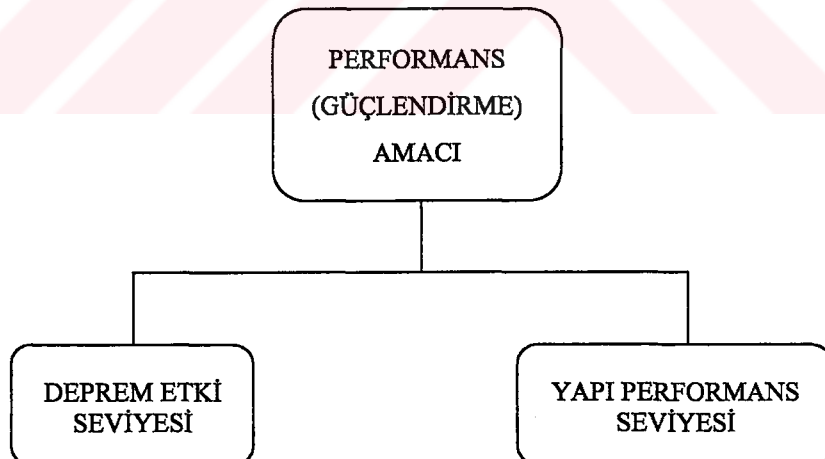
Kesitlerin kapasitelerini göz önünde bulunduran bu sistem sayesinde yapı, önceden belirlenen bir göçme şekline göre davranışır. Yani yapı sünek olarak davranışacak ve toptan göçme engellenecektir.

6 PERFORMANS METODU

Performans Metodu, yapıların deprem etkileri altındaki davranışlarının belirlenmesi ve depreme dayanıklı duruma getirilmelerinde kullanılan yöntemlerdir. Yapının fonksiyonuna göre Yapı Performans Seviyeleri'nden biri belirlenir. Belirlenen yapı performans seviyesinin şartlarına göre yeni yapıların tasarımlı, mevcut yapıların incelemesi ve güçlendirilmesi yapılır.

6.1 Performans Amacı

Yeni yapılacak tasarımda ya da mevcut bir sistemin incelenmesinde ilk adım performans amacının belirlenmesidir. Belirlenecek performans amacı, seçilen deprem etkisi altında yapıdan beklenen performans seviyesini tanımlar. Buradan da anlaşılmış gibi performans amacının belirlenmesinin iki bileşeni, deprem etkisini tanımlayan Deprem Etki Seviyesi ve yapının performansını tanımlayan Yapı Performans Seviyesi'dir.



Şekil 6.1 Performans amacı

6.1.1 Deprem Etki Seviyesi

Yapıların Performans Metodu ile incelenmesinde, seçilen performans amacının hangi deprem etkisi altında sağlanacağının belirlenmesi gereklidir. Deprem etkisinin belirlenmesi iki adımdan oluşur:

- kullanılacak depremin tanımlanması
- bu deprem için spektrum eğrisinin oluşturulması

Kullanılacak depremin tanımlanmasında iki yöntem kullanılır. Bunlardan birincisi, depremin 50 yıl içerisinde aşılma olasılığından hareket eder. Diğer tanım ise benzer büyüklükteki depremlerin ortalama tekrarlanma aralığı (dönüş periyodu) kavramını kullanır. Birinci tanım kullanılarak üç adet deprem seviyesi tanımlanabilir:

- Kullanma Depremi (SE)

50 yıllık periyot içinde aşılma olasılığı %50 olan deprem etkisini tanımlar (%50/50 yıl). Bu etkinin ortalama dönüş periyodu yaklaşık 75 yıldır ve yapı ömrü boyunca ortaya çıkması muhtemeldir.

- Tasarım Depremi (DE)

Temel Güvenlik Depremi 1 (TGD-1) olarak belirtilebilecek bu tür depremlerin 50 yıllık periyot içinde aşılma olasılığı %10'dur (%10/50 yıl). Bu etkinin ortalama dönüş periyodu yaklaşık 500 yıldır ve yapı ömrü boyunca ortaya çıkması pek muhtemel değildir. Afet Bölgelerinde Yapılacak Yapılar Hakkında Yönetmelik 1998 de tarif ettiği deprem kuvvetlerinde yaklaşık olarak bu depremi göz önünde bulundurur.

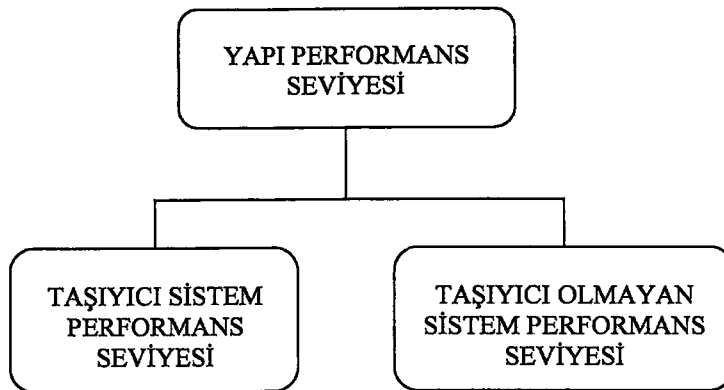
- Maksimum Deprem (ME)

Temel Güvenlik Depremi 2 (TGD-2) olarak belirtilebilecek bu tür depremlerin 50 yıllık periyot içinde aşılma olasılığı %2'tir (%2/50 yıl). Bu etkinin ortalama dönüş periyodu yaklaşık 2500 yıldır.

6.1.2 Yapı Performans Seviyesi

Performans seviyeleri, deprem sonrası meydana gelen hasarı ve yapı sistemlerinin deprem sonrası durumlarını sınıflandırır. Deprem sırasında ve sonrasında can güvenliği riskini inceler. Deprem sonrası onarım veya güçlendirme gereksinimlerini tanımlar.

Yapı performans seviyeleri, taşıyıcı olan ve taşıyıcı olmayan sistemler için ayrı ayrı tanımlanır. Taşıyıcı Sistem Performans Seviyeleri ve Taşıyıcı Olmayan Sistem Performans Seviyeleri'nin çeşitli kombinasyonları Yapı Performans Seviyesi'ni oluşturur.



Şekil 6.2 Yapı performans seviyesi

6.1.2.1 Taşıyıcı Sistem Performans Seviyeleri

Taşıyıcı sistem performans seviyeleri, yapı taşıyıcı sistem elemanlarının deprem sonrası hasarlarını sınıflandırır. Taşıyıcı sistemlerin deprem sonrası işlevsellliğini tespit eder. Üç adet taşıyıcı sistem performans seviyesi ve bu seviyeler arasında kalan, iki adet taşıyıcı sistem performans aralığı tanımlanır.

- Hemen Kullanım Performans Seviyesi (SP-1): Deprem sonrasında sınırlı yapısal hasarın olduğu performans seviyesidir. Yapının taşıyıcı sistemleri, deprem öncesi kapasite ve taşıyıcılık özelliklerini hemen hemen korumaktadır. Yapı giriş ve çıkışları hemen kullanım aşamasında güvenlidir.
- Hasar Kontrol Performans Aralığı (SP-2): Performans seviyesi olmayıp, Hemen Kullanım Performans Seviyesi (SP-1) ile Can Güvenliği Performans Seviyesi (SP-3) aralığını tanımlar. Yönetmeliklerde yeni binalar için 50 yıllık süre içinde aşılma olasılığı %10 olarak tanımlanan deprem etkisinde öngörülen performans seviyesi bu aralığa düşer [8].
- Can Güvenliği Performans Seviyesi (SP-3): Deprem sonrasında önemli sayılabilecek yapısal hasarın olduğu performans seviyesidir. Ancak taşıyıcı sistem toptan veya kısmi göçme durumuna ulaşmamıştır. Önemli yapısal sistemlerde düşme veya göçme gözlenmez. Deprem sırasında yaralanma olabilir. Yapısal hasardan kaynaklanan, hayatı tehlike oluşturabilecek yaralanma riski çok düşüktür. Yapının kullanımı için kapsamlı yapısal onarımlar gerekebilir. Ancak, hasar seviyesi her zaman onarılabilen kadar ekonomik olmayabilir.

- Sınırlı Güvenlik Performans Aralığı (SP-4): Performans seviyesi olmayıp, Can Güvenliği Performans Seviyesi (SP-3) ile Toptan Göçmenin Önlenmesi Performans Seviyesi (SP-5) aralığını tanımlar.
- Toptan Göçmenin Önlenmesi Performans Seviyesi (SP-5): Deprem sonrası, güç tükenmesi eşliğindeki hasarın sınırlandırılması seviyesidir. Yapıda önemli derecede hasar meydana gelmiştir. Yatay kuvvet taşıyıcı sistem rıjilik ve dayanımında önemli derecede düşüş gerçekleşmiştir. Ancak, düşey yük taşıyıcı sistem işlevini sürdürmektedir. Yapı içinde veya dışında yaralanma riski yüksektir. Artçı depremler göçmeye neden olabilir. Maksimum deprem etkilerinde yapısal stabilitet devamı için bu performans seviyesi kullanılabilir.
- Hasarın Göz Önüne Alınmadığı Performans Seviyesi (SP-6): Taşıyıcı sistem ve eleman hasarlarının göz önüne alınmadığı hasar seviyesidir.

6.1.2.2 Taşıyıcı Olmayan Sistem Performans Seviyeleri

Taşıyıcı olmayan sistem performans seviyeleri, yapıda taşıyıcı olmayan sistem elemanlarının deprem sonrası hasarlarını sınıflandırır. Taşıyıcı olmayan sistemlerin deprem sonrası işlevsellliğini tespit eder. Beş adet taşıyıcı olmayan sistem performans seviyesi tanımlanır.

- Kullanıma Devam Performans Seviyesi (NP-A): Deprem sonrasında yapısal olmayan eleman ve sistemler genel olarak işlevlerine devam eder. Küçük temizlik ve onarım gerekebilir. Bütün ekipman ve makineler çalışabilir durumdadır.
- Hemen Kullanım Performans Seviyesi (NP-B): Yapısal olmayan elemanlarda bir hasar söz konusu değildir. Deprem sonrasında yapısal olmayan eleman ve sistemler genel olarak işlevlerine devam eder. Küçük temizlik ve onarım gerekebilir. Ekipman ve makineler genellikle sabitlenmiştir. Kuvvetli sarsıntıdan sonra işlevsel olmaları düşünülemez ve işlevlerinde bazı kısıtlamalar olabilir.
- Can Güvenliği Performans Seviyesi (NP-C): Deprem sonrası yapısal olmayan eleman ve sistemlerde önemli hasarlar meydana gelebilir. Fakat yapının kısmı veya toptan göçmesi söz konusu değildir. Yapısal olmayan sistemler, ekipman ve makineler işlevsel değildir. Deprem sırasında yaralanmalar

meydana gelebilir. Yapısal olmayan eleman hasarlarından kaynaklanabilecek hayatı yaralanma riski düşüktür.

- Azaltılmış Hasar Performans Seviyesi (NP-D): Deprem sonrası yapısal olmayan eleman ve sistemlerde yaygın hasarlar meydana gelebilir. Fakat göçme veya düşme gözlenmez.
- Hasarın Göz Önüne Alınmadığı Performans Seviyesi (NP-E): Taşıyıcı olmayan eleman hasarlarının göz önüne alınmadığı hasar seviyesidir.

6.1.2.3 Yapı Performans Seviyeleri

Bir yapının Performans Seviyesi; depremden sonraki kabul edilebilir hasar ve binada kabul edilecek deprem güvenliği seviyesine bağlı olarak tanımlanır. Taşıyıcı sistem ve taşıyıcı olmayan sistem performans seviyelerinin birleştirilmesiyle, yapı için hasar sınırlarını belirleyen, Yapı Performans Seviyesi belirlenir. En çok kullanılan yapı performans seviyeleri:

- Kullanıma Devam Performans Seviyesi (1-A): Bu performans seviyesi işlevsellikle ilgilidir. Yapının hasar sınırlıdır. Yapının taşıyıcı olan ve olmayan elemanlarındaki hasar, kullanımı etkilemeyecek seviyededir.
- Hemen Kullanım Performans Seviyesi (1-B): Önemli yapılar için öngörülen performans seviyesidir. Yapının sistemleri kullanılabilir durumdadır. Bazı onarım işlemleri gerekebilir.
- Can Güvenliği Performans Seviyesi (3-C): Can güvenliği için tehlikeli olabilecek hasar seviyesi olasılığının çok düşük olmasını ön görür. Taşıyıcı olan sistemde hasar oluşmuştur. Ancak sistemde bir miktar kapasite bulunmaktadır.
- Toptan Göçmenin Önlenmesi Performans Seviyesi (5-E): Yapının düşey yük taşıyıcı sistemdeki hasarla ilgilidir. Yapının düşey yük taşıyan sistemi ancak ayaktadır. Yatay yükler altında sistemin yalnızca stabil olması yeterlidir. Artçı depremlerde toptan göçme olabilir. Taşıyıcı olan ve taşıyıcı olmayan sistem elemanları hasarları can güvenliğini tehlikeye sokabilir.

Tablo 6.1 Yapı performans seviyeleri

YAPI PERFORMANS SEVİYELERİ						
Taşıyıcı Olmayan Sistem Performans Seviyeleri	Taşıyıcı Sistem Performans Seviyeleri					
	SP-1 Hemen Kullanım P. Seviyesi	SP-2 Hasar Kontrol P. Aralığı	SP-3 Can Güvenliği P. Seviyesi	SP-4 Sınırlı Güvenlik P. Aralığı	SP-5 Toptan Göçmenin Önlenmesi P. Seviyesi	SP-6 Hasarın Göz Önüne Alınmadığı P. Seviyesi
NP-A Kullanıma Devam P. Seviyesi	1-A Kullanıma Devam P. Seviyesi	2-A				
NP-B Hemen Kullanım P. Seviyesi	1-B Hemen Kullanım P. Seviyesi	2-B	3-B			
NP-C Can Güvenliği P. Seviyesi	1-C	2-C	3-C Can Güvenliği P. Seviyesi	4-C	5-C	6-C
NP-D Azaltılmış Hasar P. Seviyesi		2-D	3-D	4-D	5-D	6-D
NP-E Hasarın Göz Önüne Alınmadığı P. Seviyesi			3-E	4-E	5-E Toptan Göçmenin Önlenmesi P. S.	

En çok kullanılan performans seviyeleri

Diger kullanılabılır performans seviyeleri

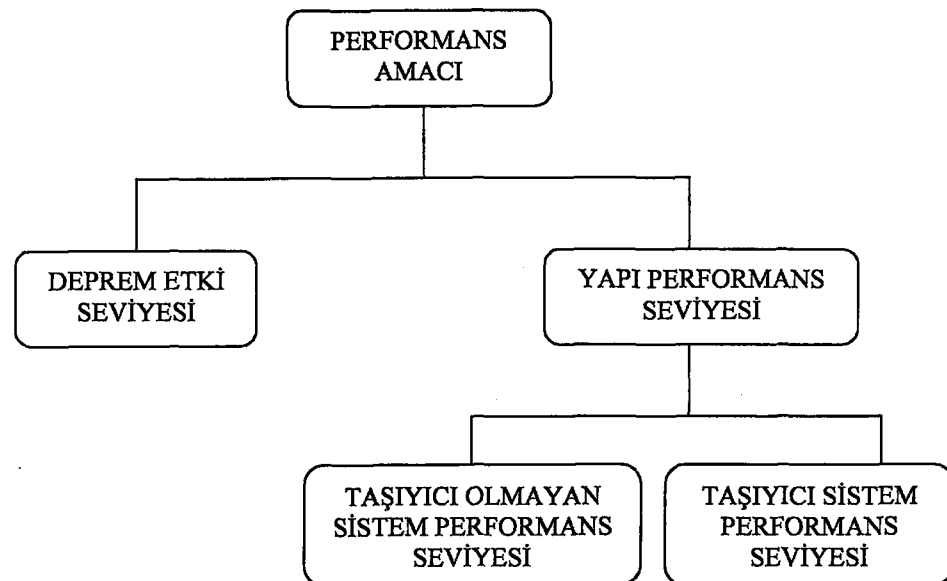
Değil de kullanılamayan performans seviyeleri

Yapı performans seviyeleri Tablo 6.1'de gösterildiği gibi köşegen üzerinde, Taşıyıcı Sistem ve Taşıyıcı Olmayan Sistem Performans Seviyelerinin mantıklı eşleşmeleriyle belirlenir. Tavsiye edilmeyen performans seviyeleri, Taşıyıcı Sistem ve Taşıyıcı Olmayan Sistem Performans seviyelerinin mantıklı olmayan eşleşmeleridir. Örnek olarak taşıyıcı olmayan sistemlerde kullanıma devam seviyesi hedeflenirken, taşıyıcı sistemlerde hasarın göz önünde bulundurulmadığı performans seviyesinin hedeflenerek eşleştirilmesi mantıklı değildir.

6.1.3 Performans Amacı Belirlenmesi

Yapılarda performans amacı; yapı performans seviyeleri ve deprem etki seviyelerinin birebir eşlenmesi ile oluşturulur. Belirlenen deprem etki seviyesinde, seçilen yapı performans seviyesi, yapı performans amacını oluşturur. Yapı için tek performans

amacı belirlenebileceği gibi; değişik deprem etkileri altında değişik yapı performans seviyeleri seçilerek, birden fazla performans amacı da belirlenebilir.



Şekil 6.3 Performans amacının belirlenmesi

Tablo 6.2'de Deprem Etki Seviyesinin ve Yapı Performans Seviyesinin eşlenerek Performans Amacı'nın oluşturulması gösterilmiştir. Değişik Yapı Performans ve Deprem Etki Seviyeleri eşlenerek farklı performans amaçları belirlenebilir.

Tablo 6.2 Performans amacının belirlenmesi

Deprem Etki Seviyeleri	Yapı Performans Seviyeleri			
	Kullanıma Devam (1-A)	Hemen Kullanım (2-B)	Can Güvenliği (3-C)	Toptan Göçmenin Önlenmesi (5-E)
Kullanma Depremi (SE)				
Tasarım Depremi (DE)			✓	
Maksimum Deprem (ME)				

- Temel Güvenlik Amacı

Tasarım depremi etkisi (DE) altında Can Güvenliği Performans Seviyesini (3-C), maksimum deprem etkisi (ME) altında Yapısal Stabilite Performans Seviyesini (5-E) tanımlayan performans amacıdır. Tablo 6.3 Temel Güvenlik Amacı'nı belirtmektedir.

Tablo 6.3 Temel güvenlik performans amacı

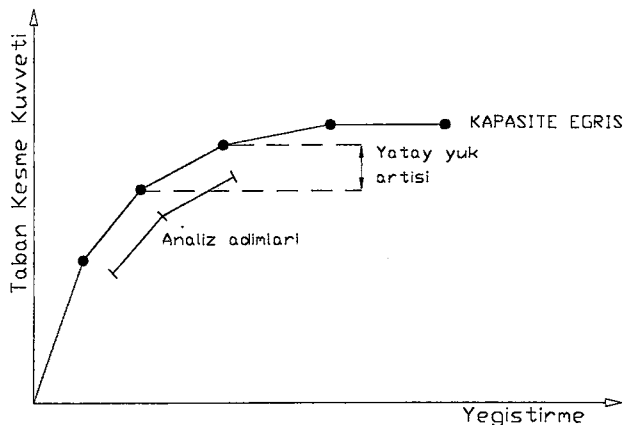
Deprem Etki Seviyeleri	Performans Amacının Belirlenmesi			
	Yapı Performans Seviyeleri			
Kullanıma Devam (1-A)	Hemen Kullanım (2-B)	Can Güvenliği (3-C)	Toptan Göçmenin Önlenmesi (5-E)	
Kullanma Depremi (SE)				
Tasarım Depremi (DE)			✓	
Maksimum Deprem (ME)				✓

6.2 Kapasite

Kapasite, yapının beklenen talep deprem etkisini karşılayabilme özelliğidir. Yapıyı oluşturan elemanların dayanım ve şekil değiştirme kapasitelerine bağlı olan yapının genel kapasitesidir. Taşıyıcı ve taşıyıcı olmayan sistemlerin ve elemanların kapasiteleri ile yapının kapasitesi tanımlanabilir. Yapıda performans amacında tanımlanan deprem etkisine karşı koyabilecek kapasitenin bulunması gereklidir. Yapının performansı, kapasitenin talep deprem etkisini karşılayabilme yeteneği olarak tanımlanabilir. Elastik sınır ötesindeki kapasitenin bulunması için doğrusal olmayan statik analiz kullanılabilir. Bu, tüm yapının, kuvvet-yerdeğiştirme eğrisinin yaklaşık olarak çıkartılması işlemidir.

6.2.1 Kapasite Eğrisinin Oluşturulması

Yapı kapasitesi kapasite (pushover) eğrisi ile tanımlanır. Kapasite eğrisinin eksen takımları, taban kesme kuvveti ve yapının en üst noktasındaki yerdeğiştirme değerleridir. Yapının, belirlenen yatay yük modeli ile, limit duruma erişene kadar artarak itilmesi ile elde edilir. Kapasiteye erişen kesitler akma sonrası rıjiliklerine eşitlenir ve yeni durumda doğrusal analiz tekrarlanır. Tekrar eden doğrusal analizler sonucu, her adımdaki taban kesme kuvvetleri ve yerdeğiştirmelerin birleştirilmesiyle kapasite eğrisi oluşturulur.



Şekil 6.4 Kapasite eğrisi

Eğer yapının sonsuz elastik kapasitesi olsaydı, kapasite eğrisi eğimi yapı rıjitliği olan düz bir çizgi olarak karımıza çıkardı. Ancak kapasite eğrisi, yapıların sonsuz elastik kapasitesi bulunmadığından, doğru parçalarından oluşur. Artan yatay kuvvetler sonucu oluşan akmalardan ve hasarlardan yapıda oluşan rıjilik azalmaları, doğru parçaları eğimlerinin giderek azaltmaktadır. Eğri üzerinde herhangi bir yerdeğistirme noktasından ve orijinden geçen doğrunun eğimi, o noktadaki yapı etkili rıjitliğini verir.

6.2.2 Doğrusal Olmayan Statik Analiz (Pushover)

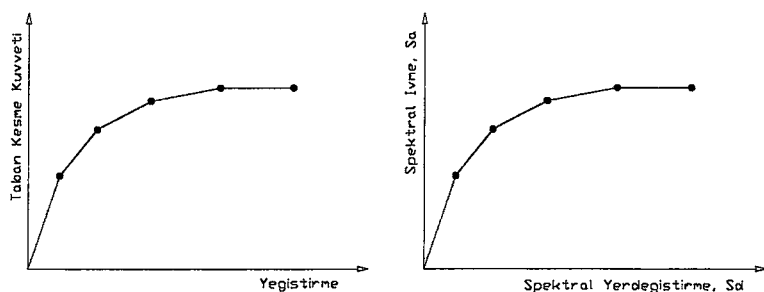
Yapıların doğrusal hesap metotları ile analizlerinde yapı malzemesinin doğrusal elastik davranışlığı ve yerdeğistirmelerin çok küçük olduğu (I. Mertebe Teorisi) kabulleri yapılır. Süperpozisyon kuralları geçerlidir. İşletme yükleri altındaki gerilmeler seçilen güvenlik katsayılarına bölünerek, doğrusal elastik sınır gerilmesinden küçük olması hedeflenir. Doğrusal analiz sonucu göçmeye karşı sabit güvenlik sağlanamazken, doğrusal elastik sınır ötesindeki taşıma gücünden yararlanılamaz. Doğrusal analiz, yapıların elastik kapasiteleri ve ilk akma bölgesi hakkında iyi sonuçlar vermektedir. Ancak, yapının göçme mekanizması bu metotla belirlenemez. Ayrıca ilk akmadan sonra takip eden akmalar sonucu kuvvetlerin yeniden dağılımı belirlenemez.

Yapıların doğrusal olmayan hesap metotları ile analizlerinde; yapı malzemesinin doğrusal elastik davranışmaması ve büyük yerdeğistirmelerin meydana gelmesi durumları göz önüne alınır. Süperpozisyon geçerli değildir. Yatay yükler uygulanırken yapıda düşey yükleme bulunur. Yatay yükler, aralarındaki oran sabit kalacak şekilde artırılır. Genel olarak düzgün yapılarda birinci mod etkileri önemli

olduğundan, uygulanan yatay yük dağılımı bu mod şeklärine benzer bir dağılım olarak seçilebilir. Yükler artarken kesitlerden biri veya birkaç taşıma gücüne erişir ve bu kesitlerde plastik mafsallar oluşur. Plastik mafsal oluşan kesitler, taşıma güçlerinde değişme olmaksızın, dönmeye devam ederler. Plastik mafsallar arasında sistem doğrusal elastik davranışır. Her adımda değişen rijitlik matrisleri ile doğrusal hesap yapılır. Takip eden seviyelerde sistem mekanizma durumuna gelir ve göçme yüküne ulaşılır. Göçme yükü (Limit Yük), sistemin bir bölümünü veya tamamını mekanizma durumuna getiren yüktür. Göçme yükü tayin edilerek işletme yüklerine bölünür ve güvenlik katsayısi elde edilir. İşletme yükleri altında; yapının elastik sınırı aşmaması ve kabul edilemeyecek yerdeğiştirmelerin, şekil değiştirilmelerin ve çatlakların oluşmaması istenir. Doğrusal olmayan analiz sonucu göçmeye karşı sabit güvenlik sağlanırken, doğrusal sınır ötesindeki taşıma gücünden de yararlanılmış olunur. Diğer taraftan, yapının tanımlanan göçme modlarında nasıl davranışının belirlenmesine yardımcı olur.

6.2.3 Kapasite Spektrumunun Oluşturulması

Doğrusal olmayan statik analiz sonucu elde edilen kapasite eğrisinin (taban kesme kuvveti-yerdeğiştirme) talep spektrumu ile karşılaştırılabilmesi için eksen takımlarının aynı olmaları gerekmektedir. Bunun için ATC40 "Seismic Evaluation and Retrofit of Concrete Buildings" kapasite eğrisi kapasite spektrumu eğrisine (spektral ivme-spektral yerdeğiştirme) dönüştürülmesini önermektedir. Kapasite spektrum eğrisinin bu eksen takımlarında gösterilmesi ADRS (Acceleration-Displacement Response Spectra) formu olarak isimlendirilir. Bu dönüşüm için iki temel denklem kullanılır:



Şekil 6.5 Kapasite eğrisinin kapasite spektrumuna dönüştürülmesi

$$S_a = \frac{V/W}{\alpha_1} \quad (6.1)$$

$$S_d = \frac{\Delta_{cat}}{PF_1 \phi_{cat,1}} \quad (6.2)$$

Bu denklemlerde kullanılan PF ve α terimleri:

$$PF_1 = \left[\frac{\sum_{i=1}^N (w_i \phi_{i1})/g}{\sum_{i=1}^N (w_i \phi_{i1}^2)/g} \right] \quad (6.3)$$

$$\alpha_1 = \frac{\left[\sum_{i=1}^N (w_i \phi_{i1})/g \right]^2}{\left[\sum_{i=1}^N w_i/g \right] \left[\sum_{i=1}^N (w_i \phi_{i1}^2)/g \right]} \quad (6.4)$$

PF_1 = Birinci modun modal katılım katsayısı

α_1 = Birinci modun modal kütle katsayısı

w_i/g = i. kat kültlesi

ϕ_{i1} = Birinci modun i. kattaki genliği

N = Toplam kat sayısı

V = Taban kesme kuvveti

W = Yapı ağırlığı (sabit yük + hareketli yük)

Δ_{cat} = Birinci modda en üst nokta yerdeğiştirmesi

S_a = Spektral ivme

S_d = Spektral yerdeğiştirme

Kapasite eğrisi kapasite spektrumuna dönüştürülürken ilk adımda modal katılım katsayısı (PF_1) ve modal kütle katsayısı (α_1) hesaplanır. Daha sonra bu değerler kullanılarak kapasite eğrisi üzerindeki her nokta için spektral ivme (S_a) ve spektral yerdeğiştirme (S_d) değerleri hesaplanarak kapasite spektrum eğrisi oluşturulur.

6.3 Talep

Talep, Performans Metodu'nda deprem etkisini tanımlar. Yapı kapasitesinin seçilen deprem etkisi altında performansı, kapasite eğrisinin talep eğrisi ile karşılaştırılması ile belirlenir. Performans noktası Kapasite Spektrumu ile Talep Spektrumu'nun kesişim noktasıdır. Deprem etkisinin, kapasite ile yani Kapasite Spektrumu ile karşılaştırılması için Talep Spektrumu tanımlanmalıdır.

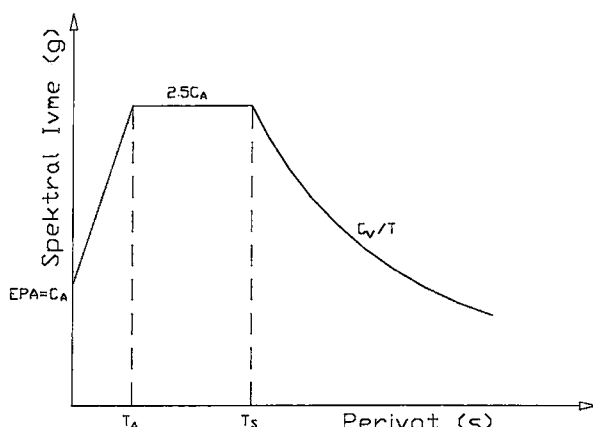
6.3.1 Talep Spektrumu

Talep spektrumu, performans metodunda sismik talebin temsil edildiği grafiktir. Elde edilen kapasite eğrisinin karşılaşılacağı deprem etkisini tanımlar. Talep Spektrumu'nun tanımlanmasında %5 sönümlü doğrusal davranış spektrumundan yararlanılır. Doğrusal olmayan etkiler de göz önüne alınarak, %5 sönümlü doğrusal davranış spektrumu azaltılarak Talep Spektrumu elde edilir.

%5 sönümlü elastik ivme spektrumunun eksen takımları spektral ivme ve periyottur. Tanımlanan elastik ivme spektrumu Talep Spektrumu'na dönüştürülmelidir. Talep spektrumunun elde edilmesinde iki yöntem mevcuttur. Bunlardan birincisi ATC40'ta açıklanan Kapasite Spektrumu Metodu, diğer ise FEMA356'da açıklanan Yerdeğiştirme Katsayıları Metodu'dur.

6.3.2 Doğrusal Davranış Spektrumu

%5 sönümlü doğrusal davranış spektrumu C_A ve C_V katsayıları ile tanımlanır ve Talep Spektrumu'nun elde edilmesinde kullanılır. Şekil 6.6'da %5 sönümlü doğrusal davranış spektrumunun oluşturulması gösterilmiştir.



Şekil 6.6 Doğrusal davranış spektrumu

Burada T_A ve T_S kontrol periyotları olup 6.5 ve 6.6 denklemleri ile hesaplanır.

$$T_S = C_V / 2.5 C_A \quad (6.5)$$

$$T_A = 0.2 T_S \quad (6.6)$$

C_A ve C_V katsayıları Tablo 6.4 ve 6.5'ten belirlenebilir ve binanın bulunduğu deprem bölgесine, bilinen herhangi bir faya olan uzaklığa ve zemin özelliklerine göre değişir. C_A katsayısı zeminin etkili en büyük ivmesini temsil etmektedir. C_V , periyodu 1s olan %5 sönümlü sistemin spektrum değeridir. $2.5C_A$, %5 sönümlü kısa periyotlu sistemin en büyük ortalama ivme değerlerini temsil etmektedir.

Tablo 6.4 Deprem katsayısı C_A

Zemin Sınıfı	Deprem Katsayısı, Z^*E^*N					
	0.075	0.150	0.200	0.300	0.400	>0.400
S_A	0.08	0.15	0.20	0.30	0.40	$1.0^*Z^*E^*N$
S_B	0.08	0.15	0.20	0.30	0.40	$1.0^*Z^*E^*N$
S_C	0.09	0.18	0.24	0.33	0.40	$1.0^*Z^*E^*N$
S_D	0.12	0.22	0.28	0.36	0.44	$1.1^*Z^*E^*N$
S_E	0.19	0.30	0.34	0.36	0.56	$0.9^*Z^*E^*N$
S_F	Yerel Zemin İncelemesi Gerekli					

Tablo 6.5 Deprem katsayısı C_V

Zemin Sınıfı	Deprem Katsayısı, Z^*E^*N					
	0.075	0.150	0.200	0.300	0.400	>0.400
S_A	0.08	0.15	0.20	0.30	0.40	$1.0^*Z^*E^*N$
S_B	0.08	0.15	0.20	0.30	0.40	$1.0^*Z^*E^*N$
S_C	0.13	0.25	0.32	0.45	0.56	$1.4^*Z^*E^*N$
S_D	0.18	0.32	0.40	0.54	0.64	$1.6^*Z^*E^*N$
S_E	0.26	0.50	0.64	0.84	0.96	$2.4^*Z^*E^*N$
S_F	Yerel Zemin İncelemesi Gerekli					

Tablo 6.4 ve 6.5'de belirtilen zemin sınıfları Tablo 6.6'te tanımlanmıştır.

Tablo 6.6 Zemin profilleri tablosu

Zemin Profilleri	Zemin Profil İsmi (Görsel Tanımlama)	İlk 30m'deki Ortalama Zemin Özellikleri		
		Kayma Dalgası Hızı (v_s) (m/s)	Standart Penetrasyon Deneyi Darbe Sayısı Değeri (N) (darbe sayısı/m)	Drenajsız Kayma Mukavemeti (s_u) (kN/m ²)
S _A	Sert Kaya	$v_s > 1500$	Uygulanamaz	
S _B	Kaya	$1500 \geq v_s > 750$	Uygulanamaz	
S _C	Çok Sıkı Zemin ve Yumuşak Kaya	$750 \geq v_s > 350$	N > 165	$s_u > 100$
S _D	Sert Zemin	$350 \geq v_s > 180$	$165 \geq N > 50$	$100 \geq s_u \geq 50$
S _E	Yumuşak Zemin	$180 > v_s$	50 > N	50 > s _u
S _F	Yerel zemin incelemesi gerekli			

Tablo 6.4 ve 6.5'de kullanılan Z katsayısı binanın bulunduğu deprem bölgelerine göre değişmektedir. Bu katsayı 1998 Afet Bölgelerinde Yapılacak Yapılar Hakkında Yönetmelik'te [8] tanımlanan A₀ katsayısı gibi değerlendirilebilir.

Tablo 6.7 Sismik bölge katsayısı, Z

Sismik Bölge Katsayısı					
Bölge	1	2A	2B	3	4
Z	0.075	0.15	0.20	0.30	0.40

Kullanılan E katsayısı binaya uygulanacak deprem etki seviyesini tanımlayan katsayıdır. Bölüm 6.1.1'de tanımlanan deprem etki seviyelerine göre değişmektedir.

Tablo 6.8 Deprem etki seviyesi katsayısı, E

Deprem Etki Seviyesi	E
Kullanma Depremi (SE)	0.50
Tasarım Depremi (DE)	1.00
Maksimum Deprem (ME)	1.25-1.50

Kullanılan N katsayısı binanın bilinen herhangi bir sismik kaynağa (fay) olan uzaklığına göre değişen katsayıdır.

Tablo 6.9 Deprem kaynağı yakınlık katsayısı, N

Deprem Kaynağı Yakınlık Katsayıları								
Sismik Kaynak Tipi	Bilinen Sismik Kaynağa En Yakın Uzaklık							
	$\leq 2 \text{ km}$		5 km		10 km		$\geq 15 \text{ km}$	
	N_A	N_V	N_A	N_V	N_A	N_V	N_A	N_V
A	1.5	2.0	1.2	1.6	1.0	1.2	1.0	1.0
B	1.3	1.6	1.0	1.2	1.0	1.0	1.0	1.0
C	1.0	1.0	1.0	1.0	1.0	1.0	1.0	1.0

Tablo 6.9'da üç tip sismik kaynak görülmektedir. Bunlar Tablo 6.10'da açıklanmıştır.

Tablo 6.10 Sismik kaynak tipi tablosu

Sismik Kaynak Tipi	Sismik Kaynak Tanımı	Sismik Kaynak Tanımı	
		Maksimum Moment Büyüklüğü, M	Kayma Hızı SR (mm/yıl)
		$M \geq 7.0$	$SR \geq 5$
A	Yüksek oranda sismik aktiviteli, büyük manyitüdü depremler oluşturan kaynaklar	$M \geq 7.0$	$SR \geq 5$
B	A ve C dışındaki bütün kaynaklar	Uygulanamaz	Uygulanamaz
C	Düşük oranda sismik aktiviteli, büyük manyitüdü depremler oluşturamayan kaynaklar	$M < 6.5$	$SR < 2$

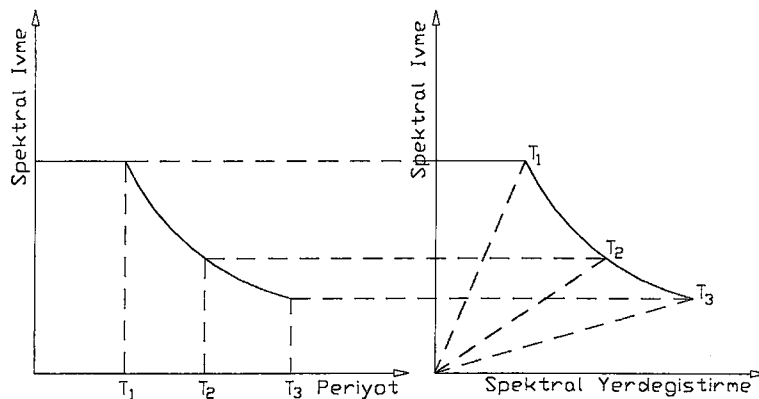
%5 sönümlü doğrusal davranış spektrumu oluşturulduktan sonra bu spektrum kullanılarak Talep Spektrumu oluşturulur. Talep spektrumunun elde edilmesinde iki yöntem mevcuttur. Bunlardan birincisi ATC40'ta açıklanan Kapasite Spektrumu Metodu, diğeri ise FEMA356'da [9] açıklanan Yerdeğiştirme Katsayıları Metodu'dur.

6.4 Kapasite Spektrum Metodu (ATC40)

%5 sönümlü doğrusal davranış spektrumunun eksen takımı spektral ivme-periyottur. Bu eksen takımının ADRS formuna (spektral ivme-spektral yerdeğiştirme) dönüştürülmesi gerekmektedir. Şekil 6.7 eksen takımı değişimlerini göstermektedir. Bunun için 6.7 ve 6.8 denklemleri kullanılır:

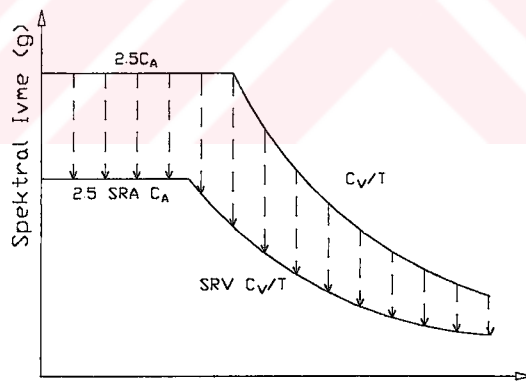
$$S_d = \frac{1}{4\pi} \cdot S_a \cdot T^2 \quad (6.7)$$

$$T = 2\pi \sqrt{\frac{S_d}{S_a}} \quad (6.8)$$



Şekil 6.7 Doğrusal davranış spektrumunun ADRS formuna dönüştürülmesi

Talep Spektrumu doğrusal olmayan davranış sonucu oluşacak sönüm de göz önünde bulundurularak azaltılır. Talep Spektrumunun azaltılmasında Azaltma katsayıları (SR_A ve SR_V) kullanılır ve Azaltılmış Talep Spektrumu elde edilir. Azaltma Katsayıları'nın bulunması için aşağıda açıklanan adımlar takip edilir.



Şekil 6.8 Doğrusal davranış spektrumunun azaltılması

$$SR_A = \frac{1}{BS} \approx \frac{3.21 - 0.681 \ln(\beta_{eff})}{2.12} \quad (6.9)$$

$$SR_V = \frac{1}{BL} \approx \frac{2.31 - 0.41 \ln(\beta_{eff})}{1.65} \quad (6.10)$$

6.9 ve 6.10 denklemlerinde azaltma katsayılarının bulunmasında kullanılan β_{eff} , etkili toplam sönümu tanımlamaktadır. Doğrusal davranış spektrumu %5'lik bir sönüüm

icerir. Ancak deprem etkileri altında doğrusal sinır aşildikten sonra davranış spektrumu çevrimsel değişim gösterir. Deprem etkisi altında yapıda doğrusal olmayan ve çevrimsel oluşan şekil değiştirmeler sonucu enerji tüketilir.

Deprem etkisi sırasında yapıda oluşan toplam sönüüm iki parçadan oluşur: viskoz sönüüm ve çevrimsel sönüüm. Çevrimsel sönüüm, yapının deprem etkisi altında yaptığı çevrimlerinin, taban kesme kuvveti-yerdeğiştirme grafiğinin altında kalan alanıdır. Çevrimsel sönüüm yaklaşık olarak eşdeğer viskoz sönüüme (β_0) çevrilebilir. Eşdeğer viskoz sönüüm en büyük yerdeğiştirmeye (d_{pi}) bağlıdır ve denklem 6.11 ile hesaplanır.

$$\beta_{\text{eff}} = \beta_0 + 0.05 \quad (6.11)$$

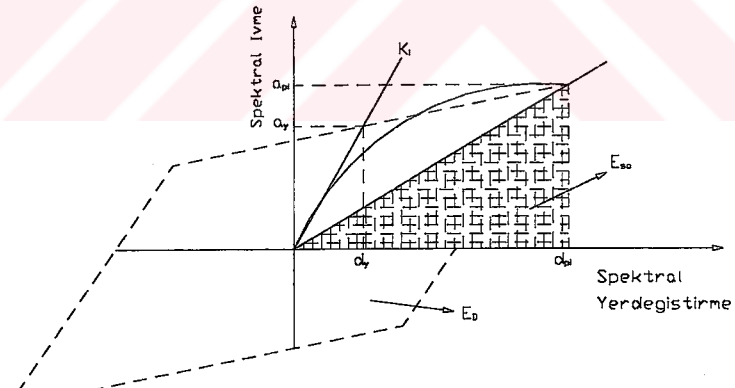
$$\beta_0 = \frac{1}{4\pi} \cdot \frac{E_D}{E_{S0}} \quad (6.12)$$

β_0 : eşdeğer toplam sönüümün parçası olarak temsil edilen çevrimisel sönüüm

0.05: yapıda bulunan %5 viskoz sönüm (sabit kabul edilir)

E_D = sönümleme ile yutulan enerji

E_{S0} = en büyük şekil değiştirme enerjisi



Şekil 6.9 Sömürünün belirlenmesi

Şekil 6.9 sönümlün belirlenmesini göstermektedir. E_D , tek çevrimde yapı tarafından yutulan enerji ile orantılıdır. Bu da tek çevrim eğrisinin altındaki alana eşittir. E_{so} , bu çevrim altında maksimum şekil değiştirme enerjisidir ve taralı alanla ifade edilir, denklem 6.13 ve 6.14 ile hesaplanır.

$$E_D = 4(a_y \cdot d_{pi} - d_y \cdot a_{pi}) \quad (6.13)$$

$$E_{so} = \frac{a_{pi} \cdot d_{pi}}{2} \quad (6.14)$$

$$\beta_{eff} = \kappa \cdot \beta_0 + 5 = \frac{63.7\kappa(a_y \cdot d_{pi} - d_y \cdot a_{pi})}{a_{pi} \cdot d_{pi}} + 5 \quad (6.15)$$

6.15 denkleminde kullanılan κ , yapının davranışına bağlı Sönüüm Değiştirme katsayısıdır. Sismik etkileri taşıyan sistemin kalitesine ve deprem etkisinin süresine bağlıdır. Çevrimsel sönümün belirlenmesinde kullanılan paralel kenarın gerçek yapıda farklı olabileceği düşünülerek bu düzeltme katsayısı öngörülmüştür. Tablo 6.11 Sönüüm Değiştirme Katsayısı'nın yapı davranış sınıfına göre değişimini göstermektedir.

Doğrusal olmayan statik itme çözümlemesinde, sistemin tekrarlı yükler altında çözümlemesi yapılmayıp tek yönde itilerek sonuca ulaşılır. Bunun için sistemin çevrimsel davranışı bulunarak, toplam sönümme çevrimsel davranış sönümü de dahil edilmelidir.

Tablo 6.11 Sönüüm değiştirme katsayısı, κ

Yapı Davranış Sınıfı	β_0 (%)	κ
A	≤ 16.25	1.0
	> 16.25	$1.13 - \frac{0.51(a_y \cdot d_{pi} - d_y \cdot a_{pi})}{a_{pi} \cdot d_{pi}}$
B	≤ 25	0.67
	> 25	$0.845 - \frac{0.446(a_y \cdot d_{pi} - d_y \cdot a_{pi})}{a_{pi} \cdot d_{pi}}$
C		0.33

Çevrimsel davranışın tam oluşmadığı, yapım kalitesi düşük eski yapılarda katsayı düşük, yeni yapılarda ise sönüm çevrimi dolgun biçimde ortaya çıkacağı için düzeltme katsayısı yüksektir. Deprem etkisinin uzun olması durumunda enerji tüketimi artacaktır ve kısa süreli depremlere göre düzeltme katsayısı daha büyük olacaktır.

Denklem 6.9 ve 6.10'dan hesaplanan azaltma katsayıları Tablo 6.12'de verilen değerlerden küçük olamaz. Spektral azaltma katsayıları Tablo 6.13'ten yaralanılarak da belirlenebilir.

Tablo 6.12 Spektral azaltma katsayıları

Yapı Davranış Sınıfları	SR _A	SR _V
A	0.33	0.50
B	0.44	0.56
C	0.56	0.67

Tablo 6.13 Spektral azaltma katsayıları

β_0 (%)	Yapı Davranış Sınıfı A			Yapı Davranış Sınıfı B			Yapı Davranış Sınıfı C		
	β_{eff}	SR _A (1/B _S)	SR _V (1/B _L)	β_{eff}	SR _A (1/B _S)	SR _V (1/B _L)	β_{eff}	SR _A (1/B _S)	SR _V (1/B _L)
0	5	1.00	1.00	5	1.00	1.00	5	1.00	1.00
5	10	0.78	0.83	8	0.83	0.87	7	0.91	0.93
15	20	0.55	0.66	15	0.64	0.73	10	0.78	0.83
25	28	0.44	0.57	22	0.53	0.63	13	0.69	0.76
35	35	0.38	0.52	26	0.47	0.59	17	0.61	0.70
>45	40	0.33	0.50	29	0.44	0.56	20	0.56	0.67

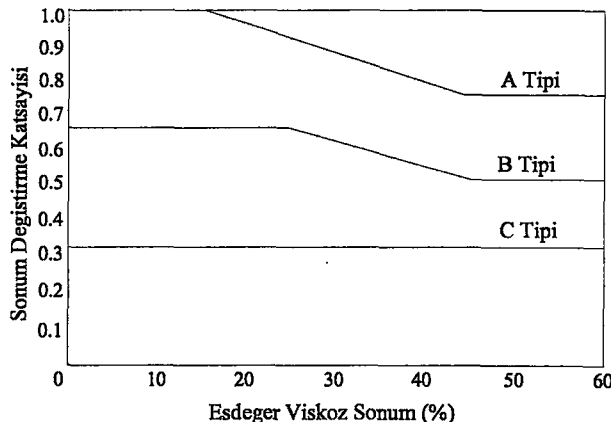
Tablo 6.11, 6.12 ve 6.13'te belirtilen Yapı Davranış Sınıfları Tablo 6.14'te açıklanmıştır.

Tablo 6.14 Yapı davranış sınıfı tablosu

Salınım süresi	Genel olarak yeni bina	Ortalama mevcut bina	Zayıf mevcut bina
Kısa	TipA	TipB	TipC
Uzun	TipB	TipC	TipC

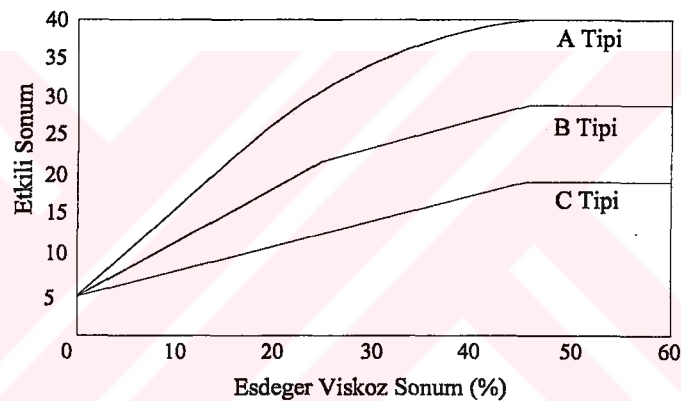
Tablo 6.13'ten de anlaşılacağı gibi azaltma katsayıları sönüm oranına ve binanın kalitesine bağlıdır. Yüksek sönümülü yeni binalar için verilen azaltma katsayıları, düşük sönümülü eski binalar için verilen azaltma katsayılarından düşüktür.

Sönüm Değiştirme Katsayısının yapı davranış sınıflarına göre değişimleri Şekil 6.10'da belirtilmiştir. Şekilden de anlaşılacağı gibi yeni binalarda oluşabilecek çevrimlerin eski binalara göre daha dolgun olacağı düşünülerek daha yüksek sönüm değiştirme katsayıları verilmektedir.



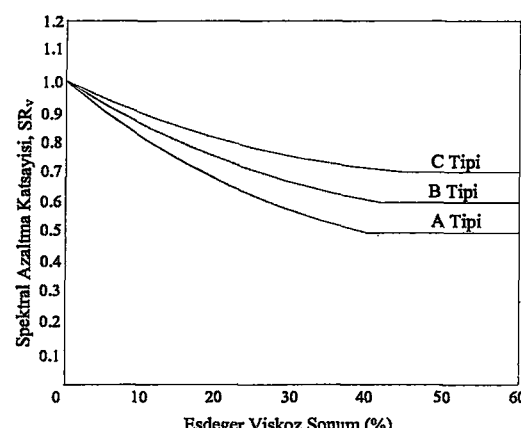
Şekil 6.10 Sönüm değiştirme katsayısının yapı türlerine göre değişimi

Şekil 6.11 etkili sönümün yapı davranış sınıflarına göre değişimini göstermektedir. Yeni binalar için öngörülen etkili sönüm, kısmen eski binalar için öngörülen etkili sönümlerden daha yüksektir.

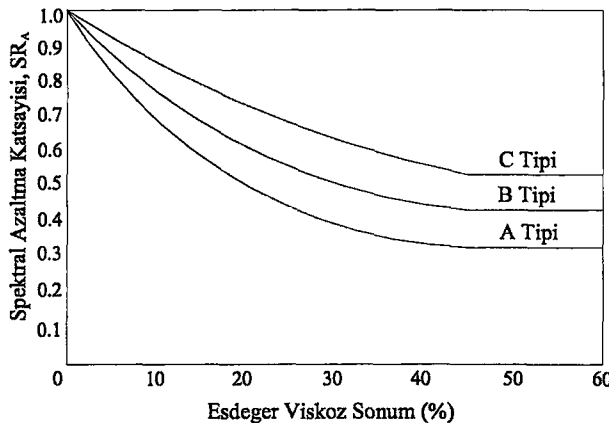


Şekil 6.11 Etkili sönümün yapı türlerine göre değişimi

Spektral azaltma katsayılarının yapı davranış sınıflarına göre değişimleri Şekil 6.12 ve 6.13'te belirtilmiştir. Şekillerden de anlaşılacağı gibi doğrusal spektrumdaki azalmalar, yeni ve sönümlü yüksek yapılar için daha çoktur.



Şekil 6.12 Spektral azaltma katsayısı, SR_v



Şekil 6.13 Spektral azaltma katsayısı, SR_A

6.5 Yerdeğiştirme Katsayıları Metodu (FEMA 273/356)

Bu metodun uygulanması iki adımdan oluşur:

- Hedef yerdeğiştirmenin tanımlanması
- Kabul kriterlerinin incelenmesi

Belirlenen hedef yerdeğiştirme değerine sistemin artan yatay kuvvet modeli ile erişmesi hedeflenir. Sistemde en üst noktanın hedef yerdeğiştirmesi incelenirken güç tükenmesi durumu da kontrol edilir. Hedef yerdeğiştirme 4.12 denklemi ile elde edilir:

$$\delta = C_0 C_1 C_2 C_3 S_a T_e^2 g / 4\pi^2 \quad (6.16)$$

C_0 , C_1 , C_2 ve C_3 katsayıları tasarım deprem etkisi altında yapının en üst yerdeğiştirmesinin belirlenmesinde yardımcı olur. Katsayılar; yüksek mod etkilerini, doğrusal olmayan yerdeğiştirmeleri, yapının çevrimisel davranışını ve ikinci mertebe etkilerini düzenler.

C_0 , tek serbestlik dereceli sistemin spektral yerdeğiştirmesini, çok serbestlik dereceli sistemin çatı yerdeğiştirmesi ile ilişkilendiren katsayıdır. C_0 katsayısının değişimi Tablo 6.15'te verilmiştir.

Tablo 6.15 C_0 katsayısı tablosu

Kat sayısı	Yüksekliğin artmasıyla kat yerdeğiştirmelerinin azaldığı yapılar		Diğer yapılar Tüm yük modelleri
	Üçgen yük modeli	Düzgün yayılı yük modeli	
1	1.00	1.00	1.00
2	1.20	1.15	1.20
3	1.20	1.20	1.30
5	1.30	1.20	1.40
10+	1.30	1.20	1.50

C_1 , tahmin edilen en büyük plastik yerdeğiştirmeyi, doğrusal çözümden elde edilen yerdeğiştirmelerle ilişkilendiren katsayıdır ve 6.17 veya 6.18 denklemleri ile hesaplanır.

$$C_1 = 1.0 \quad (T_e \geq T_0) \quad (6.17)$$

$$C_1 = [1.0 + (R-1) T_s / T_e] / R \quad (T_e < T_0) \quad (6.18)$$

C_2 , en büyük yerdeğiştirme etkisinde, çevrimlerin zayıflaması ile dayanım ve rıjilik azalmalarını temsil eden katsayı olup Tablo 6.16'te değişimi gösterilmiştir.

Tablo 6.16 C_2 katsayısı tablosu

Performans Seviyesi	$T \leq 0.1s$		$T \geq T_0$	
	Çerçeve tipi 1	Çerçeve tipi 2	Çerçeve tipi 1	Çerçeve tipi 2
Hemen kullanım performans seviyesi	1.0	1.0	1.0	1.0
Can güvenliği performans seviyesi	1.3	1.0	1.1	1.0
Toptan göçmenin önlənməsi perf.sev.	1.5	1.0	1.2	1.0

C_3 , ikinci mertebe etkilerini içeren katsayı

- akma sonrası pozitif eğimli davranış için 1.0
- akma sonrası negatif eğimli davranış için:

$$C_3 = 1.0 + \frac{|a|}{T_e} (R - 1)^{3/2} \quad (6.19)$$

R: Doğrusal dayanımın akma dayanımına oranını ifade eden katsayı

$$T_e = T_i \sqrt{\frac{K_i}{K_e}} \quad (6.20)$$

T_i : Doğrusal temel periyot

K_i : Doğrusal rijitlik

K_e : Sekant rijitliği (kesmede akmanın %60'ına karşı gelen rijitlik)

6.6 Performans Noktası

Talep spektrumu üzerinde bulunan talep yerdeğiştirme noktası, aynı zamanda kapasite spektrumu üzerinde de bulunmalıdır ve bu nokta Performans Noktası olarak isimlendirilir. Bu performans noktası; seçilen deprem etkisiyle yapıdan istenen sismik talebin, sismik kapasiteye eşit olduğu noktayı belirtir.

Performans noktası iki özelliği sağlamalıdır:

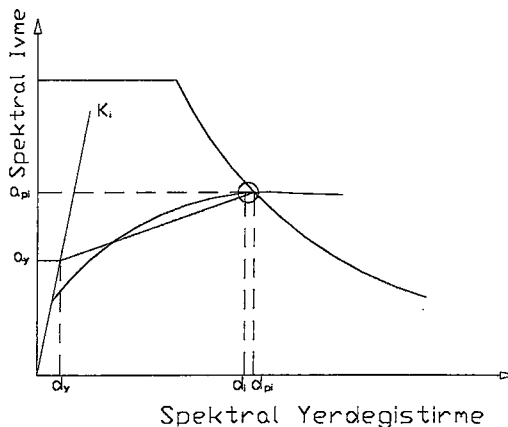
- Verilen yerdeğiştirme altında, yapıyı temsil etmesi için, kapasite spektrumu üzerinde bulunmalıdır.
- Verilen yerdeğiştirme altında, lineer olmayan talebi temsil etmesi için, talep spektrumu üzerinde bulunmalıdır.

Bu iki özelliğinde sağlanması iterasyon sayesinde gerçekleşir. Talep spektrumu bu aşamada bilinmemektedir. Bilinen, seçilen deprem etkisinin %5 sönümlü doğrusal ivme spektrumudur. Azaltma katsayıları ile bu spektrumun azaltılarak talep spektrumuna dönüştürülmesi gerekmektedir. Ancak azaltma katsayıları için sönümlün belirlenmesi, dolayısıyla performans noktasının koordinatlarının bilinmesi gereklidir. Bu koşullar altında seçilen nokta performans noktası olmayabilir ve iterasyon gerekebilir.

6.6.1 Kapasite ve Talep Spektrumlarının Kesişmesi

Kapasite spektrumunun ve talep spektrumunun kesişim noktası (d_i), seçilen performans noktasına (a_{pi} , d_{pi}) gerektiği kadar yakınsa, bu nokta (d_{pi}) performans noktası olarak kabul edilir. Bu sınır seçilen noktanın %5'i kadardır ($0.95d_{pi} \leq d_i \leq 1.05d_{pi}$). Performans noktası, talep deprem etkisi altında yapının yapabileceği maksimum yerdeğiştirmeydir. Eğer talep ve kapasite spektrumlarının kesişim noktası belirlenen sınırlar içinde değilse, yeni bir deneme noktası (a_{pi}, d_{pi})

seçilir ve işlem tekrarlanır. Şekil 6.14'te Kapasite ve Talep spektrumlarının kesişmesi gösterilmiştir.

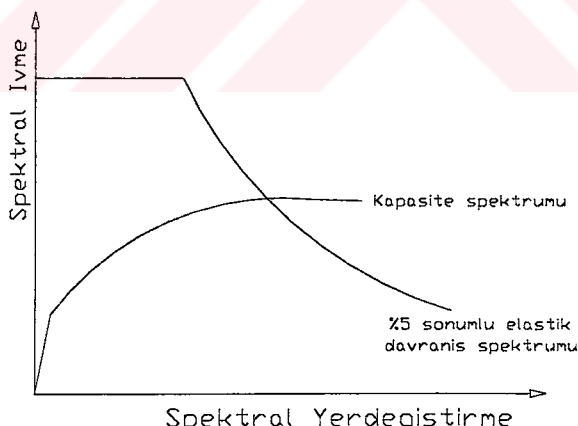


Şekil 6.14 Kapasite ve talep spektrumlarının kesişmesi

6.6.2 Performans Noktasının Bulunması

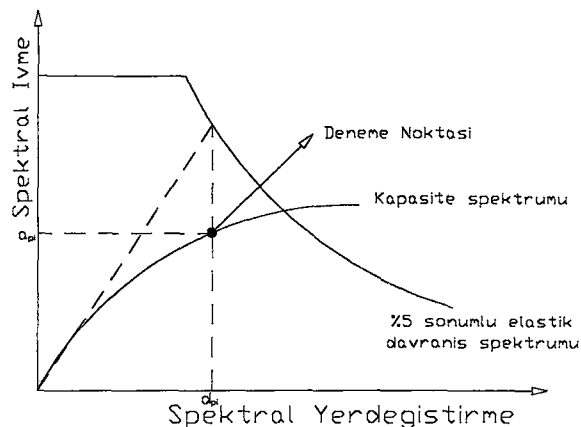
Performans Noktası'nın bulunması 7 aşamadan oluşur:

1. %5 sönümlü elastik davranış spektrumu oluşturulur.
2. Kapasite eğrisi, kapasite spektrumuna dönüştürülür. Kapasite spektrumu eğrisi, %5 sönümlü davranış spektrumu ile üst üste çizilir. Şekil 15'de Kapasite ve Talep spektrumlarının üst üste çizilmesi gösterilmiştir.



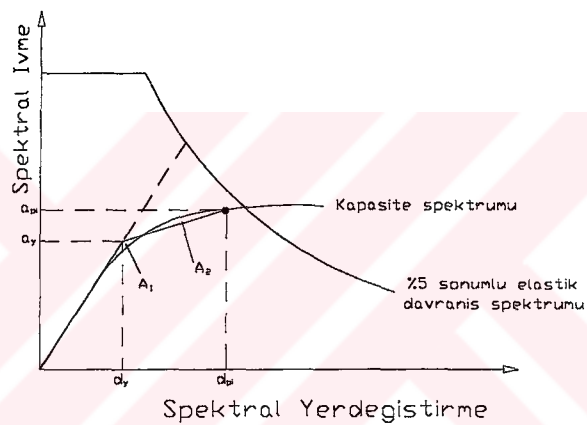
Şekil 6.15 Kapasite ve talep spektrumlarının üst üste çizilmesi

3. Performans noktası için ilk tahmin yapılır (a_{pi} , d_{pi}). Şekil 6.16 ilk tahmin noktasını göstermektedir.



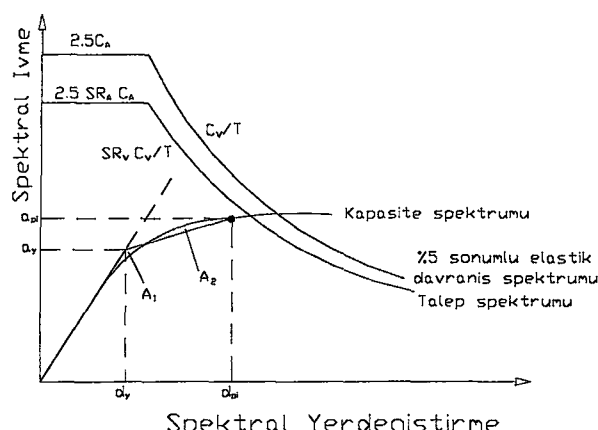
Şekil 6.16 Performans noktası için ilk tahmin

4. Kapasite spektrumu çift doğrusal duruma dönüştürülür. Şekil 6.17 kapasite spektrumunun çift doğrusal duruma dönüştürülmesini göstermektedir.



Şekil 6.17 Kapasite spektrumunun çift doğrusal duruma getirilmesi

5. Spektral azaltma katsayıları hesaplanır (SR_A ve SR_V). Talep spektrumu oluşturulur. Talep spektrumu ile kapasite spektrumu üst üste çizilir. Şekil 6.18 azaltılmış talep spektrumunun ve kapasite spektrumunun üst üste çizilmesini göstermektedir.



Şekil 6.18 Kapasite spektrumunun ve talep spektrumunun üst üste çizilmesi

6. Talep spektrumunun kapasite spektrumunu, seçilen noktada (a_{pi}, d_{pi}) veya kabul sınırları altında kesip kesmediği kontrol edilir.
7. Talep spektrumu kapasite spektrumunu belirtilen sınırlar altında kesmezse yeni bir deneme noktası (a_{pi}, d_{pi}) seçilir. İşlemler 4. adımdan itibaren tekrarlanır.

Talep spektrumu kapasite spektrumunu belirtilen sınırlar altında keserse, deneme noktası (a_{pi}, d_{pi}) performans noktasıdır (a_p, d_p) . Yerdeğştirme değeri (d_p) , talep deprem etkisi altında oluşabilecek maksimum yerdeğştirme değeridir.

Bulunan performans noktası taşıyıcı sistem kapasitesinin deprem etkilerine eşit olduğu noktayı tanımlar. Spektrum eğrisinin kapasite eğrisinin üstünde bulunduğu bölgede (performans noktasının sol tarafı) deprem kuvvetleri etkin durumdadır ve yapıyı yerdeğştirme yapmaya zorlar. Yapıda yerdeğistirmeler arttıkça hasar meydana gelir ve kesitlerin enerji yutma kapasiteleri artar. Enerji yutma kapasiteleri artan kesitlerin rijitlikleri ve esneklikleri azalır. Kesitlerin artan enerji yutma kapasiteleri spektrum eğrisi ile kesişerek performans noktasına ulaşır. Bu noktadaki değerler yapının hedeflenen performans değerleridir.

7 GÜÇLENDİRMEDE PERFORMANS METODU UYGULANMASI

Güçlendirme uygulamasında Performans Metodu uygulanabilmesi için ilk önce mevcut durumun tespit edilmesi gerekmektedir. Güçlendirme yapılacak yapı ile ilgili mevcut tüm veriler toplanmalı, eksik olan veriler temin edilmelidir. Gerekli veriler toplandıktan sonra yapı için performans amacı belirlenir ve çözümleme yapılır. Çözümleme sonucunda taşıyıcı sistem seçilen performans amacının kabul kriterlerine göre kontrol edilir.

7.1 Veri Toplanması ve Eksikliklerin Belirlenmesi

Mevcut yapılara güçlendirme gerekip gerekmediği, gerekli ise performans amacının belirlenebilmesi için yapı ile ilgili verilerin toplanması ve yapısal eksikliklerin belirlenmesi gereklidir. Belirlenen yapısal eksiklikler göz önünde bulundurularak, toplanan veriler ışığı altında güçlendirme projesi hazırlanır.

Betonarme çerçeve sistemlerde genel olarak görülen eksiklikler:

- Tamamlanmamış yük yörüngeleri
- Düşey düzensizlik durumları
- Yatay düzensizlik durumları
- Zayıf kolon/kuvvetli kiriş durumu

Betonarme çerçeve sistemlerde sünek olmayan davranış oluşturabilecek detay eksiklikleri ise:

- Kolon enine donatılarının miktar, çap ve aralıkları
- Dış bölgelerdeki kolon-kiriş birleşim bölgeleri enine donatıları
- Kritik kesitlerde kolon ve kiriş boyuna donatılarının yer ve uzunlukları
- Kolon-kiriş birleşimlerinde kiriş üst ve alt donatılarının sürekliliği
- Kirişlerde kesme donatısı olarak pliye kullanılması, yetersiz kesme donatısı
- Kiriş etriyelerinin kenetlenmesi ve kolon etriye uçlarının kolon kesitine 135^0 'lik açı ile saplanması

Yukarıda açıklanan eksikler söz konusu yapıda mevcutsa, hazırlanacak güçlendirme projesinde bu eksiklikler giderilmelidir.

Mevcut betonarme yapıların sismik hesabı verilerin toplanmasına bağlıdır. Veri toplama işlemi aşağıdaki aşamaları içerir:

- Uygun belgelerin elde edilmesi
- Saha gözlemleri
- Saha araştırmaları
- Malzeme testleri

Veri toplama işlemi yapıdan yapıya değişmektedir. Aynı zamanda çizimlerin elde edilmesine ve değerlendirme seviyesinin belirlenmesine bağlıdır. Değerlendirme, Ön Değerlendirme ve Detaylı Değerlendirme olarak ikiye ayrılabilir. Tablo 7.1'de Veri toplama matrisi belirtilmiştir.

Tablo 7.1 Veri toplama matrisi

Sismik Değerlendirme Seviyesi	Orijinal Çizimler Mevcut	Orijinal Çizimler Mevcut Değil
Ön Değerlendirme	TABLO 7.2	TABLO 7.3
Detaylı Değerlendirme	TABLO 7.4	TABLO 7.5

Tablo 7.1'de belirtilen Tablo 7.2, 7.3, 7.4 ve 7.5 aşağıda açıklanmaktadır.

Tablo 7.2 Orijinal çizimler mevcut ise ön değerlendirme için gerekli bilgiler

Madde	Gerekli		Yorum
	Evet	Hayır	
Yapısal hesaplar	X		Gerekli değil ancak yardımcı olur
Sismik ve geoteknik rapor	X		Yardımcı olur ancak yenilenmeli
Zemin raporu	X		Gerekli değil ancak yardımcı olur
Eski sismik rapor	X		Gerekli değil ancak yardımcı olur
Yapının teftişteki durumu	X		
Yapıdaki değişiklikler	X		
Yapı ötelenme durumu		X	Belirtilmeyen değişiklikler mevcutsa yardımcı olur
Yapısal olmayan elemanların ötelenme durumları	X		Göçme riskinin ve ağırlığın belirlenmesinde yardımcı olur
Karot testi	X		Beton, standartlara uygunsa
Schmidt çekici testi	X		Beton, standartlara uygunsa
Agrega testi	X		
Donatı testi	X		
Donatı yer durumları	X		Çizimler yeterli ise
Yapısal olmayan tespitler	X		

Tablo 7.3 Orijinal çizimler mevcut değilse ön değerlendirme için gerekli bilgiler

Madde	Gerekli		Yorum
	Evet	Hayır	
Yapısal hesaplar	X		Saha çalışmasını azaltır
Sismik ve geoteknik rapor	X		Saha çalışmasını azaltır
Zemin raporu	X		Saha çalışmasını azaltır
Eski sismik rapor	X		Saha çalışmasını azaltır
Yapının teftişteki durumu	X		
Yapıdaki değişiklikler	X		
Yapı ötelenme durumu	X		Birincil elemanların belirlenmesi için gerekli
Yapısal olmayan elemanların ötelenme durumları	X		Göçme riskinin ve ağırlığın belirlenmesinde yardımcı olur
Karot testi	X		Her kat için minimum 2, yapı için minimum 8 örnek
Schmidt çekici testi	X		Beton, standartlara uygun değilse yardımcı olur
Agrega testi	X		Birkaç örnek alımlı
Donatı testi	X		
Donatı yer durumları	X		Yardımcı olabilir
Yapısal olmayan tespitler	X		

Tablo 7.4 Orijinal çizimler mevcut ise detaylı değerlendirme için gerekli bilgiler

Madde	Gerekli		Yorum
	Evet	Hayır	
Yapısal hesaplar		X	Çok yardımcı olabilir
Sismik ve geoteknik rapor		X	Gerekli değil ancak yardımcı olur
Zemin raporu		X	Gerekli değil ancak yardımcı olur
Eski sismik rapor		X	Gerekli değil ancak yardımcı olur
Yapının teftişteki durumu	X		
Yapıdaki değişiklikler	X		
Yapı ötelenme durumu		X	Nokta kontrolü uygundur
Yapısal olmayan elemanların ötelenme durumları	X		Göçme riskinin ve ağırlığın belirlenmesinde yardımcı olur
Karot testi	X		Her kat için minimum 2, yapı için minimum 8 örnek
Schmidt çekici testi	X		Her kat için minimum 8, yapı için minimum 16 örnek
Agrega testi	X		Bütün örnekler için
Donatı testi		X	İsteğe bağlı
Donatı yer durumları	X		Bütün kritik kesitlerde
Yapısal olmayan tespitler	X		Yapı performansında etkin elemanların sabitlenme ve ankraj durumlarının kontrolü

Tablo 7.5 Orijinal çizimler mevcut değil ise detaylı değerlendirme için gerekli bilgiler

Madde	Gerekli		Yorum
	Evet	Hayır	
Yapısal hesaplar		X	Çok yardımcı olabilir
Sismik ve geoteknik rapor		X	Gerekli değil ancak yardımcı olur
Zemin raporu		X	Gerekli değil ancak yardımcı olur
Eski sismik rapor		X	Gerekli değil ancak yardımcı olur
Yapının teftişteki durumu	X		
Yapıdaki değişiklikler	X		
Yapı ötelenme durumu	X		Özellikle yapı güçlendirileceğse çok iyi yapılmalı
Yapısal olmayan elemanların ötelenme durumları	X		Göçme riskinin ve ağırlığın belirlenmesinde yardımcı olur
Karot testi	X		Her kat için minimum 2, yapı için minimum 8 örnek
Schmidt çekici testi	X		Her kat için minimum 8, yapı için minimum 16 örnek
Agrega testi	X		Bütün örnekler için
Donatı testi	X		Her tip için 2 adet
Donatı yer durumları	X		Bütün kritik elemanlarda
Yapısal olmayan tespitler	X		Yapı performansında etkin elemanların sabitlenme ve ankraj durumlarının kontrolü

Çizimlerin elde edilmesi saha çalışmasını kolaylaştırır ve yapı hakkında daha geniş bilgi edinilmesini sağlar. Orijinal mimari ve uygulama çizimlerinin elde edilmesi

maliyet hesabında etkili olur. Çizimlerin yanında aşağıdaki unsurlar da yardımcı olur:

- Yapısal hesaplamalar
- Sismik ve geoteknik raporlar
- Zemin raporları
- Yapının önceden bildirilen değeri

7.2 Performans Amacı Belirlenmesi

Güçlendirme yapılacak yapının kullanım amacı, yeri ve yapı sahibinin tercihi doğrultusunda yapıya uygulanacak performans amacı belirlenir. Seçilen performans amacı ekonomik olarak da uygulanabilir olmalıdır.

7.3 Çözümleme

Yapıya uygulanacak performans amacı belirlendikten sonra mevcut sistemin çözümlemesi yapılır. Yapılan hesaplamalar sonucunda yapıya uygulanacak güçlendirme yöntemi belirlenir ve yeni taşıyıcı sistem oluşturulur. Yeni taşıyıcı sistem tekrar çözümlenerek, seçilen performans amacı kabul kriterlerini sağlayıp sağlamadığı kontrol edilir.

Güçlendirmede değiştirilecek kesitler belirlendikten sonra, güçlendirilmiş sistem çözümlenir. Çözümleme sonucunda bulunan kapasite eğrisi talep ile karşılaştırılır. Kapasite spektrumu belirlenen talep spektrumu ile kesişmiyorsa, yapılan güçlendirme yetersiz durumdadır. Kesitler gözden geçirilmeli, gerekli ise daha fazla kesit güçlendirilmelidir.

Çözümleme sonucunda kapasite spektrumu ve talep spektrumları kesişiyor fakat performans noktasında hasar durumu kabul edilemez ise, kesitler tekrar gözden geçirilmeli ve güçlendirilmelidir.

8 KABUL KRİTERLERİ

Yapının belirlenen performans amacını karşılayıp karşılamadığı, doğrusal olmayan analiz sonucu elde edilen değerlerin ilgili performans seviyesi limit değerleri ile karşılaştırılarak belirlenir. ATC40'ta tavsiye edilen kabul kriterleri iki kategoride incelenir: Genel Yapı Kabul Kriterleri ile Sistem ve Eleman Kabul Kriterleri.

8.1 Genel Yapı Kabul Kriterleri

Bu kriterler; düşey ve yatay yük taşıyabilme ile yatay yerdeğiştirmelerle ilgili sınırları tanımlar.

8.1.1 Düşey Yükler

Yapının düşey yük taşıma kapasitesi, bütün performans seviyeleri için eksiksiz sağlanmalıdır. Yapının sistemlerinden veya elemanlarından düşey yük taşıma kapasitesini yitirenler olursa; yapı, bu yükleri diğer eleman ve sistemlere dağıtabilmelidir.

8.1.2 Yatay Yükler

Önemli sayıda yapı elemanı dayanımını kaybederse, yapının yatay yük taşıma kapasitesi etkilenebilir. İkinci mertebe etkilerini de içeren yapının yatay yük taşıma kapasitesi, maksimum kapasitesinin %80'inden az olmaması tavsiye edilir.

8.1.3 Yerdeğiştirmeler

Performans noktasını tanımlayan yerdeğiştirme limit değerlerinin belirlenmesidir.

Tablo 8.1 Şekil değerlendirme sınır değerleri

Katlar Arası Yerdeğiştirme Sınırları	Performans Seviyeleri			
	Hemen Kullanım	Hasar Kontrolü	Can Güvenliği	Toptan Göçme
Maksimum Toplam Yerdeğiştirme Oranı	0.01	0.01-0.02	0.02	$0.33V_i/P_i$
Maksimum Elastik Ötesi Yerdeğiştirme Oranı	0.005	0.005-0.015	sınır yok	sınır yok

Tablo 8.1, değişik performans seviyeleri için yerdeğiştirme sınır değerleri oranını belirtmektedir. Maksimum toplam yerdeğiştirme, performans noktasında katlar arası rölatif yerdeğiştirme değerleridir. Maksimum elastik olmayan yerdeğiştirme, etkili akma noktası ötesindeki maksimum toplam yerdeğiştirmenin bir parçasıdır. Toptan Göçmenin Önlenmesi Performans Seviyesi için, performans noktasında herhangi bir kattaki maksimum toplam yerdeğiştirme $0.33V_i/P_i$ değerini geçemez. İkinci mertebe etkilerinin ve taşıyıcı olmayan elemanlarda hasarın sınırlandırılması amaçlanmaktadır. V_i , kattaki toplam kayma kuvveti ve P_i , toplam düşey yükü belirtmektedir. Performans seviyesi düştükçe yerdeğiştirme sınır değerleri de artmaktadır.

8.2 Sistem ve Eleman Kabul Kriterleri

Bütün sistem, her elemanın performans noktasının kuvvet ve yerdeğiştirmelerini kabul kriterleri sınırlarında karşıladığı, kontrol edilmelidir. Bunun için sistemler ve elemanlar birincil ve ikincil olarak sınıflandırılır.

- Birincil ve ikincil Sistem ve Elemanlar

Bütün sistem ve elemanlar, yatay yük taşımadaki önemlerine göre, birincil ve ikincil olarak sınıflandırılırlar. Performans noktasında, yapının dayanımının veya yatay rıjitliğinin önemli bir kısmını oluşturan sistem veya elemanlar birincil olarak isimlendirilir. Diğer sistem ve elemanlar ikincil olarak isimlendirilir.

- Eleman Dayanımları

Performans noktasındaki talep dayanımları, belirlenen dayanım değerlerini aşmaması gereklidir. Yerdeğiştirme kontrollü (sünek) durumda, elastik sınır ötesi davranış, yerdeğiştirme sınır değerleri aşılımadığı sürece kabul edilebilir.

- Eleman Şekil Değiştirme Kapasitesi

Hesaplanan eleman şekil değiştirmelerinin, belirlenen performans seviyesinin şekil değiştirme sınır değerlerini geçmesine izin verilmez.

8.3 Betonarme Çerçeve Sistem Kabul Kriterleri

Bu bölümde kiriş-kolon çerçeve sistemler ele alınacaktır. Kabul kriterleri; kirişlerin, kolonların ve kolon-kiriş birleşimlerinin, dayanım ve şekil değiştirme kapasitelerini içerir. Aşağıdaki koşullar sağlanmalıdır:

1. Kirişlerle kolonların eksenel ve eğilme kabul kriterleri sağlanmalıdır. Ayrıca elastik sınır ötesi dayanım ve dönмелere hesaplanması gereklidir.
2. Kiriş ve kolonların, elemanlarında ve donatı düzeninin değiştiği açıklık bölgelerinde, kesme dayanımları hesaplanması gereklidir.
3. Kolon-kiriş birleşim noktalarında kuvvet dengesi hesaplanması gereklidir.
4. Kolonlarda, kirişlerde ve birleşim bölgelerinde donatı detay yeterliliği incelenmelidir.
5. Kolonların, kirişlerin ve kolon-kiriş birleşimlerinin göçmesinin neden olacağı düşey yük taşıma kapasitesi kayıpları incelenmelidir.

Aşağıda açıklanan Tablo 8.2, 8.3, 8.4, 8.5 ve 8.6 yapı elemanları için kabul kriter değerlerini belirlemektedir.

Tablo 8.2 Kırışlar için plastik mafsal dönmeleri kabul kriteri tablosu (rad)

Eleman Tipi	Performans Seviyesi					
	Birincil			İkincil		
	IO	LS	SS	LS	SS	

1.Eğilme kontrollü kırışlar

$\frac{\rho - \rho'}{\rho_{bal}}$	Sarıgı Donatısı	$\frac{V}{b_w \cdot d \cdot \sqrt{f_c'}}$					
≤ 0.0	Uygun	≤ 0.25	0.005	0.020	0.025	0.020	0.050
≤ 0.0	Uygun	≥ 0.50	0.005	0.010	0.020	0.020	0.040
≥ 0.5	Uygun	≤ 0.25	0.005	0.010	0.020	0.020	0.030
≥ 0.5	Uygun	≥ 0.50	0.005	0.005	0.015	0.015	0.020
≤ 0.0	Uygun Değil	≤ 0.25	0.005	0.010	0.020	0.020	0.030
≤ 0.0	Uygun Değil	≥ 0.50	0.000	0.005	0.010	0.010	0.015
≥ 0.5	Uygun Değil	≤ 0.25	0.005	0.010	0.010	0.010	0.015
≥ 0.5	Uygun Değil	≥ 0.50	0.000	0.005	0.005	0.005	0.010

2.Kesme kontrollü kırışlar

etriye aralığı $\leq d/2$	0.000	0.000	0.000	0.010	0.020
etriye aralığı $> d/2$	0.000	0.000	0.000	0.005	0.010

3.Açıklıklarında yetersiz bağlantı bulunan kırışlar

etriye aralığı $\leq d/2$	0.000	0.000	0.000	0.010	0.020
etriye aralığı $> d/2$	0.000	0.000	0.000	0.005	0.010

4.Kırış kolon birleşimleri yetersiz kırışlar

	0.010	0.010	0.015	0.020	0.030
--	-------	-------	-------	-------	-------

“Uygun” olarak belirtilen etriye koşulları aşağıda belirtilmiştir:

1. etriye aralığı $\leq d/3$
2. etriye kesme kapasitesi tasarım kesme kuvvetinin en az $3/4$ 'ü ise.

Bu koşulları sağlamayan elemanlar “uygun değil” olarak tanımlanmalıdır.

Tablo 8.3 Kolonlar için plastik mafsal dönmeleri kabul kriteri tablosu

Eleman Tipi	Performans Seviyesi				
	Birincil			İkincil	
	IO	LS	SS	LS	SS

1.Eğilme kontrollü kolonlar

$\frac{P}{A_g \cdot f_c}$	Sarıgı Donatısı	$\frac{V}{b_w \cdot d \cdot \sqrt{f_c'}}$					
≤ 0.1	Uygun	≤ 0.25	0.005	0.010	0.020	0.015	0.030
≤ 0.1	Uygun	≥ 0.50	0.005	0.010	0.015	0.010	0.025
≥ 0.4	Uygun	≤ 0.25	0.000	0.005	0.015	0.010	0.025
≥ 0.4	Uygun	≥ 0.50	0.000	0.005	0.010	0.010	0.015
≤ 0.1	Uygun Değil	≤ 0.25	0.005	0.005	0.010	0.005	0.015
≤ 0.1	Uygun Değil	≥ 0.50	0.005	0.005	0.005	0.005	0.005
≥ 0.4	Uygun Değil	≤ 0.25	0.000	0.000	0.005	0.000	0.005
≥ 0.4	Uygun Değil	≥ 0.50	0.000	0.000	0.000	0.000	0.000

2.Kesme kontrollü kolonlar

Etriye aralığı $> d/2$ veya $\frac{P}{A_g \cdot f_c} \leq 0.1$	0.000	0.000	0.000	0.010	0.015
diger durumlar	0.000	0.000	0.000	0.000	0.000

3.Yüksekliği boyunca yetersiz bağlantı bulunan kırıslar

Etriye aralığı $\leq d/2$	0.000	0.000	0.000	0.010	0.020
Etriye aralığı $> d/2$	0.000	0.000	0.000	0.005	0.010

4.Eksenel yükü $0.70P_0$ değerini aşan kolonlar

kolon boyunca uygun donatılı kolonlar	0.000	0.000	0.005	0.005	0.010
diger durumlar	0.000	0.000	0.000	0.000	0.000

“Uygun” olarak belirtilen etriye koşulları aşağıda belirtilmiştir:

1. etriye aralığı $\leq d/3$
2. etriye kesme kapasitesi tasarım kesme kuvvetinin en az $\frac{3}{4}$ 'ü ise.

Bu koşulları sağlamayan elemanlar “uygun değil” olarak tanımlanmalıdır.

Tablo 8.4 Düğüm noktaları için toplam kayma açısı kabul kriteri tablosu (rad)

Eleman Tipi	Performans Seviyesi					
	Birincil			İkincil		
	IO	LS	SS	LS	SS	

1. İç düğüm noktaları

$\frac{P}{A_g \cdot f_c}$	Sarıgı Donatısı	$\frac{V}{V_n}$					
≤ 0.1	Uygun	≤ 1.2	0.000	0.000	0.000	0.020	0.030
≤ 0.1	Uygun	≥ 1.5	0.000	0.000	0.000	0.015	0.020
≥ 0.4	Uygun	≤ 1.2	0.000	0.000	0.000	0.015	0.025
≥ 0.4	Uygun	≥ 1.5	0.000	0.000	0.000	0.015	0.020
≤ 0.1	Uygun Değil	≤ 1.2	0.000	0.000	0.000	0.015	0.020
≤ 0.1	Uygun Değil	≥ 1.5	0.000	0.000	0.000	0.010	0.015
≥ 0.4	Uygun Değil	≤ 1.2	0.000	0.000	0.000	0.010	0.015
≥ 0.4	Uygun Değil	≥ 1.5	0.000	0.000	0.000	0.010	0.015

2. Diğer düğüm noktaları

$\frac{P}{A_g \cdot f_c}$	Sarıgı Donatısı	$\frac{V}{V_n}$					
≤ 0.1	Uygun	≤ 1.2	0.000	0.000	0.000	0.015	0.020
≤ 0.1	Uygun	≥ 1.5	0.000	0.000	0.000	0.010	0.015
≥ 0.4	Uygun	≤ 1.2	0.000	0.000	0.000	0.015	0.020
≥ 0.4	Uygun	≥ 1.5	0.000	0.000	0.000	0.010	0.015
≤ 0.1	Uygun Değil	≤ 1.2	0.000	0.000	0.000	0.005	0.010
≤ 0.1	Uygun Değil	≥ 1.5	0.000	0.000	0.000	0.005	0.010
≥ 0.4	Uygun Değil	≤ 1.2	0.000	0.000	0.000	0.000	0.000
≥ 0.4	Uygun Değil	≥ 1.5	0.000	0.000	0.000	0.000	0.000

“Uygun” olarak belirtilen etriye koşulları aşağıda belirtilmiştir:

1. etriye aralığı $\leq d/3$
2. etriye kesme kapasitesi tasarım kesme kuvvetinin en az $3/4$ 'ü ise.

Bu koşulları sağlamayan elemanlar “uygun değil” olarak tanımlanmalıdır.

Tablo 8.5 Döşemeler için plastik mafsal dönмелere kabul kriteri tablosu (rad)

Eleman Tipi	Performans Seviyesi					
	Birincil			İkincil		
	IO	LS	SS	LS	SS	

1.Eğilme kontrollü döşemeler ve döşeme-kolon birleşimleri

$\frac{V_g}{V_0}$	Donatı Süreklliliği					
≤ 0.2	Sürekli	0.010	0.015	0.020	0.030	0.050
≥ 0.4	Sürekli	0.000	0.000	0.000	0.030	0.040
≤ 0.2	Sürekli Değil	0.010	0.015	0.020	0.015	0.020
≥ 0.4	Sürekli Değil	0.000	0.000	0.000	0.000	0.000

2.Açıklıkları boyunca yeterli bağlantısı bulunmayan döşemeler

	0.000	0.000	0.000	0.010	0.020
--	-------	-------	-------	-------	-------

3.Kolon birleşimleri yetersiz döşemeler

	0.010	0.010	0.015	0.020	0.030
--	-------	-------	-------	-------	-------

Tablo 8.6 Perdeler için plastik mafsal dönмелere kabul kriteri tablosu (rad)

Eleman Tipi	Performans Seviyesi					
	Birincil			İkincil		
	IO	LS	SS	LS	SS	

1.Eğilme kontrollü perdeler

$\frac{(A_s - A'_s) \cdot f_y + P}{t_w \cdot l_w \cdot f_c}$	$\frac{V}{t_w \cdot l_w \cdot \sqrt{f_c'}}$	Perde Uç Donatısı					
≤ 0.10	≤ 0.25	Uygun	0.005	0.010	0.015	0.015	0.020
≤ 0.10	≥ 0.50	Uygun	0.004	0.008	0.010	0.010	0.015
≥ 0.25	≤ 0.25	Uygun	0.003	0.006	0.009	0.009	0.012
≥ 0.25	≥ 0.50	Uygun	0.001	0.003	0.005	0.005	0.010
≤ 0.10	≤ 0.25	Uygun Değil	0.002	0.004	0.008	0.008	0.015
≤ 0.10	≥ 0.50	Uygun Değil	0.002	0.004	0.006	0.006	0.010
≥ 0.25	≤ 0.25	Uygun Değil	0.001	0.002	0.003	0.003	0.005
≥ 0.25	≥ 0.50	Uygun Değil	0.001	0.001	0.002	0.002	0.004

Genel olarak birincil elemanlarda sınır değerler, ikincil elemanlara göre daha katıdır. Taşıyıcı olan elemanlarda, taşıyıcı olmayan elemanlara göre daha düşük sınır değerleri verilmektedir. Ayrıca sargı donatısı uygun kesitlerde, sargı donatısı uygun olmayan kesitlere göre daha esnek sınır koşulları belirlenmiştir. Sargı donatısı uygun

olan kesitlerin daha sünek davranışlarından dolayı daha büyük sınır değerleri verilmiştir. Tablolardaki diğer değerlendirme unsuru da kesme kuvvetine ilişkindir. Kesitlerin kayma güç tükenmesini engellemek amacı ile amprik bir formüle dayanan sınır koşulları tanımlanmıştır. Tanımları gereği performans seviyeleri de ilerledikçe (IO, LS, SS) sınır değerler de artmaktadır. Genel olarak bütün sınır değerleri ikinci mertebe etkilerinin sınırlandırılmasını amaçlamaktadır.



9 ÖRNEK UYGULAMALAR

Örnek uygulamada düzgün bir betonarme çerçeve sistem üzerinde doğrusal olmayan statik itme analizi yapılacak ve sonuçları açıklanacaktır. Sistemin analizinde ve metodun uygulanmasında SAP2000 (Structural Analysis Program) [11] programının doğrusal olmayan hesap içeren versiyonundan ve XTRACT (Cross Sectional Analysis Program For Structural Engineers) [12] programından yararlanılmıştır.

Tanımlanacak çerçeve sistem üzerinde üç farklı karşılaştırma yapılacaktır. Birinci karşılaştırma kesitlerdeki sargı donatısının sistem üzerindeki etkisini, ikinci karşılaştırma beton kalitesinin sistem üzerindeki etkisini ve üçüncü karşılaştırma seçilen tipik malzemelerin sistem üzerindeki etkisini inceleyecektir. Tablo 9.1'de uygulamaların detayları verilmiştir.

9.1 Sistemin Tanımlanması

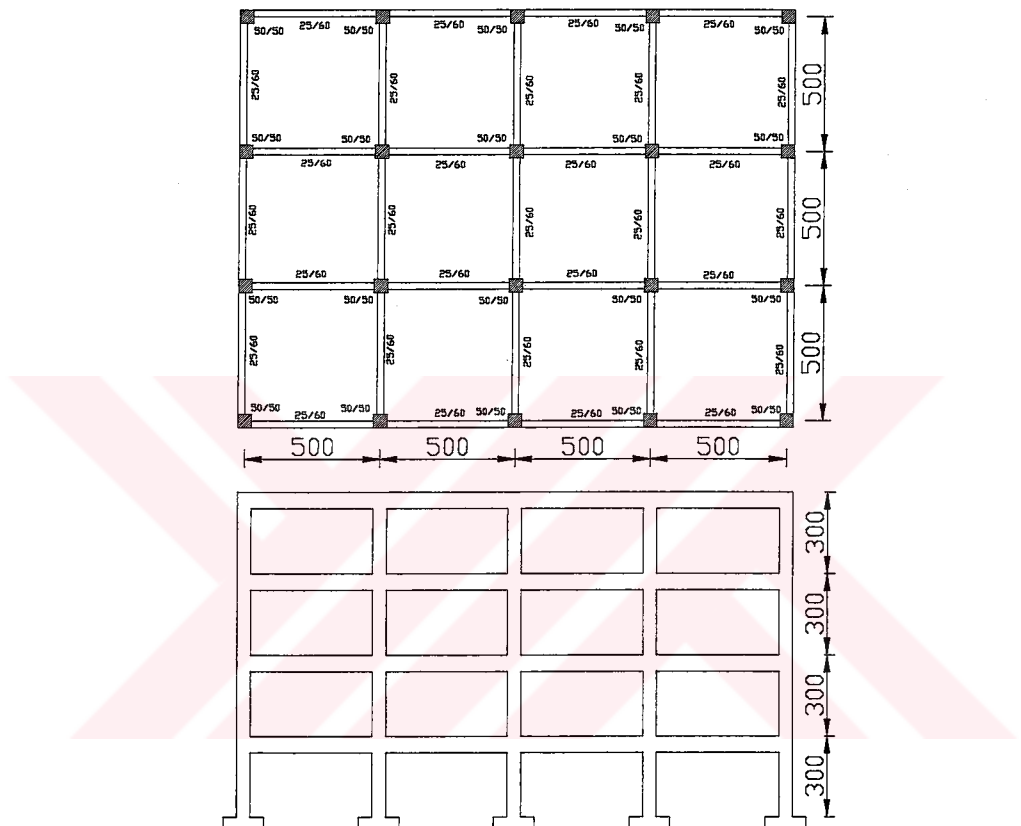
Sistem bir doğrultuda dört, diğer doğrultuda üç açıklıktan oluşan, perde elemanlarının bulunmadığı düzgün çerçeve sistemdir. Açıklıklar her iki doğrultuda da 5m'dir. Dört kattan oluşan yapının kat yükseklikleri 3m'dir. Uygulama için 3 boyutlu model seçilirken doğrusal olmayan statik itme analizinin uygulanabileceği ve yorumlanabilir sonuçlar verebilecek düzgün, perde elemanlarının bulunmadığı bir sistem tercih edilmiştir, Şekil 9.1.

Sistemin malzeme kaliteleri ve sargı durumu her uygulama için farklıdır. Kolon boyutları 500/500 mm/mm olup tüm sistemde aynıdır. Kiriş boyutları da tüm sistem için aynı olup 250/600 mm/mm boyutlarındadır.

Kolon ve kirişler için tipik donatı durumları belirlenmiştir. Kolonlar için 8Φ16 donatı miktarı olarak seçilmiştir. Kirişlerde tanımlanacak mafsallar mesnet bölgelerinde oldukları için bu bölgelerde kesitin çekme kısmında 4Φ16 ve basınç kısmında 3Φ12 donatı miktarı olarak seçilmiştir.

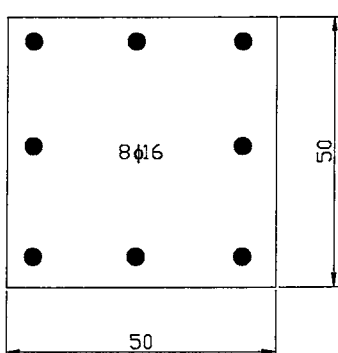
Tablo 9.1 Uygulama detay tablosu

	3D MODEL	BETON	DONATI ÇELİĞİ	SARGI DONATISI
UYGULAMA1	a) cBS20 b) ucBS20	C20	S420	a) s=100mm b) s=200mm
UYGULAMA2	a) cBS25 b) cBS18 c) cBS14	a) C25 b) C18 c) C14	S420	s=100mm
UYGULAMA3	a) cBS20StIII b) ucBS14StI	a) C20 b) C14	a) S420 b) S220	a) s=100mm b) s=200mm

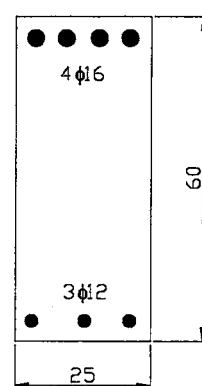


Şekil 9.1 Uygulamalarda kullanılan sistemin plan ve kesiti

TİPİK KOLON KESİTİ



TİPİK KİRİŞ KESİTİ



Şekil 9.2 Kolon ve kiriş mesnet kesitleri

9.2 Mafsalların Tanımlanması

Doğrusal olmayan statik itme analizi uygulamasının en önemli kısmı, kesitlere atanacak mafsal özelliklerinin belirlenmesidir. SAP2000 programında üç tür mafsal mevcuttur. Bunlar programın tanımladığı (default), kullanıcının tanımladığı (user defined) ve programın kullanıcının tanımlamalarına göre geliştirdiği (generated) mafsallardır. Programın standart moment-eğrilik bağıntılarını kullanmak uygun olmayabilir ve uygulamalarda kullanıcının tanımladığı özel mafsallar kullanılmıştır.

Sistem elemanlarına atanacak mafsallar, kolon ve kiriş kesitleri için farklı seçilmelidir. SAP2000 programında tanımlanan mafsallar bu kesitlere atanır. Bu mafsallar programda M3, V2, P ve PMM mafsalları olarak tanımlıdır. Bunlar;

M3:moment

V2:kesme kuvveti

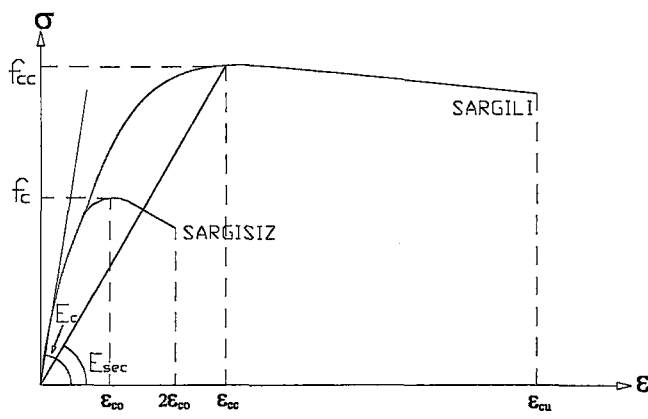
P:normal kuvvet

PMM:normal kuvvet ve iki yönde moment

kontrollü mafsallardır. Kolon kesitlerinde PMM, kiriş kesitlerinde M3 mafsalları kullanılmıştır. Bunun nedeni kiriş kesitlerinde normal kuvvet etkisinin, kolon kesitlerine göre çok daha düşük olmasıdır.

9.2.1 Moment-Dönme Bağıntıları

Mafsalların tanımlanmasında kesitlere ait moment-dönme bağıntılarına gereksinim duyulmaktadır. Kesitlerin moment-dönme bağıntıları için XTRACT programının 2.6.2 versiyonu kullanılmıştır. XTRACT programı, sonlu elemanlar metodu ile, ilgili kesitlerin moment-eğrilik bağıntılarını vermektedir. Gerekli kesitler bu programda tanımlanarak moment-eğrilik bağıntıları elde edilir. Ayrıca XTRACT programından kesit moment-eğrilik bağıntılarının çift doğrusal hale dönüştürülmüş durumları da temin edilmektedir. Program sargılı beton davranışını için Mander modelini göz önünde bulundurmaktadır.



Şekil 9.3 Sargılı ve sargsız beton Mander modeli

Şekil 9.3 Mander modeline göre sargılı ve sargsız beton davranışını göstermektedir. f'_c ve ε_{cc} en büyük beton gerilme ve şekil değiştirmeleri olmak üzere,

$$f_c = \frac{f'_c \cdot x \cdot r}{r - 1 + x} \quad (9.1)$$

$$f'_c = f_c \left(2.254 \sqrt{1 + \frac{7.94 f'_l}{f'_c}} - \frac{2 f'_l}{f'_c} - 1.254 \right) \quad (9.2)$$

$$x = \frac{\varepsilon_c}{\varepsilon_{cc}} \quad (9.3)$$

$$\varepsilon_{cc} = 0.002 \left[1 + 5 \left(\frac{f'_c}{f'_c} - 1 \right) \right] \quad (9.4)$$

$$r = \frac{E_c}{E_c - E_{sec}} \quad (9.5)$$

$$E_c = 5000 \sqrt{f'_c} \quad (9.6)$$

$$E_{sec} = \frac{f'_c}{\varepsilon_{cc}} \quad (9.7)$$

Denklemelerde kullanılan f'_l ' etkili yanal sargı basıncı ve sıfır alınması durumunda sargsız beton için formüller değiştirilmiş olur.

XTRACT programından ilgili kesitin akma ve sınır durum eğriliği ile akma ve sınır durum moment değerleri alınır. Bu değerler ile ATC40 Bölüm 9'da tavsiye edilen değerler birleştirilerek kesitin moment-dönme bağıntısı tanımlanır.

Elde edilen akma eğriliği plastik mafsal boyu ile çarpılarak akma dönmesi bulunur. Akma dönmesine ATC40'tan a ve b değerleri eklenerek sınır dönme değerleri elde edilir.

Tablo 9.2 Kirişler için modelleme parametreleri

Eleman Tipi	Modelleme Parametreleri		
	Plastik Dönme, rad		Son Dayanım Oranı
	a	b	c

1. Eğilme kontrollü kirişler

$\frac{\rho - \rho'}{\rho_{bal}}$	Sarıgı Donatısı	$\frac{V}{b_w \cdot d \cdot \sqrt{f_c'}}$			
≤ 0.0	Uygun	≤ 0.25	0.025	0.050	0.200
≤ 0.0	Uygun	≥ 0.50	0.020	0.040	0.200
≥ 0.5	Uygun	≤ 0.25	0.020	0.030	0.200
≥ 0.5	Uygun	≥ 0.50	0.015	0.020	0.200
≤ 0.0	Uygun Değil	≤ 0.25	0.020	0.030	0.200
≤ 0.0	Uygun Değil	≥ 0.50	0.010	0.015	0.200
≥ 0.5	Uygun Değil	≤ 0.25	0.010	0.015	0.200
≥ 0.5	Uygun Değil	≥ 0.50	0.005	0.010	0.200

2. Kesme kontrollü kirişler

etriye aralığı $\leq d/2$	0.000	0.020	0.200
etriye aralığı $> d/2$	0.000	0.010	0.200

3. Açıklıklarında yetersiz bağlantı bulunan kirişler

etriye aralığı $\leq d/2$	0.000	0.020	0.000
etriye aralığı $> d/2$	0.000	0.010	0.000

4. Kiriş kolon birleşimleri yetersiz kirişler

	0.015	0.030	0.200
--	-------	-------	-------

“Uygun” olarak belirtilen etriye koşulları aşağıda belirtilmiştir:

1. etriye aralığı $\leq d/3$
2. etriye kesme kapasitesi tasarım kesme kuvvetinin en az $\frac{3}{4}$ 'ü ise.

Bu koşulları sağlamayan elemanlar “uygun değil” olarak tanımlanmalıdır.

Tablo 9.3 Kolonlar için modelleme parametreleri

Eleman Tipi	Modelleme Parametreleri		
	Plastik Dönme, rad		Son Dayanım Oranı
	a	b	c

1. Eğilme kontrollü kolonlar

$\frac{P}{A_g \cdot f_c}$	Sağı Donatısı	V $b_w \cdot d \cdot \sqrt{f_c'}$			
≤ 0.1	Uygun	≤ 0.25	0.020	0.030	0.200
≤ 0.1	Uygun	≥ 0.50	0.015	0.025	0.200
≥ 0.4	Uygun	≤ 0.25	0.015	0.025	0.200
≥ 0.4	Uygun	≥ 0.50	0.010	0.015	0.200
≤ 0.1	Uygun Değil	≤ 0.25	0.010	0.015	0.200
≤ 0.1	Uygun Değil	≥ 0.50	0.005	0.005	-
≥ 0.4	Uygun Değil	≤ 0.25	0.005	0.005	-
≥ 0.4	Uygun Değil	≥ 0.50	0.000	0.000	-

2. Kesme kontrollü kolonlar

Etriye aralığı $> d/2$ $\frac{P}{A_g \cdot f_c} \leq 0.1$ veya diger durumlar	0.000	0.015	0.200
	0.000	0.000	0.000

3. Yüksekliği boyunca yetersiz bağlantı bulunan kolonlar

Etriye aralığı $\leq d/2$	0.010	0.020	0.400
Etriye aralığı $> d/2$	0.000	0.010	0.200

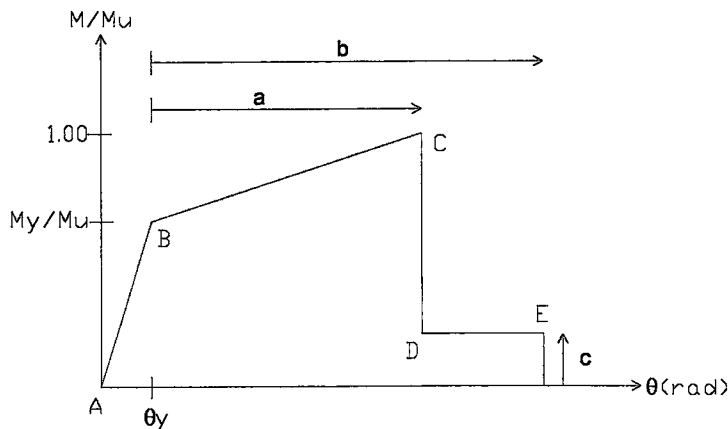
4. Eksenel yükü $0.70P_0$ değerini aşan kolonlar

kolon boyunca uygun donatılı kolonlar	0.015	0.025	0.020
diger durumlar	0.000	0.000	0.000

“Uygun” olarak belirtilen etriye koşulları aşağıda belirtilmiştir:

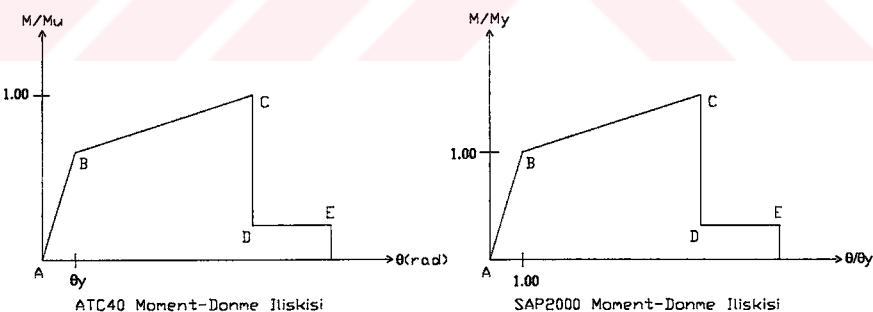
1. etriye aralığı $\leq d/3$
2. etriye kesme kapasitesi tasarım kesme kuvvetinin en az $\frac{3}{4}$ 'ü ise.

Bu koşulları sağlamayan elemanlar “uygun değil” olarak tanımlanmalıdır.



Şekil 9.4 ATC40 Moment-Dönme ilişkisi

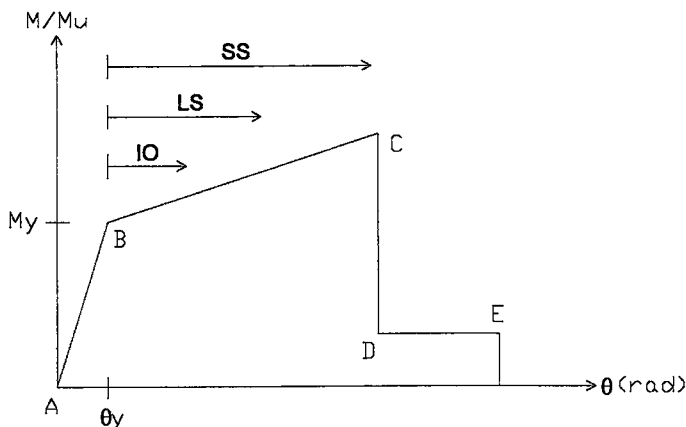
ATC40'ta tavsiye edilen moment-dönme bağıntısının eksen takımı SAP2000'de verilen eksen takımı ile farklıdır. ATC40'ta verilen değerlerin kullanılması halinde elde edilen eksen takımının düşey ekseni sınır durum momenti ile normalleştirilmiştir (M/M_u). Yatay eksen de ise radyan olarak dönme değerleri verilmektedir. SAP2000 programında ise eksen takımları bazı farklar mevcuttur. SAP2000 programında yatay ve düşey eksen takımları akma değerleri ile normalleştirilerek verilmektedir (M/M_y ve θ/θ_y). ATC40'tan elde edilen moment-dönme bağıntısı SAP2000 formuna çevrilmelidir.



Şekil 9.5 ATC40 ve SAP2000 Moment-Dönme ilişkileri

9.2.2 Sınır Değerler

Tanımlanan moment-dönme bağıntılarından sonra sınır değerlerin de tanımlanması gerekmektedir. Bu değerler için ATC40 Bölüm 11'de verilen değerler kullanılabilir. Bu sınır değerler ilgili kesitlerin hangi değerlerde hangi performans bölgesinde bulunmasını tanımlamaktadır. İlgili tablo değerleri radyan cinsinden olup akma değerleri üzerine eklenerek tanımlanmalıdır.



Şekil 9.6 ATC40 sınır koşulları

Ancak burada da ATC40 ile SAP2000 programının eksen takımlarının farklı oldukları ve bulunan değerlerin SAP2000 için akma değeri ile normalleştirilmesi gerektiği unutulmamalıdır.

9.3 Çözümleme Kombinasyonlarının Tanımlanması

İlgili kesitlere mafsallar atandıktan sonra sisteme doğrusal olmayan statik çözümleme için yükler tanımlanmalıdır (pushover load cases). Bu çözümleme metodunda sistemde düşey yükler tanımlı iken yatay yük kombinasyonları tanımlanır ve bunlar artırılarak mekanizma durumu hedeflenir. Düşey yükler mevcut iken yatay yükler dört değişik durumda tanımlanabilir:

1. her düğüm noktasına, kendi kütlesi ile orantılı ivme tanımlayarak
2. belirli bir mod şeclinin kütle dağılımı ile açısal frekansın karesinin çarpımı ile
3. statik yükleme tanımlayarak
4. yukarıdaki üç yöntemin kombinasyonları ile.

Uygulamalarda PUSH1 olarak tanımlanan yük modeli düşey yükleri temsil etmektedir. PUSH2, 1. mod şecline göre tanımlanmış yatay yükleme modelidir. PUSH3 ise yine 1. mod şecline göre tanımlanmış ancak PUSH2'den elde edilen performans noktasına kadar itilmiş yükleme modelidir. Bunun nedeni, performans noktasına kadar olan süreçte ara kademelerde neler olduğunun belirlenmesidir. Tüm yüklemelerde yapının en üst noktası kontrol noktası olarak belirlenmelidir.

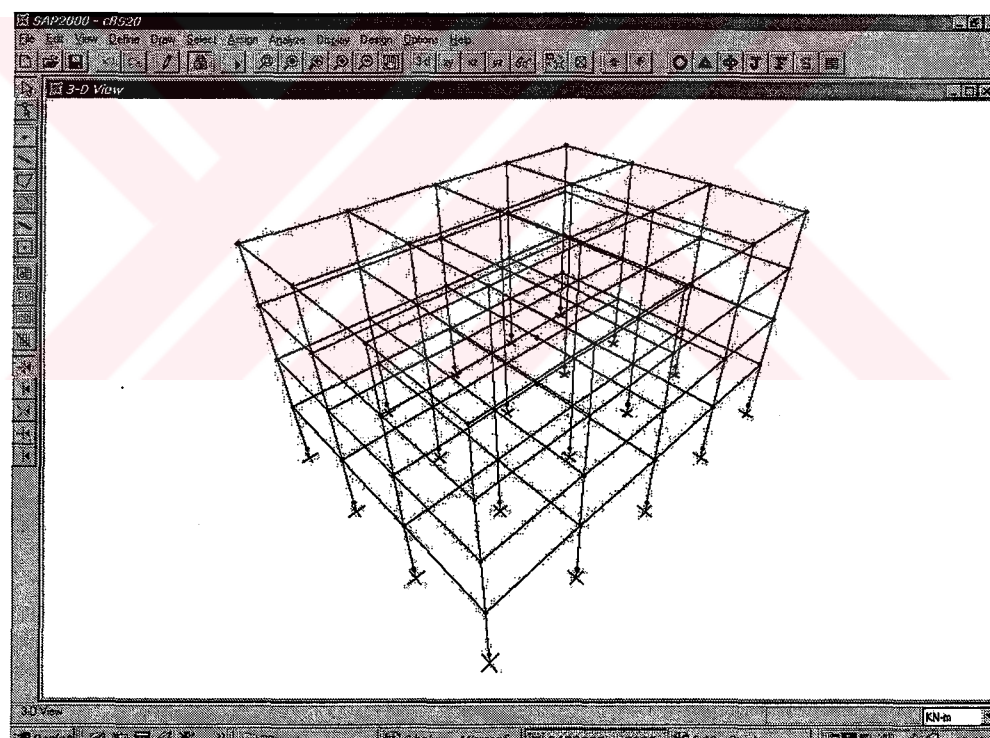
9.3.1 Çözümleme

Kesitler, mafsallar ve yükler tanımlandıktan sonra çözümleme işlemine geçilir. İlgili çözümleme yöntemi seçilerek (Run Static Pushover) çözümleme işlemi yaptırılır. Çözümleme tanımlandıktan sonra programdan alınabilecek sonuçlar:

- Kapasite Eğrisi (Pushover Curve)
- Talep Spektrumlarının farklı sönümlerine göre belirlenmesi
- Talep ve kapasite eğrilerinin üst üste çizilmesi
- Kesitlerin adım adım durumlarının takip edilmesi.

9.4 Üç Boyutlu Model

Açıklanan sistem üzerinde mafsal özellikleri de tanımlandıktan sonra üç boyutlu model oluşturulmuştur.



Şekil 9.7 Üç boyutlu model

Talep eğrisinin tanımlanması için kabul edilen katsayılar aşağıdaki gibidir:

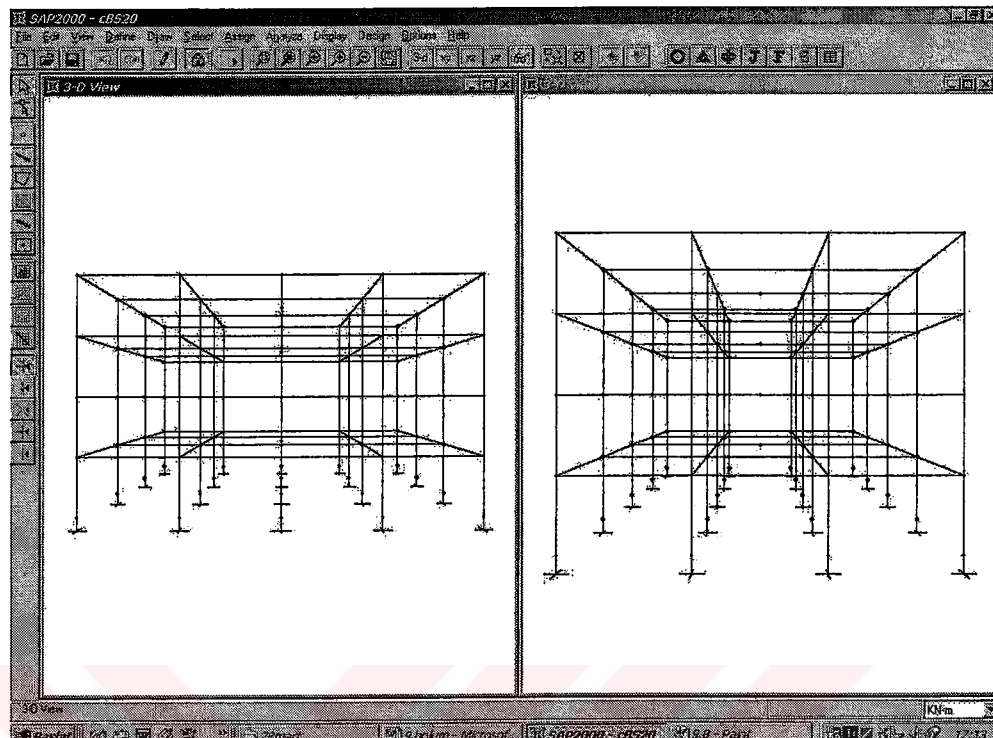
Sismik bölge katsayısı (Z):0.4

Kaynağa yakınlık katsayıları (N_A , N_V):1

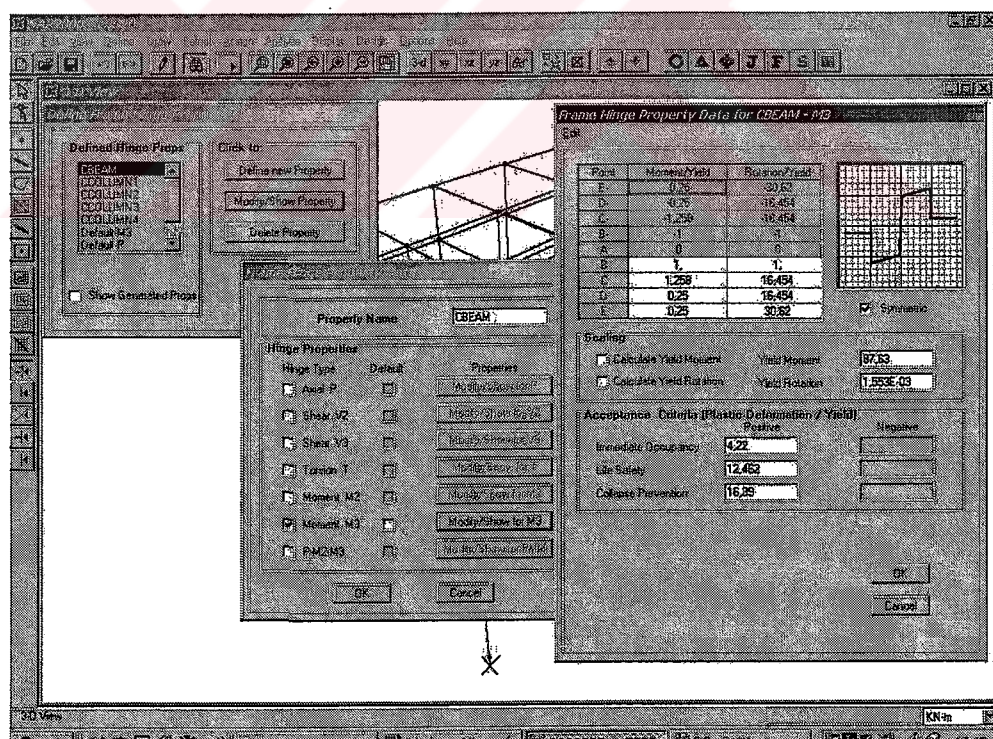
Deprem katsayısı (E):1

Zemin tipi:S_B

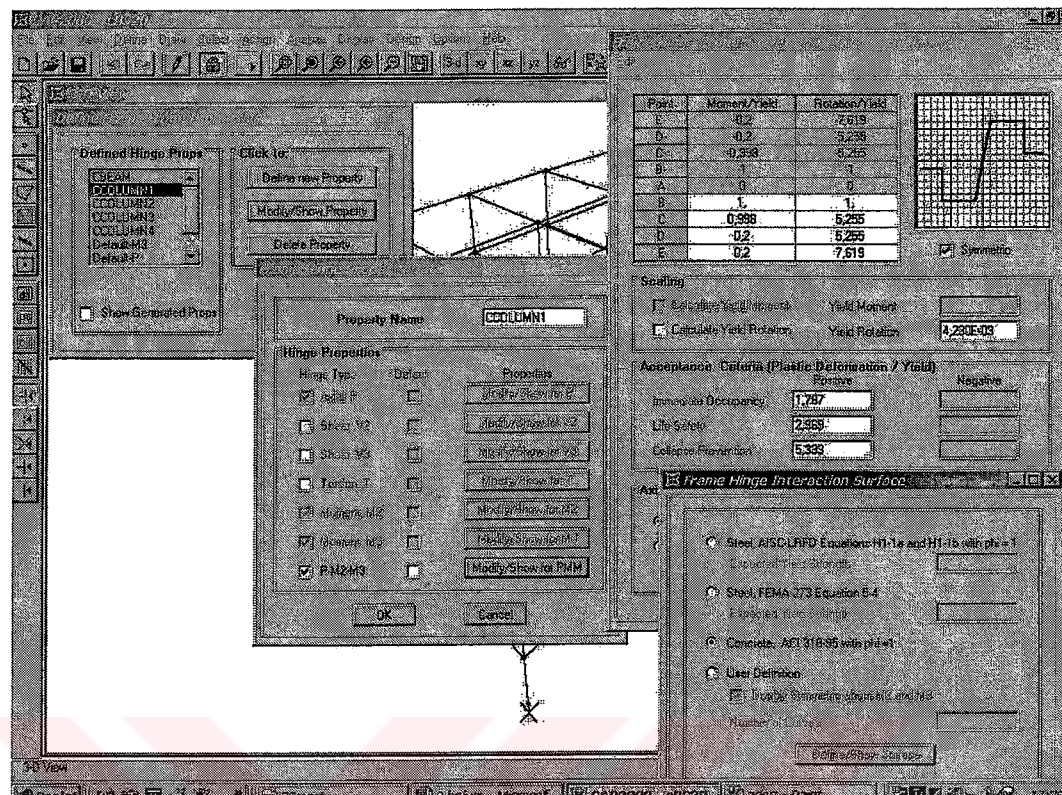
Bu kabuller altında C_A ve C_V sismik katsayıları 0.4 olarak tanımlanmalıdır.



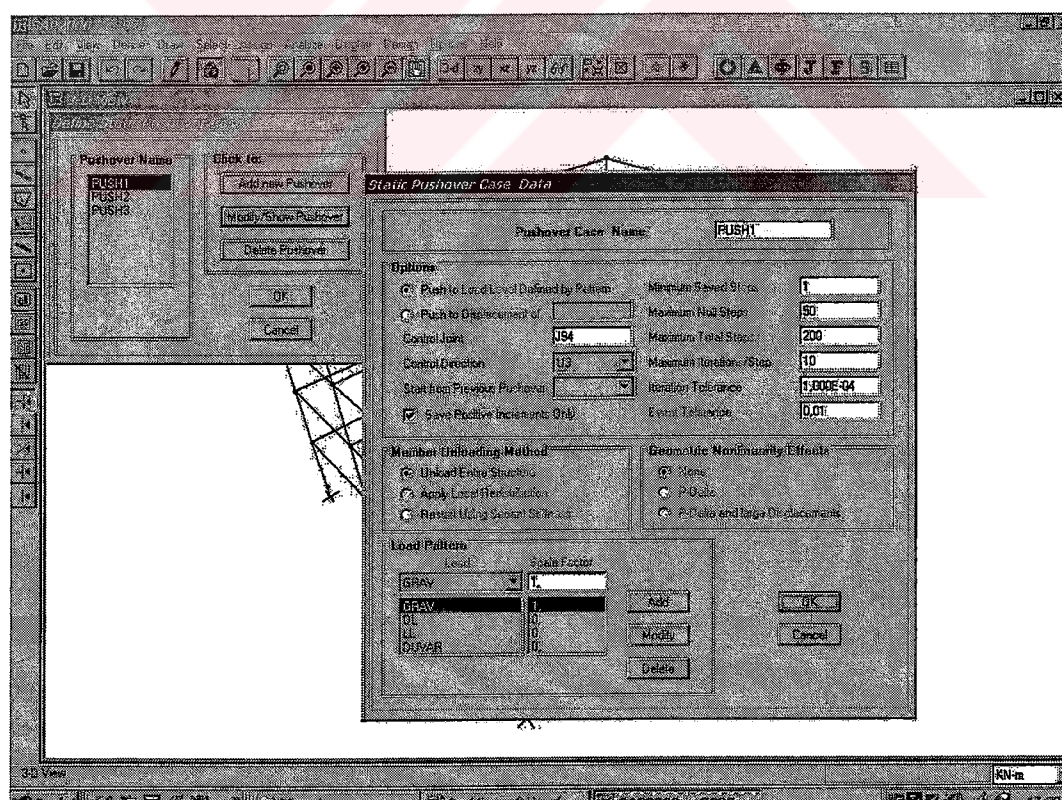
Şekil 9.8 Üç boyutlu model



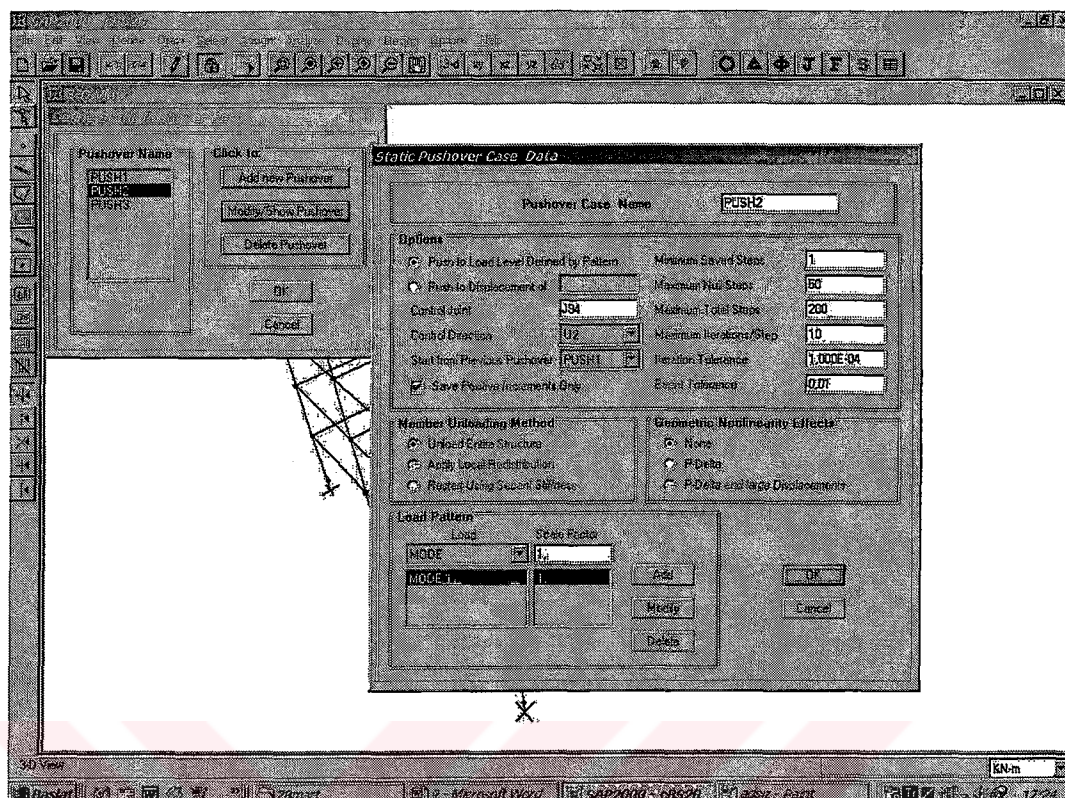
Şekil 9.9 Kirişler için M3 mafsalının tanımlanması



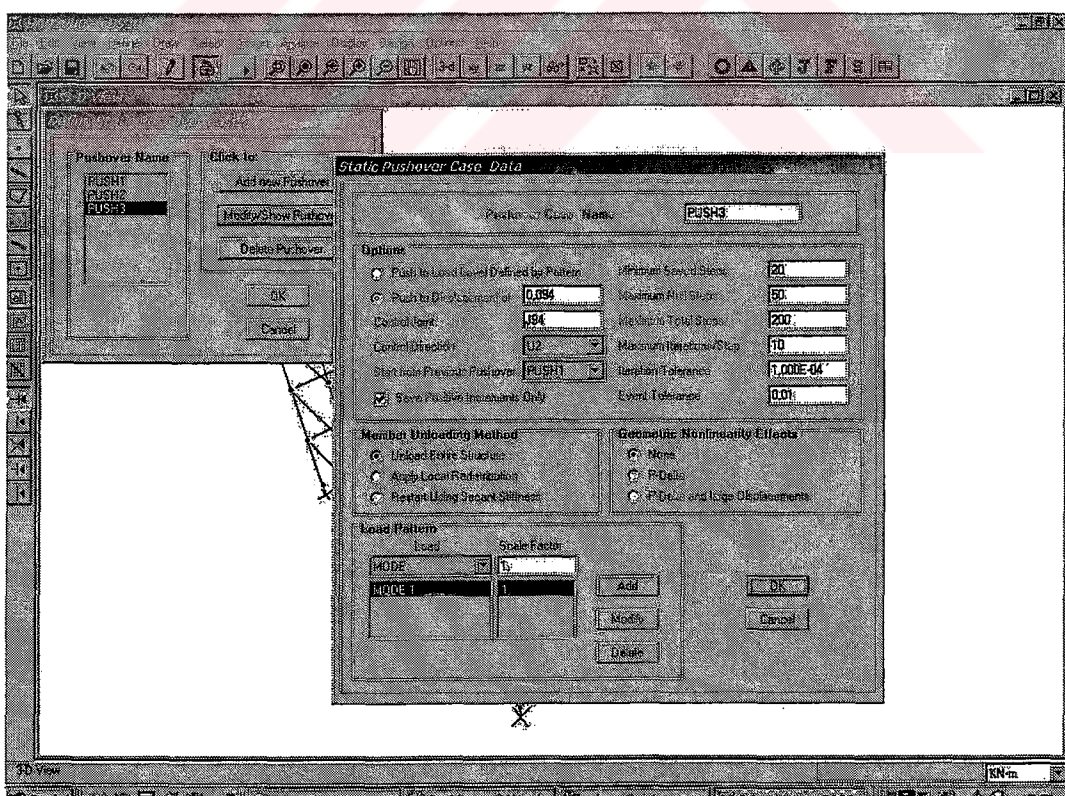
Şekil 9.10 Kolonlar için PMM mafsalının tanımlanması



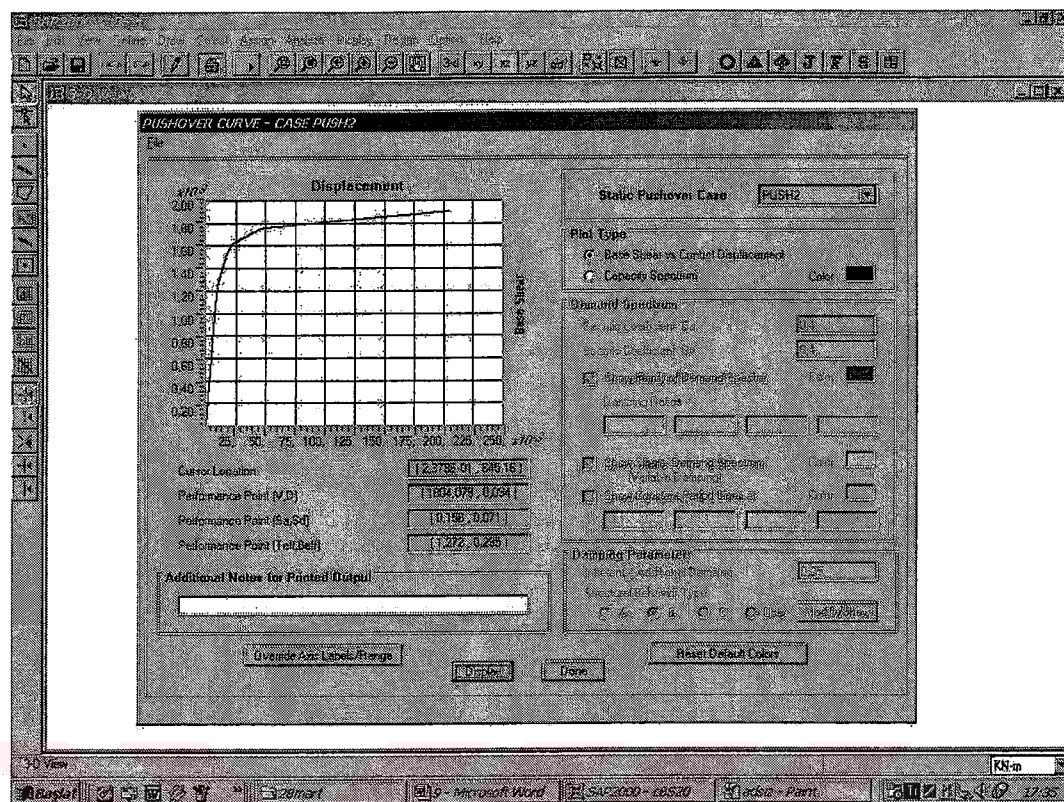
Şekil 9.11 PUSH1 yüklemesinin tanımlanması



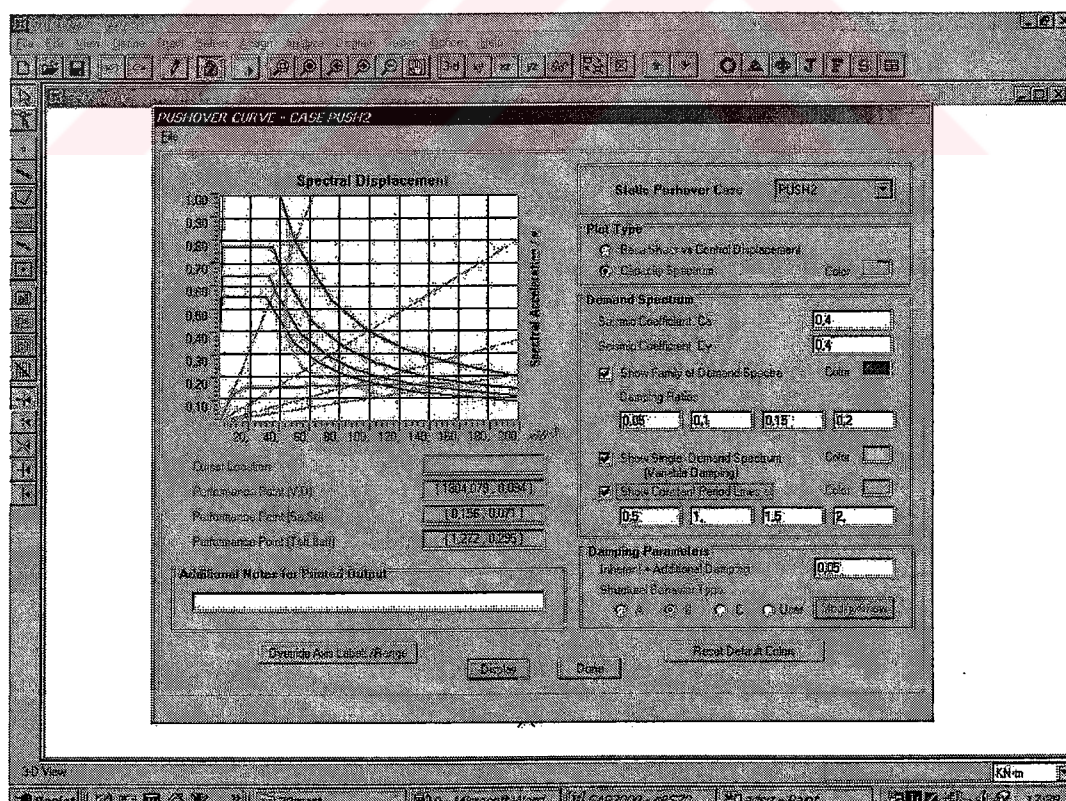
Sekil 9.12 PUSH2 yüklemesinin tanımlanması



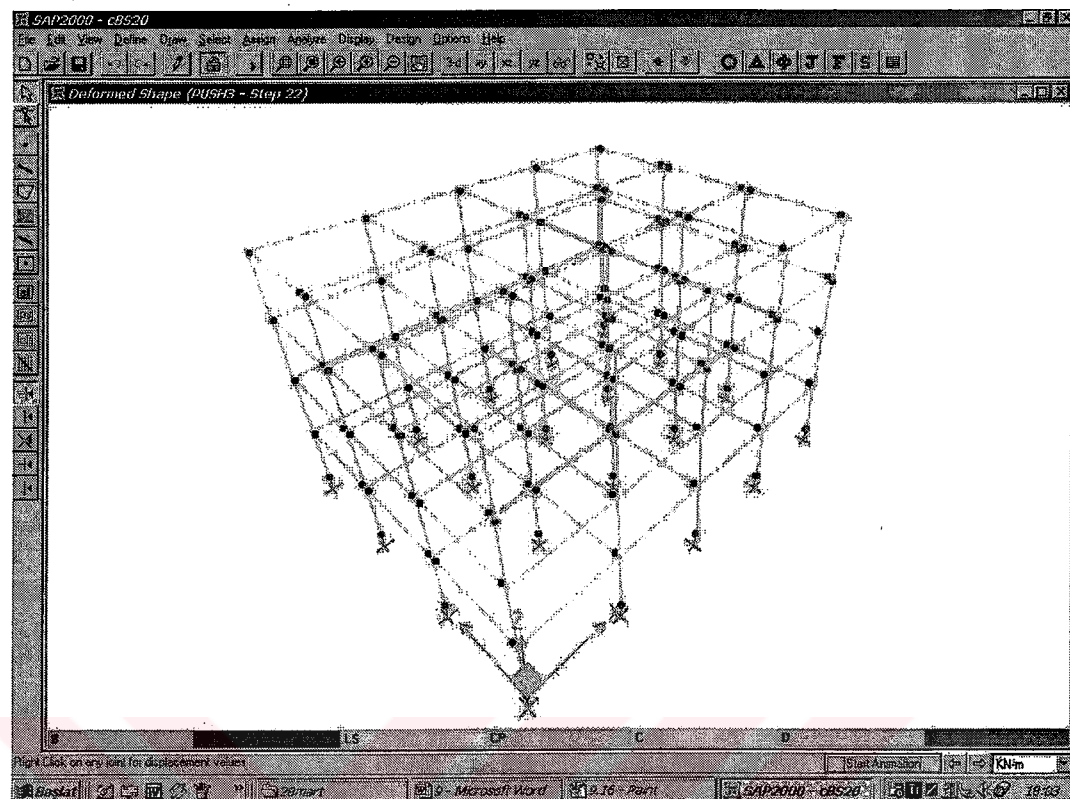
Sekil 9.13 PUSH3 yüklemesinin tanımlanması



Şekil 9.14 Kapasite eğrisi



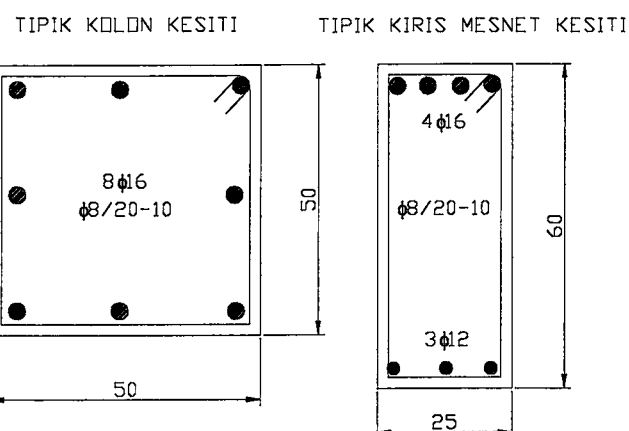
Şekil 9.15 Performans noktası



Şekil 9.16 Performans noktası mafsal durumları

9.5 Uygulama 1

Birinci örnekte daha önce açıklanan sistem üzerinde sargılı ve sargsız durumu incelenecektir. Bu uygulama için malzeme kaliteleri C20/S420 olarak seçilmiştir. Birinci modelde sargı aralığı 100mm (cBS20), ikinci modelde sargı aralığı 200mm (ucBS20) olarak alınmıştır. Bu sargı durumlarına göre kesitlerin moment-dönme bağıntıları tanımlanmış ve çözümleme yapılmıştır.



Şekil 9.17 Kolon ve kiriş kesitleri, etriye durumları

Bu uygulamada aynı sistem ve kesitler üzerinde sargı etkisi incelenmiştir. Sargılı ve sargasız durum için yapılan çözümleme sonuçları Tablo 9.4 ve Tablo 9.5'te verilmiştir.

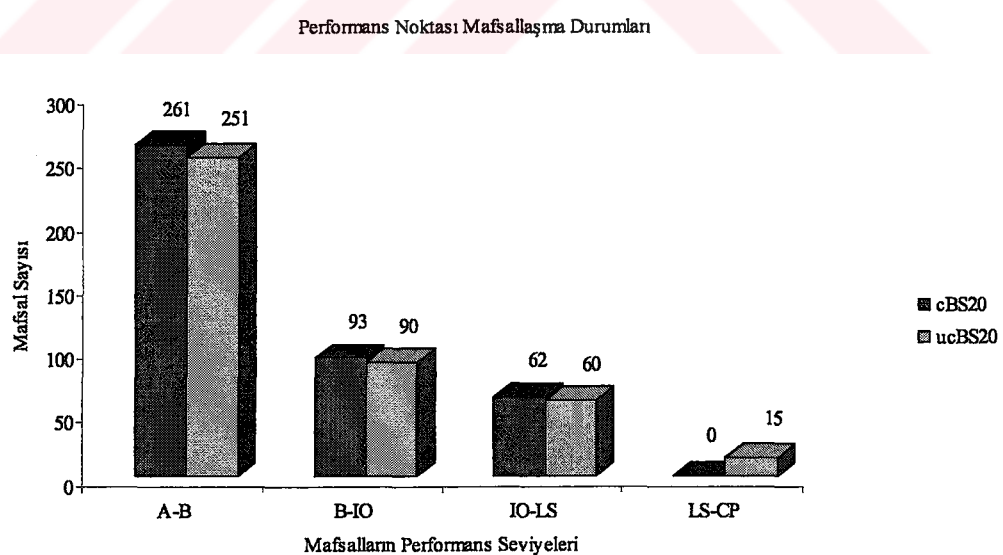
Tablo 9.4 "cBS20" modeli çözümleme sonuçları

Adım	Yerdeğiştirme (m)	Kesme Kuvveti (kN)	Mafsal sayısı								Toplam
			A-B	B-IO	IO-LS	LS-CP	CP-C	C-D	D-E	>E	
0	0,000	0,00	416	0	0	0	0	0	0	0	416
1	0,005	673,78	416	0	0	0	0	0	0	0	416
2	0,007	980,67	411	5	0	0	0	0	0	0	416
3	0,010	1241,36	366	50	0	0	0	0	0	0	416
4	0,015	1469,76	336	80	0	0	0	0	0	0	416
5	0,019	1576,52	311	105	0	0	0	0	0	0	416
6	0,022	1615,26	306	110	0	0	0	0	0	0	416
7	0,027	1643,74	306	110	0	0	0	0	0	0	416
8	0,031	1672,22	306	110	0	0	0	0	0	0	416
9	0,036	1701,39	301	115	0	0	0	0	0	0	416
10	0,042	1734,58	286	130	0	0	0	0	0	0	416
11	0,047	1752,65	282	134	0	0	0	0	0	0	416
12	0,049	1760,69	269	147	0	0	0	0	0	0	416
13	0,050	1761,75	266	150	0	0	0	0	0	0	416
14	0,055	1766,70	266	150	0	0	0	0	0	0	416
15	0,059	1771,65	266	150	0	0	0	0	0	0	416
16	0,064	1776,60	266	150	0	0	0	0	0	0	416
17	0,069	1781,54	266	150	0	0	0	0	0	0	416
18	0,073	1786,49	266	132	18	0	0	0	0	0	416
19	0,078	1791,44	266	115	35	0	0	0	0	0	416
20	0,083	1796,39	264	92	60	0	0	0	0	0	416
21	0,087	1801,32	264	92	60	0	0	0	0	0	416
22	0,092	1806,25	261	95	60	0	0	0	0	0	416
23	0,094	1808,27	261	93	62	0	0	0	0	0	416

Tablo 9.5 “ucBS20” modeli çözümleme sonuçları

Adım	Yerdeğiştirme (m)	Kesme Kuvveti (kN)	Mafsal Sayısı								Toplam
			A-B	B-IO	IO-LS	LS-CP	CP-C	C-D	D-E	>E	
0	0,000	0,00	416	0	0	0	0	0	0	0	416
1	0,005	716,79	416	0	0	0	0	0	0	0	416
2	0,007	981,04	411	5	0	0	0	0	0	0	416
3	0,010	1242,32	366	50	0	0	0	0	0	0	416
4	0,015	1472,64	336	80	0	0	0	0	0	0	416
5	0,019	1580,40	311	105	0	0	0	0	0	0	416
6	0,022	1621,13	306	110	0	0	0	0	0	0	416
7	0,027	1656,23	306	110	0	0	0	0	0	0	416
8	0,032	1691,32	306	110	0	0	0	0	0	0	416
9	0,040	1746,21	291	125	0	0	0	0	0	0	416
10	0,047	1779,93	282	134	0	0	0	0	0	0	416
11	0,049	1789,30	266	150	0	0	0	0	0	0	416
12	0,054	1798,34	266	150	0	0	0	0	0	0	416
13	0,059	1807,37	266	150	0	0	0	0	0	0	416
14	0,064	1816,41	266	150	0	0	0	0	0	0	416
15	0,069	1825,44	266	150	0	0	0	0	0	0	416
16	0,074	1834,48	266	130	20	0	0	0	0	0	416
17	0,079	1843,52	264	107	45	0	0	0	0	0	416
18	0,084	1852,53	261	95	60	0	0	0	0	0	416
19	0,089	1861,48	257	99	60	0	0	0	0	0	416
20	0,094	1870,34	257	99	60	0	0	0	0	0	416
21	0,099	1879,19	251	90	60	15	0	0	0	0	416
22	0,100	1880,68	251	90	60	15	0	0	0	0	416

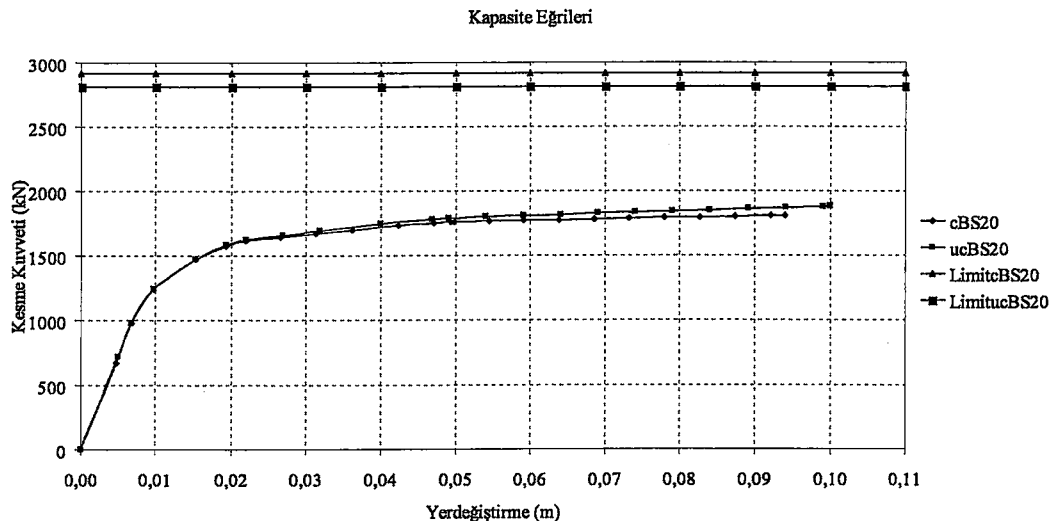
Tablo 9.4 ve Tablo 9.5’te her adımda oluşan yerdeğiştirmeler, kesme kuvvetleri, oluşan mafsal sayısı ve bu mafsalların performans seviyeleri verilmektedir. Her iki model için performans noktası toplam mafsallaşma durumları Şekil 9.18’de verilmiştir.



Şekil 9.18 Her iki modelin performans noktası mafsal durumları

Şekil 9.19 her iki durum için kapasite eğrileri ve kesme kuvveti kapasiteleri verilmiştir. Kesme kuvveti kapasiteleri hesaplanırken, zemin kat kolonlarının her iki

ucundan mafsallaşlığı varsayılmıştır. Bu durum sistemin ulaşabileceği sınır durumdur ve buradan sistemin karşı koyabileceği toplam taban kesme kuvveti kolon kapasitelerinden hesaplanmıştır.



Şekil 9.19 Kapasite eğrilerinin üst üste çizilmesi

Sargılı ve sargsız durumların karşılaştırılması yukarıdaki şekillerde verilmiştir. Sargılı ve sargsız durum için XTRACT programından elde edilen ve sargı durumuna göre değerlendirilen beton basınç dayanımları ile ATC40 bölüm 11'de verilen sınır durum değerleri farklılık göstermektedir. Bu farklılıklar kapasite eğrilerinde büyük değişikler oluşturmama da sınır durum mafsallaşma durumlarında birtakım farklar bulunmaktadır. Sargsız model performans noktasında 15 adet mafsal LS-CP performans aralığındadır. Sargılı modelde ise tüm mafslar LS performans sınırının altındadır. Ayrıca bulunan performans noktası yatay kuvvet değerleri, sistemlerde kolonların mafsallaşlığı kabul edilerek hesaplanan kapasite kesme kuvvetlerinden büyüktür. Sargılı ve sargsız durum arasında yatay kuvvetteki artış, daha büyük oranda yerdeğştirme değeri ile sağlanmaktadır.

9.6 Uygulama 2

İkinci örnekte açıklanan sistem üzerinde beton kalitesi değiştirilmiştir. Bu uygulama için yatay ve düşey donatı kalitesi S420 olarak seçilmiştir. Tüm modellerde sargı donatısı aralığı 100mm olarak alınmıştır. Beton kaliteleri, iyi bir beton C25 ile sık rastlanan C18 (B225) ve C14 (B160) olarak belirlenmiştir. Seçilen bu beton kalitelerine uygun olarak bütün kesitlerin ayrı ayrı moment-dönme bağıntıları tekrar belirlenmiş ve üç ayrı sistem modeli oluşturulmuştur.

Tablo 9.6 “cBS25” modeli çözümleme sonuçları

Adım	Yerdeğiştirme (m)	Kesme Kuvveti (kN)	Mafsal Sayısı								Toplam
			A-B	B-IO	IO-LS	LS-CP	CP-C	C-D	D-E	>E	
0	0	0,00	416	0	0	0	0	0	0	0	416
1	0,0058	898,55	416	0	0	0	0	0	0	0	416
2	0,0064	985,40	411	5	0	0	0	0	0	0	416
3	0,0091	1246,59	366	50	0	0	0	0	0	0	416
4	0,0158	1526,47	334	82	0	0	0	0	0	0	416
5	0,0204	1624,85	309	107	0	0	0	0	0	0	416
6	0,0209	1631,83	306	110	0	0	0	0	0	0	416
7	0,0267	1677,88	306	110	0	0	0	0	0	0	416
8	0,0369	1755,50	291	125	0	0	0	0	0	0	416
9	0,0444	1796,47	277	139	0	0	0	0	0	0	416
10	0,0448	1798,20	272	144	0	0	0	0	0	0	416
11	0,0507	1809,14	272	144	0	0	0	0	0	0	416
12	0,0565	1820,07	266	150	0	0	0	0	0	0	416
13	0,0624	1830,99	266	150	0	0	0	0	0	0	416
14	0,0682	1841,91	266	150	0	0	0	0	0	0	416
15	0,0741	1852,83	266	135	15	0	0	0	0	0	416
16	0,0799	1863,75	266	100	50	0	0	0	0	0	416
17	0,0858	1874,67	266	90	60	0	0	0	0	0	416
18	0,0916	1885,59	266	90	60	0	0	0	0	0	416
19	0,0975	1896,51	264	92	60	0	0	0	0	0	416
20	0,1033	1907,42	260	71	85	0	0	0	0	0	416
21	0,1092	1918,24	257	64	95	0	0	0	0	0	416
22	0,115	1929,04	251	55	110	0	0	0	0	0	416
23	0,117	1932,47	251	55	110	0	0	0	0	0	416

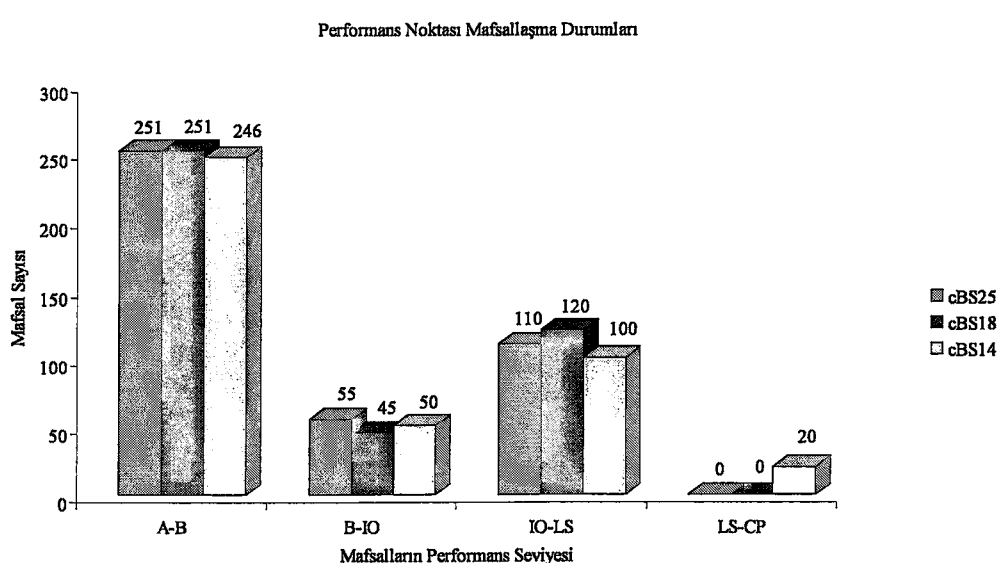
Tablo 9.7 “cBS18” modeli çözümleme sonuçları

Adım	Yerdeğiştirme (m)	Kesme Kuvveti (kN)	Mafsal Sayısı								Toplam
			A-B	B-IO	IO-LS	LS-CP	CP-C	C-D	D-E	>E	
0	0,000	0,00	416	0	0	0	0	0	0	0	416
1	0,007	929,27	416	0	0	0	0	0	0	0	416
2	0,007	975,09	411	5	0	0	0	0	0	0	416
3	0,010	1235,22	366	50	0	0	0	0	0	0	416
4	0,017	1506,19	334	82	0	0	0	0	0	0	416
5	0,020	1570,10	311	105	0	0	0	0	0	0	416
6	0,022	1606,03	306	110	0	0	0	0	0	0	416
7	0,029	1645,67	306	110	0	0	0	0	0	0	416
8	0,035	1685,30	306	110	0	0	0	0	0	0	416
9	0,043	1726,74	286	130	0	0	0	0	0	0	416
10	0,050	1754,30	266	150	0	0	0	0	0	0	416
11	0,057	1761,61	266	150	0	0	0	0	0	0	416
12	0,064	1768,93	266	150	0	0	0	0	0	0	416
13	0,070	1776,24	266	145	5	0	0	0	0	0	416
14	0,077	1783,56	266	120	30	0	0	0	0	0	416
15	0,083	1790,87	264	92	60	0	0	0	0	0	416
16	0,090	1798,16	264	92	60	0	0	0	0	0	416
17	0,097	1805,45	261	75	80	0	0	0	0	0	416
18	0,103	1812,67	259	72	85	0	0	0	0	0	416
19	0,110	1819,85	257	54	105	0	0	0	0	0	416
20	0,116	1826,97	252	54	110	0	0	0	0	0	416
21	0,123	1833,75	251	55	110	0	0	0	0	0	416
22	0,130	1840,38	251	55	110	0	0	0	0	0	416
23	0,132	1842,88	251	45	120	0	0	0	0	0	416

Tablo 9.8 "cBS14" modeli çözümleme sonuçları

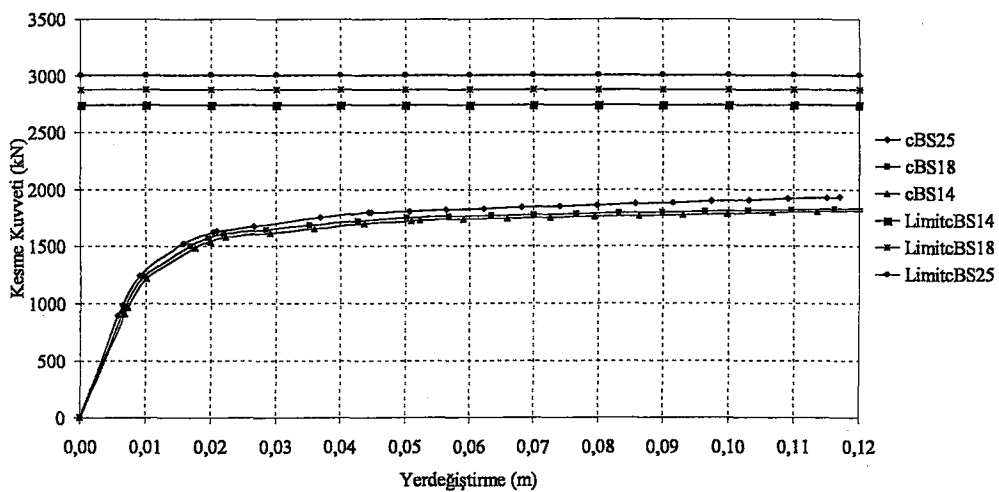
Adım	Yerdeğiştirme (m)	Kesme Kuvveti (kN)	Mafsal Sayısı								Toplam
			A-B	B-IO	IO-LS	LS-CP	CP-C	C-D	D-E	>E	
0	0,000	0,00	416	0	0	0	0	0	0	0	416
1	0,007	910,43	416	0	0	0	0	0	0	0	416
2	0,007	962,35	411	5	0	0	0	0	0	0	416
3	0,010	1221,18	366	50	0	0	0	0	0	0	416
4	0,018	1490,74	334	82	0	0	0	0	0	0	416
5	0,020	1541,78	311	105	0	0	0	0	0	0	416
6	0,022	1577,11	306	110	0	0	0	0	0	0	416
7	0,029	1616,60	306	110	0	0	0	0	0	0	416
8	0,036	1656,08	306	110	0	0	0	0	0	0	416
9	0,044	1698,90	291	125	0	0	0	0	0	0	416
10	0,051	1727,10	282	134	0	0	0	0	0	0	416
11	0,052	1731,79	266	150	0	0	0	0	0	0	416
12	0,059	1739,80	266	150	0	0	0	0	0	0	416
13	0,066	1747,80	266	150	0	0	0	0	0	0	416
14	0,073	1755,81	266	135	15	0	0	0	0	0	416
15	0,080	1763,82	266	90	60	0	0	0	0	0	416
16	0,086	1771,82	264	72	80	0	0	0	0	0	416
17	0,093	1779,80	261	75	80	0	0	0	0	0	416
18	0,100	1787,69	261	75	80	0	0	0	0	0	416
19	0,107	1795,59	257	74	85	0	0	0	0	0	416
20	0,114	1803,37	255	51	110	0	0	0	0	0	416
21	0,120	1811,05	251	55	110	0	0	0	0	0	416
22	0,127	1818,29	251	55	110	0	0	0	0	0	416
23	0,134	1825,53	249	52	95	20	0	0	0	0	416
24	0,136	1827,71	246	50	100	20	0	0	0	0	416

Tablo 9.6, Tablo 9.7 ve Tablo 9.8'de her adımda oluşan yerdeğiştirmeler, kesme kuvvetleri, oluşan mafsal sayısı ve bu mafsalların performans seviyeleri verilmektedir. Her üç model için performans noktası toplam mafsallaşma durumları Şekil 9.20'de verilmiştir.



Şekil 9.20 Tüm modeller performans noktası mafsal durumları

Kapasite Eğrileri



Şekil 9.21 Kapasite eğrilerinin üst üste çizilmesi

Tanımlanan üç durumun karşılaştırılması yukarıdaki şekillerde verilmiştir. Performans eğrileri değerlendirilirse, beton kalitesi arttıkça sistemin aynı yerdeğiştirme değeri altında daha fazla yatay kuvvet talep ettiği görülmektedir. Sistemlerde beton kaliteleri ve buna bağlı olarak elastisite modülleri değişmektedir. Beton kalitesi arttıkça sistemin aynı yerdeğiştirme altında talep ettiği yatay kuvvet değeri de artmaktadır. Ayrıca performans noktalarında mafsalların performans seviyeleri de beton kalitesi arttıkça performans seviyelerinin de iyileştiğini göstermektedir. Beton kalitesi C14 olarak seçilen modelin performans noktasında 20 adet mafsal LS-CP performans aralığındadır. Tüm modeller için bulunan performans kesme kuvvetleri, hesaplanan kapasite değerlerinin altındadır.

9.6 Uygulama 3

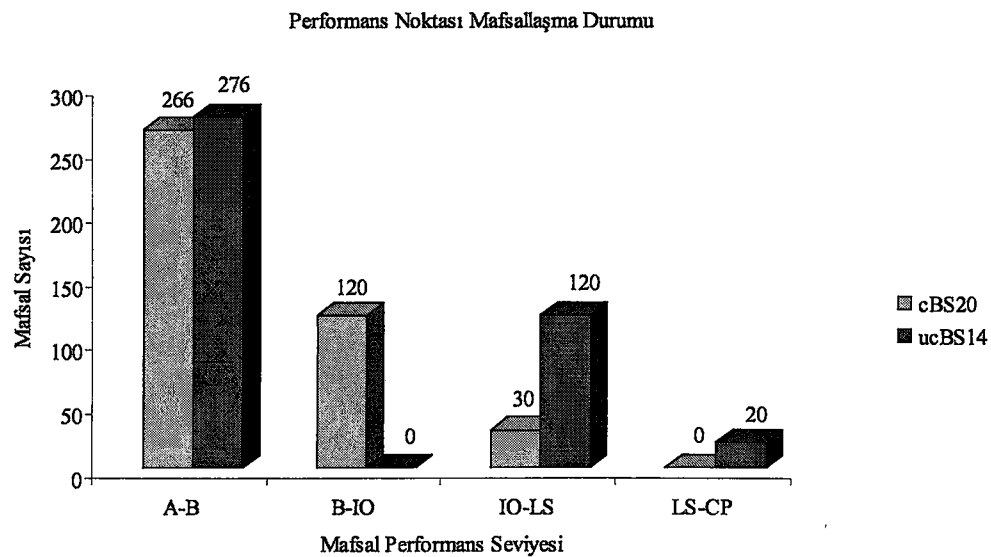
Üçüncü örnekte açıklanan sistem üzerinde farklı malzeme ve sargı durumları incelenecaktır. Bu uygulama için malzeme kaliteleri C20 ve S420 olan sargılı model ile malzeme kaliteleri C14 ve S220 olan sargısız model karşılaşılacaktır. Birinci modelin günümüz şartnamelerine yakın bir binayı, ikinci model ise daha eski bir binayı temsil ettiği düşünülmüştür. Seçilen bu malzeme kalitelerine uygun olarak bütün kesitlerin ayrı ayrı moment-dönme bağıntıları tekrar belirlenmiş ve iki ayrı sistem modeli oluşturulmuştur.

Tablo 9.9 “cBS20StIII” çözümleme sonuçları

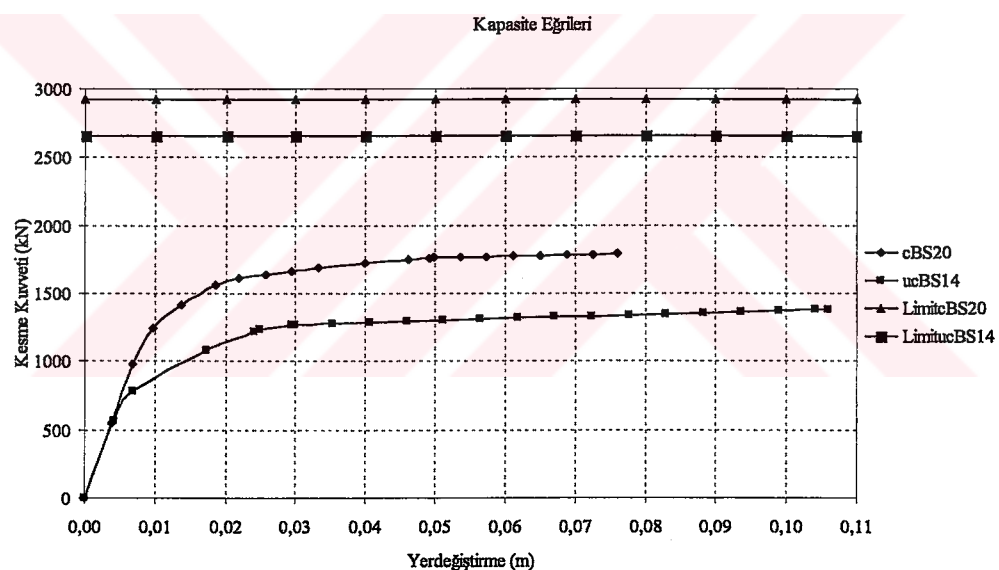
Adım	Yerdeğiştirme (m)	Kesme Kuvveti (kN)	Mafsal Sayısı								Toplam
			A-B	B-IO	IO-LS	LS-CP	CP-C	C-D	D-E	>E	
0	0,000	0,00	416	0	0	0	0	0	0	0	416
1	0,004	544,76	416	0	0	0	0	0	0	0	416
2	0,007	980,67	411	5	0	0	0	0	0	0	416
3	0,010	1241,36	366	50	0	0	0	0	0	0	416
4	0,014	1415,89	341	75	0	0	0	0	0	0	416
5	0,019	1559,40	317	99	0	0	0	0	0	0	416
6	0,022	1615,26	306	110	0	0	0	0	0	0	416
7	0,026	1638,28	306	110	0	0	0	0	0	0	416
8	0,030	1661,31	306	110	0	0	0	0	0	0	416
9	0,033	1684,34	306	110	0	0	0	0	0	0	416
10	0,040	1722,74	301	115	0	0	0	0	0	0	416
11	0,046	1749,19	282	134	0	0	0	0	0	0	416
12	0,049	1760,58	269	147	0	0	0	0	0	0	416
13	0,050	1761,72	266	150	0	0	0	0	0	0	416
14	0,054	1765,72	266	150	0	0	0	0	0	0	416
15	0,057	1769,72	266	150	0	0	0	0	0	0	416
16	0,061	1773,72	266	150	0	0	0	0	0	0	416
17	0,065	1777,72	266	150	0	0	0	0	0	0	416
18	0,069	1781,72	266	148	2	0	0	0	0	0	416
19	0,073	1785,72	266	135	15	0	0	0	0	0	416
20	0,076	1789,31	266	120	30	0	0	0	0	0	416

Tablo 9.10 “ucBS14StI” modeli çözümleme sonuçları

Adım	Yerdeğiştirme (m)	Kesme Kuvveti (kN)	Mafsal Sayısı								Toplam
			A-B	B-IO	IO-LS	LS-CP	CP-C	C-D	D-E	>E	
0	0,000	0,00	416	0	0	0	0	0	0	0	416
1	0,004	565,04	411	5	0	0	0	0	0	0	416
2	0,007	777,68	366	50	0	0	0	0	0	0	416
3	0,017	1079,37	326	90	0	0	0	0	0	0	416
4	0,024	1220,00	304	112	0	0	0	0	0	0	416
5	0,025	1232,87	294	122	0	0	0	0	0	0	416
6	0,029	1269,60	279	137	0	0	0	0	0	0	416
7	0,030	1272,71	276	140	0	0	0	0	0	0	416
8	0,035	1280,12	276	140	0	0	0	0	0	0	416
9	0,041	1287,52	276	140	0	0	0	0	0	0	416
10	0,046	1294,93	276	140	0	0	0	0	0	0	416
11	0,051	1302,34	276	140	0	0	0	0	0	0	416
12	0,057	1309,75	276	140	0	0	0	0	0	0	416
13	0,062	1317,16	276	140	0	0	0	0	0	0	416
14	0,067	1324,56	276	135	5	0	0	0	0	0	416
15	0,072	1331,97	276	95	45	0	0	0	0	0	416
16	0,078	1339,38	276	80	60	0	0	0	0	0	416
17	0,083	1346,79	276	65	75	0	0	0	0	0	416
18	0,088	1354,20	276	50	90	0	0	0	0	0	416
19	0,094	1361,60	276	41	90	9	0	0	0	0	416
20	0,099	1369,01	276	20	100	20	0	0	0	0	416
21	0,104	1376,42	276	0	120	20	0	0	0	0	416
22	0,106	1378,95	276	0	120	20	0	0	0	0	416



Şekil 9.22 Performans noktası mafsallaşma durumları



Şekil 9.23 Kapasite eğrilerinin üst üste çizilmesi

Tanımlanan iki durumun karşılaştırılması Şekil 9.22 ve Şekil 9.23'te verilmiştir. Sargı durumu ve malzeme kalitesi arttıkça performansın da arttığı açıkça görülmektedir. Sargılı durumda sistem aynı yerdeğiştirme altında daha fazla yatay kuvvette karşı koyabilmekte ya da aynı kesme kuvvette daha küçük yerdeğiştirme değerlerinde ulaşabilmektedir. Sistemlerin performans noktalarındaki mafsallaşma durumları ise iki sistem arasındaki farkı daha net ortaya koymaktadır. Sargı donatısı ve malzeme kalitesi yetersiz sistemde performans noktasında 20 adet kesit LS-CP

performans aralığındadır. Diğer sistemde bütün kesitler LS performans seviyesini sağlamaktadır.



10 SONUÇLAR

Yapı sistemlerinin doğrusal olmayan ve yerdeğiştirme kontrollü çözümleme yöntemleri gün geçtikçe yaygınlaşmaktadır. Sistemin, elemanların ve malzemenin doğrusal olmayan kapasitesinden daha iyi yararlanabilmek; sistemi ve elemanları yerdeğiştirme ve şekil değiştirme değerlerine göre kontrol edebilmek, doğrusal olmayan çözümleme yöntemlerini cazip hale getirmektedir.

Doğrusal olmayan çözümleme yöntemleri sistem ve elemanların değişik yatay yük seviyelerindeki durumlarını vermektedir. Ayrıca kapasiteyi daha etkin kullanabilmek ve göçmeye karşı sabit güvenlik elde edebilmek için doğrusal olamayan çözümleme yöntemleri daha kullanışlı ve uygundur. Doğrusal olmayan çözümleme yöntemleri ile sistemdeki hasar sıraya konabilir ve göçme şekli belirlenebilir. Doğrusal olmayan çözümleme yöntemlerinin kullanılması sayesinde yapı sisteminin davranışları hakkında gerçeğe daha yakın bilgi sahibi olunabilecektir. Bunların yanında yapı sisteminin ve elemanların hangi adımda ne durumda oldukları da daha detaylı şekilde incelenebilir. Bu sayede daha ekonomik çözümler üretilebilir.

Performans Metodu da doğrusal olmayan nümerik çözümleme yöntemlerinden biridir. Temelde yapının kapasitesi ile talep edilen etkinin buluşturulması sonucu yapının performans noktasının bulunmasını amaçlar. Kapasite ve talep eğrilerinin kesişmesiyle, yapının seçilen etki altındaki performans seviyesi ve elemanların durumları belirlenebilir. Eğer kapasite eğrisi talep eğrisinin altında ise yapı yetersiz durumdadır.

Bölüm 9'da açıklanan uygulamalarda tipik bir yapının, farklı durumlarda, performans metodu ile ATC40'a göre incelenmesine yer verilmiştir. 1. uygulamada yapı sistemi üzerinde sargı etkisi araştırılmıştır. Sargı etkili kesitlerin bulunduğu model tasarım depremi altında Can Güvenliği (LS) performans seviyesini sağlamken, sargı etkisi daha az olan kesitlerin bulunduğu modelde bazı kesitler Can Güvenliği performans seviyesi aşmaktadır.

2. uygulamada üç farklı modelde beton kalitesi üzerinde durulmuştur. Beton kalitesinin iyi olarak seçildiği 1. modelde bütün kesitler Can Güvenliği performans

seviyesini sağlamaktadır. Beton kalitesinin normal olarak seçildiği 2. modelde kesitler yine Can Güvenliği performans seviyesini sağlamaktadır ancak elastik sınırı aşan kesit sayısı 1. modelden daha fazladır. Beton kalitesi zayıf olarak seçilen 3. modelde mafsallaşan toplam kesit sayısı daha fazladır ve bu kesitlerin bazıları Can Güvenliği performans seviyesini aşmaktadır. Kapasite eğrilerinin karşılaştırılması sonucu, aynı yerdeğiştirme değerinde beton kalitesi arttıkça daha fazla yatay kuvvet talep edilmektedir.

3. uygulamada iki farklı modelde yeni yönetmeliklerin öngördüğü yapı özellikleri ile mevcut yapıların büyük kısmını temsil edebilecek zayıf yapı özellikleri karşılaştırılmıştır. Yeni yönetmeliklere göre oluşturulan modelin tasarım deprem etkisi altında kesitleri Can Güvenliği performans seviyesini sağlamaktadır. Ancak zayıf yapı özelliklerinin bulunduğu modelin kesitlerinin büyük kısmı Can Güvenliği performans seviyesini sağlarken, kesitlerinin bir kısmı da Can Güvenliği performans seviyesini aşmaktadır. Malzeme ve sargı durumu daha iyi olan modelin kapasite eğrisi diğer modelin kapasite eğrisi ile karşılaştırıldığında, malzeme ve sargı durumu iyi olan model daha fazla yatay kuvvet taşıdığı görülmektedir.

İncelenen tüm modellerde performans noktasında bulunan yatay kuvvet değerleri, en büyük kapasite değerlerinin altındadır. Ayrıca sargı donatısı sıklaştırıkça ve beton kalitesi arttıkça sistemden talep edilen yatay kuvvet değeri artmaktadır.

Uygulama sonuçlarından da anlaşılacağı gibi yapı sisteminin hangi yatay kuvvet değerinde hangi performans seviyesinde olduğu ve sistemin bütün olarak hangi performans seviyesini sağladığı hakkında detaylı bilgi sahibi olunabilmektedir. Doğrusal olmayan çözümleme yöntemlerinin bu özelliği mevcut yapıların değerlendirilmesinde kullanılabileceği gibi tasarımlı yapılan yeni yapıların da daha ekonomik boyutlandırılmasında yardımcı olmaktadır. Performans metodu sayesinde kesit ve sistem kapasiteleri doğru kullanılarak ekonomik ve güvenli yapı sistemleri oluşturulabilir.

KAYNAKLAR

- [1] ATC-40, 1996. Seismic Evaluation and Retrofit of Concrete Buildings, *Applied Technology Council*, California.
- [2] Celep, Z. ve Kumbasar, N., 2000. Deprem Mühendisliğine Giriş ve Depreme Dayanıklı Yapı Tasarımı, Beta Dağıtım, İstanbul.
- [3] Celep, Z. ve Kumbasar, N., 2001. Yapı Dinamiği, Rehber Matbaacılık, İstanbul.
- [4] Celep, Z. ve Kumbasar, N., 1998. Betonarme Yapılar, Sema Matbaacılık, İstanbul.
- [5] Iancovici., M., Fukuyama, H., Kusunoki, K., 2002. The Assessment of the Reinforced Concrete Building Structures based on the Seismic Performance Concept, *Fifth International Congress on Advances in Civil Engineering*, İTÜ, İstanbul, 25-27 Eylül, s.555-564.
- [6] Bayülke, N., 2001. Depremde Hasar Gören Yapıların Onarım ve Güçlendirmesi, İnşaat Mühendisleri Odası İzmir Şubesi, İzmir.
- [8] Celep, Z., 2002. Deprem Etkisindeki Binaların Değerlendirilmesi ve Güçlendirilmesinde Performans Kavramı, Mustafa İnan Tatbiki Mekanik Seminerleri, İTÜ, İstanbul, 12 Mart.
- [9] ABYYHY, 1998. Afet Bölgelerinde Yapılacak Yapılar Hakkında Yönetmelik, *Bayındırlık ve İskan Bakanlığı*, Ankara.
- [10] FEMA 356/357, 2000. Prestandart and Commentary for the Seismic Rehabilitation of Buildings, *Federal Emergency Management Agency*, Washington.
- [11] SAP2000 Manuals, 2000. Structural Analysis Program CSI Company, Berkeley, California.
- [12] XTRACT 2.6 Manuals, 2001. Cross Sectional Structural Analysis of Components Imbsen Software Systems, Sacramento.
- [13] Karadoğan, F., 2002. *İleri Yapı Statiği Ders Notları*, İTÜ, İstanbul.

ÖZGEÇMİŞ

Murat Purut, 1979 Eskişehir doğumlu olup; ilk ve orta öğrenimini Eskişehir'de tamamladıktan sonra, 1997 senesinde İstanbul Teknik Üniversitesi İnşaat Fakültesi İnşaat Mühendisliği Bölümü'nde lisans öğrenimine başlamıştır. Haziran 2001'de lisans öğrenimini tamamlayarak, aynı sene İstanbul Teknik Üniversitesi Fen Bilimleri Enstitüsü Yapı Mühendisliği Programında yüksek lisans öğrenimine başlamıştır. Halen uluslararası bir mühendislik ve müşavirlik şirketinde inşaat mühendisi olarak çalışmaktadır.

